

## รายงานการวิจัย

การสังเคราะห์พอลิ(เมทิลเมทาคริเลต) ที่ต่อ กิ่งบันแป้งข้าวโพด  
โดยใช้โพแทสเซียมเปอร์ซัลฟेटเป็นสารเริ่มปฏิกิริยา

Synthesis of maize starch grafted poly(methylmethacrylate)  
using potassium persulfate as initiator



โครงการวิจัยทุนสนับสนุนงานวิจัยของมหาวิทยาลัยเทคโนโลยีราชมงคลกรุงเทพ  
งบประมาณรายได้ปี พ.ศ. 2550  
มหาวิทยาลัยเทคโนโลยีราชมงคลกรุงเทพ

## กิตติกรรมประกาศ

ขอขอบคุณมหาวิทยาลัยเทคโนโลยีราชมงคลกรุงเทพ ที่ได้สนับสนุนทุนวิจัยงบประมาณ  
เงินรายได้ ประจำปี พ.ศ. 2550 และขอขอบคุณภาควิชากรรมเคมี คณะวิศวกรรมศาสตร์ จุฬาลงกรณ์  
มหาวิทยาลัยที่ให้ความอนุเคราะห์ในการใช้เครื่องฟูเรียร์ทرانส์ฟอร์มอินฟราเรดสเปกโตรสโคป



## บทคัดย่อ

วัตถุประสงค์ของงานวิจัยนี้ เพื่อศึกษาภาวะที่เหมาะสมในการสังเคราะห์โพลี(เมทิล เมทาคริเลต) ที่ต้องกึ่งบนแป้งข้าวโพดซึ่งเป็นพอลิเมอร์ที่แตกต่างทางชีวภาพได้ โดยใช้โพแทสเซียมเบอร์ ชัลเฟตเป็นสารริเริ่มปฏิกิริยาที่อุณหภูมิ  $50^{\circ}\text{C}$  ภายใต้บรรยากาศเก๊าส์ในโตรเจน โดยมีตัวแปรที่ศึกษา คือ ปริมาณเมทิลเมทาคริเลต (MMA) ปริมาณ โพแทสเซียมเบอร์ชัลเฟต (PPS) และเวลาในการทำปฏิกิริยา จากการศึกษาพบว่าปริมาณการต่อ กิ่งสูงสุดเท่ากับ 99.4% ที่อุณหภูมิ  $50^{\circ}\text{C}$  เมื่อใช้ MMA 50 mmol และ PPS 2 mmol และเวลาในการทำปฏิกิริยา 90 นาที ใน การวิเคราะห์ด้วย FT-IR เพื่อยืนยันผลการต่อ กิ่ง พบหมู่ ไฮดรอกซิล (-OH) ที่พิก 3390.6  $\text{cm}^{-1}$  และ 3513  $\text{cm}^{-1}$  ซึ่งเป็นหมู่ทำหน้าที่ของแป้ง และพบหมู่คาร์บอนิล ( $>\text{C=O}$ ) ที่พิกในช่วง 1950 -1600  $\text{cm}^{-1}$  ซึ่งเป็นหมู่ทำหน้าที่ของ MMA ในการวัดค่าความหนืดและคำนวน น้ำหนักโมเลกุลซึ่งเป็นสมบัติทางกายภาพของพอลิเมอร์รวมที่สังเคราะห์ได้ พบว่าความหนืดและน้ำหนัก โมเลกุลเฉลี่ยเพิ่มขึ้นเมื่อการต่อ กิ่งเพิ่มขึ้น



## ABSTRACT

The objective of this research was to study the optimum condition to synthesize maize starch grafted poly(methylmethacrylate) which is biodegradable polymer using potassium persulfate (PPS) as an initiator at the reaction temperature of 50°C under nitrogen gas atmosphere. The variables of study were amounts of methylmethacrylate (MMA) and potassium persulfate (PPS), and reaction time. It was found that the maximum grafting percentage of the grafted copolymer was 99.4% at 50°C with the amounts of MMA and PPS of 50 and 2 mmol, respectively and in the reaction time of 90 min. In order to confirm the grafted result, the grafted copolymer was characterized by FT-IR. The hydroxyl group (-OH) of starch was found at the peaks of 3390.6 cm<sup>-1</sup> and 3513 cm<sup>-1</sup> and the carbonyl group (>C=O) of MMA was found in the peak range of 1950-1600 cm<sup>-1</sup>. Viscosity and average molecular weight, the physical properties of grafted copolymer, were investigated. It was found that the grafting percentage increased with an increase of the viscosity and the average molecular weight.



# สารบัญ

หน้า

กิตติกรรมประกาศ

๑

บทคัดย่อ

๒

ABSTRACT

๓

สารบัญ

๔

รายการตาราง

๕

รายการรูป

๖

บทที่

1. บทนำ

1

1.1 ความเป็นมาและความสำคัญของปัญหา

1

1.2 วัตถุประสงค์ของงานวิจัย

3

1.3 ขอบเขตของงานวิจัย

3

1.4 ประโยชน์ที่คาดว่าจะได้รับ

3

2. การทบทวนวรรณกรรม

5

2.1 แป๊ง

5

2.1.1 ความรู้เบื้องต้นและความสำคัญของแป๊ง

5

2.1.2 องค์ประกอบภายในเม็ดแป๊ง

6

2.1.3 ลักษณะของเม็ดสถาาร์ชและโครงสร้างของเม็ดสถาาร์ช

9

2.1.4 สมบัติของแป๊ง

12

2.1.5 การดัดแปลงแป๊ง

19

2.2 พอดิเมอร์

20

2.2.1 แรงระหว่างโมเลกุลและพันธะเคมีในพอดิเมอร์

21

2.2.2 การจำแนกประเภทของพอดิเมอร์

22

2.3 พอดิเมอร์ร่วมจากแป๊งกับพอดิเมอร์ตั้งเคราะห์

26

2.4 งานวิจัยที่ผ่านมา

27

บทที่	หน้า
<b>3. วิธีการวิจัย</b>	<b>30</b>
<b>3.1 วัสดุและอุปกรณ์</b>	<b>30</b>
<b>3.1.1 อุปกรณ์ในการทดลอง</b>	<b>30</b>
<b>3.1.2 วัสดุและสารเคมี</b>	<b>31</b>
<b>3.1.3 เครื่องมือทดลองและเครื่องมือวิเคราะห์</b>	<b>31</b>
<b>3.2 วิธีการทดลอง</b>	<b>31</b>
<b>3.2.1 การสักด้วยขี้งจากเมทิลเมทาคริเลตมอนอยเมอร์</b>	<b>31</b>
<b>3.2.2 การเตรียมพอลิ(เมทิลเมทาคริเลต) ที่ต่อกับน้ำยาขาวโพด</b>	<b>32</b>
<b>3.2.3 การสักด้วยเมอร์เอกพันธุ์จากพอลิเมอร์ร่วมแบบต่อ กับน้ำยาขาวโพด</b>	<b>33</b>
<b>3.2.4 การวัดความหนืดของพอลิเมอร์ร่วมแบบต่อ กับ</b>	<b>33</b>
<b>3.2.5 การวิเคราะห์หมู่ทำหน้าที่ของพอลิเมอร์ร่วมที่สังเคราะห์ได้</b>	<b>35</b>
<b>4. ผลการทดลองและอภิปรายผล</b>	<b>36</b>
<b>4.1 พอลิ(เมทิลเมทาคริเลต) ที่ต่อ กับน้ำยาขาวโพดที่สังเคราะห์ได้</b>	<b>36</b>
<b>4.2 ผลของเวลาในการเกิดปฏิกิริยาต่อสมบัติของพอลิ(เมทิลเมทาคริเลต) ที่ต่อ กับน้ำยาขาวโพด</b>	<b>38</b>
<b>4.3 ผลของปริมาณของเมทิลเมทาคริเลตที่มีต่อสมบัติของพอลิ(เมทิลเมทาคริเลต) ที่ต่อ กับน้ำยาขาวโพด</b>	<b>40</b>
<b>4.4 ผลของปริมาณของโพแทสเซียมแปร์ซัลเฟตที่มีต่อสมบัติของพอลิ(เมทิลเมทาคริเลต) ที่ต่อ กับน้ำยาขาวโพด</b>	<b>41</b>
<b>4.5 การวิเคราะห์หมู่ทำหน้าที่ของพอลิ(เมทิลเมทาคริเลต) ที่ต่อ กับน้ำยาขาวโพด</b>	<b>42</b>
<b>4.6 สมบัติทางกายภาพของพอลิ(เมทิลเมทาคริเลต) ที่ต่อ กับน้ำยาขาวโพด</b>	<b>44</b>
<b>5. สรุปผลการวิจัยและข้อเสนอแนะ</b>	<b>46</b>
<b>5.1 สรุปผลการวิจัย</b>	<b>46</b>
<b>5.2 ข้อเสนอแนะ</b>	<b>46</b>
<b>บรรณานุกรม</b>	<b>48</b>

## หน้า

<b>ภาคผนวก</b>	<b>50</b>
<b>ภาคผนวก ก ข้อมูลการวิจัย</b>	<b>50</b>
ก.1 ข้อมูลการทดลอง	50
ก.2 ตัวอย่างการคำนวณ	50
<b>ภาคผนวก ข การทดสอบสมบัติทางกายภาพของพอลิ(เมทิลเมทาคริเลต) ที่ต่อ กึ่งบนแป้งข้าวโพด</b>	<b>53</b>
ข.1 การวัดความหนืดของพอลิ(เมทิลเมทาคริเลต) ที่ต่อ กึ่งบนแป้งข้าวโพด ด้วยเครื่องวัดความหนืด	53
ข.2 ตัวอย่างการคำนวณ	54
<b>ภาคผนวก ค พูเรียร์ทรานฟอร์มอินฟราเรดสเปกโตรสโคปี</b>	<b>56</b>
ค.1 หลักการของเครื่อง	56
ค.2 คุณสมบัติทั่วไป	57
ค.3 คุณลักษณะเฉพาะ	57
<b>ประวัตินักวิจัย</b>	<b>58</b>

## รายการตาราง

ตารางที่

หน้า

2.1 สมบัติของเบื้องข้าวโพด	6
2.2 ปริมาณอะไรมोสแตะอะไรมอเพกตินของเบื้องชนิดต่างๆ	9
2.3 สมบัติเม็ดสตาร์ชของพืชบางชนิด	18
3.1 ปริมาณของเมทิลเมทาคริเลต ปริมาณของโพแทสเซียมเปลอร์ฟัลเฟต และเวลาที่ใช้ในการทำปฏิกริยา	32
ก.1 ข้อมูลการสังเคราะห์พอลิ(เมทิลเมทาคริเลต) ที่ต้องกึ่งบนเบื้องข้าวโพด	50
ก.2 ปริมาณการต่อ กิ่ง ประสีทิชภาพการต่อ กิ่ง ปริมาณ ไฮโนพอลิเมอร์ ค่าการเปลี่ยน ค่าการเลือกเกิด และผลได้	52
ข.1 ความหนืดเฉพาะและนำหนักไม้เล็กน้อยของสารละลายพอลิเมอร์	53

# รายการรูป

รูปที่	หน้า
2.1 โครงสร้างของอะไมโลส	6
2.2 ลักษณะการเกิดพันธะไฮโดรเจนระหว่างโมเลกุลของพอลิเซ็กตร์ไโรด์ และการจับกับโมเลกุลของน้ำ	7
2.3 โครงสร้างของอะมิโลเพกติน	8
2.4 การจัดเรียงตัวของโมเลกุลอะไมโลส และอะไมโลเพกตินในเม็ดแป้ง	10
2.5 ลักษณะ และรูปร่างของเม็ดสถาาร์ชที่ได้จากพืชบางชนิด	11
2.6 การเปลี่ยนแปลงความหนืดของแป้งข้าวสาลี แป้งข้าวโพด แป้งมันผั่ง และแป้งมันสำปะหลัง	16
2.7 รูปแบบความหนืดของแป้งสูญน้ำดิบต่างๆ เมื่อแป้งตามกำลังการพองตัว	16
2.8 การเปลี่ยนแปลงของเม็ดแป้งในระหว่างการหุงต้ม	17
2.9 ลักษณะการพองตัวของเม็ดสถาาร์ช และการเปลี่ยนแปลงความหนืดของสารละลาย	18
2.10 การเกิดรีโทรเกรเดชัน	20
2.11 กลไกการคืนตัวของแป้ง	20
2.12 การเกิดพอลิเมอร์แบบกึ่ง	25
2.13 การเกิดพอลิเมอร์แบบร่างแท	26
2.14 โครงสร้างโมเลกุลจำลองของกราฟต์พอลิเมอร์ร่วมของแป้ง	27
3.1 เครื่องฟูเรียร์ทรานฟอร์ม อินฟราเรดสเปกโตร โฟโตมิเตอร์	36
3.2 ส่วนประกอบของเครื่องฟูเรียร์ทรานฟอร์มอินฟราเรดสเปกโตร โฟโตมิเตอร์ เป็นกระจกที่เคลือบด้วยทอง	36
4.1ก PPS 1 mmol MMA 20 mmol เวลา 30 นาที	37
4.1ข PPS 1 mmol MMA 20 mmol เวลา 60 นาที	37
4.1ค PPS 1 mmol MMA 20 mmol เวลา 90 นาที	38
4.1ง PPS 1 mmol MMA 20 mmol เวลา 120 นาที	38
4.1จ PPS 1 mmol MMA 30 mmol เวลา 90 นาที	38
4.1ฉ PPS 1 mmol MMA 40 mmol เวลา 90 นาที	38
4.1ช PPS 1 mmol MMA 50 mmol เวลา 90 นาที	39

## รูปที่

หน้า

4.4 ผลของปริมาณ PPS ที่มีต่อสมบัติของพอลิ(เมทธิลเมทาคริเลต) ที่ต่อ กิ่ง บันแป้งข้าวโพด เมื่อใช้ MMA 50 mmol และเวลาในการเกิดปฏิกิริยา 90 นาที	42
4.5 สเปกตรัมของพอลิ(เมทธิลเมทาคริเลต) ที่ต่อ กิ่งบันแป้งข้าวโพด	43
4.6 สเปกตรัมของแป้งข้าวโพด	43
4.7 สเปกตรัมของเมทธิลเมทาคริเลต	44
4.8 ความสัมพันธ์ระหว่างความหนืดเฉพาะของพอลิเมอร์ต่อความเข้มข้น กับปริมาณการต่อ กิ่ง	45
4.9 ความสัมพันธ์ระหว่างน้ำหนักโมเลกุลเฉลี่ยกับปริมาณการต่อ กิ่ง	45
ช.1 ความสัมพันธ์ระหว่างความหนืดเฉพาะของพอลิเมอร์กับความเข้มข้น ของสารละลายพอลิเมอร์	55
ค.1 เครื่องฟูเรียร์ทرانฟอร์มอินฟราเรดสเปกโตรสโคป	57
ค.2 ส่วนประกอบของเครื่องฟูเรียร์ทرانฟอร์มอินฟราเรดสเปกโตรสโคป เป็นกระจกที่เคลือบด้วยทอง	57

## บทที่ 1

### บทนำ

บทนี้จะกล่าวถึงความเป็นมาและความสำคัญของปัญหา วัตถุประสงค์ ขอบเขตของงานวิจัย และประโยชน์ที่ได้รับจากการวิจัยนี้

#### 1.1 ความเป็นมาและความสำคัญของปัญหา

จากการพัฒนาเทคโนโลยีด้านต่างๆ ที่ไม่หยุดนิ่ง ทำให้เกิดผลิตภัณฑ์หรือวัสดุใหม่ขึ้นมาแทนทรัพยากรธรรมชาติอย่างมากนาย ตัวอย่างเช่น พลาสติก เหล็ก แก้ว เป็นต้น เนื่องจากพลาสติก มีสมบัติที่ดีที่แตกต่างจากวัสดุอื่นๆ ทำให้เกิดการพัฒนาเทคโนโลยีในการผลิตพลาสติกมากนาย เพื่อปรับปรุงสมบัติของพลาสติกให้เหมาะสมกับการใช้งานแต่ละประเภท เช่น การพัฒนาพลาสติกชนิดโพลิเอทธิลีนให้เป็นพอลิเอทธิลีนความหนาแน่นสูง (High density polyethylene, HDPE) เป็นต้น

การปรับปรุงสมบัติของพลาสติกทำได้โดยการเลือกใช้วัตถุดิน ปฏิกริยาเคมี กระบวนการผลิต และกระบวนการขึ้นรูปต่างๆ นอกเหนือไปยังความสามารถปรุงแต่งสมบัติได้ง่าย โดยการเติมสารเติมแต่ง (Additive) เช่น สารเสริมสภาพพลาสติก (Plasticizer) สารปรับปรุงคุณภาพ (Modifier) ตัวเติม (Filler) สารคงสภาพ (Stabilizer) ตัวยับยั้ง (Inhibitor) สารหล่อลื่น (Lubricant) และpigment (Pigment) เป็นต้น ทั้งยังสามารถผลิตพลาสติกที่มีน้ำหนักเบา ราคาถูกเมื่อเทียบกับวัสดุอื่นที่สามารถใช้งานในลักษณะเดียวกัน ทำให้พลาสติกถูกนำไปใช้ในส่วนหนึ่งของการดำรงชีวิตของมนุษย์ และมีแนวโน้มที่จะเพิ่มปริมาณมากขึ้น

อย่างไรก็ตามการใช้งานพลาสติกยังมีข้อจำกัด คือ พลาสติกส่วนใหญ่ไม่สามารถแตกสลายตามธรรมชาติ หรือต้องใช้เวลาในการแตกสลายที่ยาวนาน ก่อให้เกิดปริมาณขยะที่เพิ่มขึ้นอย่างมากนาย ซึ่งเป็นปัญหาสำคัญที่ทั่วโลกกำลังเผชิญอยู่ วิธีการกำจัดของพลาสติกมีหลายวิธี เช่น การนำไปเผา หรือนำไปโคมดิน ซึ่งการกำจัดทั้ง 2 วิธีนี้ไม่สามารถแตกสลายพลาสติกได้ทั้งหมดและใช้เวลา長 จึงมีการพยายามพัฒนาเพื่อเป็นเชื้อเพลิง (Incineration) และสามารถลดปริมาณของพลาสติกอย่างได้ผลดี แต่ส่งผลกระทบต่อสิ่งแวดล้อมสูง เนื่องจากกระบวนการเผาพลาสติกจะให้แก๊สคาร์บอนไดออกไซด์ ซึ่งเป็นแก๊สที่ทำให้เกิดปรากฏการณ์เรือนกระจก ทำให้อุณหภูมิของโลกสูงขึ้น นอกจากนี้การนำไปเผาจะทำให้พลาสติกลับมาใช้ใหม่ไม่ได้ คือ ขั้นตอนการทำซ้ำซ้อนโดยต้องแยกประเภทของพลาสติก กำจัดสิ่งที่ไม่ต้องการออก และต้องลดขนาดก่อนเข้ากระบวนการ ทำให้

พลาสติกมีสมบัติเชิงกลลดลง เพราะถูกแรงเฉือนกัด (Mechanical shear) ในเครื่องบดทำลายโครงสร้างของพอลิเมอร์ให้แตกออก ส่งผลให้ความยาวของโมเลกุลและน้ำหนักมวลโมเลกุลลดลง

นักวิจัยจึงให้ความสนใจในการสังเคราะห์พอลิเมอร์ ที่สามารถแตกสลายได้ในธรรมชาติ ด้วยแสงอาทิตย์หรืออุ่นทรีฟ พอลิเมอร์ที่สามารถแตกสลายด้วยแสงอาทิตย์ได้ (Photodegradable polymer) จะมีกลุ่มคาร์บอนิล (Carbonyl group) ดูดซึมนรังสีอัลตราไวโอเลต ทำให้พันธะของพอลิเมอร์แตกสลายออก ส่วนพอลิเมอร์ที่แตกสลายทางชีวภาพได้ (Biodegradable polymer) จะมีกลุ่มที่ถูกไฮโดรไลส์ได้ (Hydrolysable group) ซึ่งสามารถเกิดปฏิกิริยาไฮโดรไลซิส และปฏิกิริยาออกไซเดชันได้ง่าย แต่มีข้อจำกัด คือ พลาสติกที่สังเคราะห์ได้มีราคาสูง และกระบวนการผลิตซับซ้อน จึงมีการประยุกต์โดยการต่อ กิ้ง (Graft) พอลิเมอร์สังเคราะห์ซึ่งไม่เสื่อมทางชีวภาพลงบนพอลิเมอร์ธรรมชาติที่แตกสลายได้ ทำให้ได้พลาสติกที่มีสมบัติที่ดีของพอลิเมอร์สังเคราะห์และเสื่อมทางชีวภาพได้ พอลิเมอร์ธรรมชาติที่นิยมใช้ คือ แป้ง (Starch) ซึ่งมีปริมาณมากและต้นทุนการผลิตต่ำ

แป้งเป็นคาร์บอไฮเดรตประกอบขึ้นจากหน่วยของน้ำตาลกลูโคส ( $C_6H_{12}O_6$ ) เป็นแหล่งพลังงานที่สร้างใหม่ได้ และสามารถดัดแปลงทำให้สมบัติของแป้งเปลี่ยนแปลงเพื่อนำไปใช้ประโยชน์ต่างๆ ทั้งทางเคมี ชีวภาพ และภายใน เช่น เป็นที่ต้องการของอุตสาหกรรมต่างๆ มากما ลักษณะทั่วไปของแป้ง คือ เป็นพอลิเมอร์ที่มีแรงดึงดูดระหว่างโมเลกุลส่วนใหญ่เป็นพันธะไฮโดรเจน จัดเรียงตัวค่อนข้างเป็นระเบียบ โครงสร้างประกอบด้วยอะไมโลสและอะไโนโลเพกติน ทำให้แป้งมีสมบัติต่างๆ เช่น ไม่ละลายในน้ำเย็น ไม่อ่อนตัว หรือหลอมเหลวเมื่อได้รับความร้อนจึงส่งผลต่อการขึ้นรูป นอกจากนี้พลาสติกที่ได้จากแป้งเพียงอย่างเดียวจะมีสมบัติบางประการที่ไม่เหมาะสมต่อการใช้งาน เช่น ไม่มีความยืดหยุ่น แข็ง แต่ประจำย ทำให้เป็นข้อจำกัดในการทำผลิตภัณฑ์พลาสติกจากแป้งโดยตรง

งานวิจัยนี้เป็นการศึกษาภาวะที่เหมาะสมในการสังเคราะห์พอลิเมอร์ร่วม (Copolymer) ที่แตกสลายได้จากการต่อ กิ้ง เมทิลเอมทาคริเลตบนแป้งข้าวโพด โดยใช้โพแทสเซียมเปอร์ซัลเฟตเป็นสารริเริ่มปฏิกิริยาเรือกซ์ และศึกษาสมบัติทางกายภาพ คือ ความหนืดและน้ำหนักโมเลกุล รวมทั้งวิเคราะห์หมู่ทำหน้าที่ของพอลิเมอร์ร่วมที่สังเคราะห์ได้ ทั้งนี้ความรู้ที่ได้สามารถนำไปสู่ความรู้ใหม่ในการสังเคราะห์พอลิเมอร์ร่วมที่แตกสลายได้ และเป็นแนวทางในการอนุรักษ์สิ่งแวดล้อมโดยการนำไปผลิตพลาสติกที่สามารถแตกสลายได้ในระดับอุตสาหกรรม

## 1.2 วัตถุประสงค์ของงานวิจัย

- 1.2.1 เพื่อศึกษาภาวะที่เหมาะสมในการสังเคราะห์พอลิ(เมทิลเมทาคริเลต) ที่ต่อ กิ่งบัน เป็นข้าวโพดโดยใช้โพแทสเซียมเปอร์ซัลเฟตเป็นสารรีเริ่มปฏิกิริยา
- 1.2.2 เพื่อศึกษาสมบัติทางกายภาพ และวิเคราะห์หมู่ทำหน้าที่ของพอลิเมอร์ร่วมที่ สังเคราะห์ได้

## 1.3 ขอบเขตของงานวิจัย

- 1.3.1 ศึกษาภาวะที่เหมาะสมในการสังเคราะห์พอลิ(เมทิลเมทาคริเลต) ที่ต่อ กิ่งบัน เป็นข้าวโพดโดยใช้โพแทสเซียมเปอร์ซัลเฟต เป็นสารรีเริ่มปฏิกิริยาที่อุณหภูมิ  $50^{\circ}\text{C}$  และภายใต้ บรรยายกาศของแก๊สไนโตรเจน โดยมีตัวแปรในการศึกษาดังนี้
- 1.3.1.1 ปริมาณเมทิลเมทาคริเลต เท่ากับ 20, 30, 40 และ 50 mmole
  - 1.3.1.2 ปริมาณ โพแทสเซียมเปอร์ซัลเฟตซึ่งเป็นสารรีเริ่มปฏิกิริยา เท่ากับ 1, 2, 3 และ 4 mmole
  - 1.3.1.3 เวลาที่ใช้ในการทำปฏิกิริยา เท่ากับ 30, 60, 90 และ 120 นาที

- 1.3.2 ศึกษาสมบัติทางกายภาพ และวิเคราะห์หมู่ทำหน้าที่ของพอลิเมอร์ร่วมที่สังเคราะห์ ได้ ดังนี้

- 1.3.2.1 วัดความหนืดของพอลิเมอร์ร่วมที่สังเคราะห์ได้ ด้วยเครื่องวัดความหนืด (Ubbelohde viscometer) และคำนวณค่าความหนืดสัมพัทธ์โดยใช้สมการของฮักกิน (Huggin's equation)

- 1.3.2.2 คำนวณน้ำหนักโนมเลกุลของพอลิเมอร์ร่วมที่สังเคราะห์ได้ โดยใช้สมการ ของมาร์ก โฮวินค์ (Mark Houwink's equation)

- 1.3.2.3 วิเคราะห์หมู่ทำหน้าที่ของพอลิเมอร์ร่วมที่สังเคราะห์ได้ ด้วยเครื่องฟูเรียร์ ทรายสฟอร์มอินฟราเรด (Fourier Transform Infrared Spectroscopy, FT-IR)

## 1.4 ประโยชน์ที่คาดว่าจะได้รับ

- 1.4.1 สามารถสังเคราะห์พอลิ(เมทิลเมทาคริเลต) ที่ต่อ กิ่งบัน เป็นข้าวโพดโดยใช้ โพแทสเซียมเปอร์ซัลเฟตเป็นสารรีเริ่มปฏิกิริยา
- 1.4.2 ได้แนวทางในการอนุรักษ์สิ่งแวดล้อม โดยการผลิตพลาสติกที่สามารถแตกสลาย ได้ระดับอุตสาหกรรม

1.4.3 ได้ผลงานวิจัยในระดับนานาชาติ หรือระดับชาติ (วารสารทางวิชาการและ/หรือ การประชุมวิชาการ)



## บทที่ 2

### การทบทวนวรรณกรรม

บทนี้จะกล่าวถึงความรู้เกี่ยวกับแป้ง ความรู้เกี่ยวกับพอลิเมอร์ และงานวิจัยที่ผ่านมา เพื่อเป็นแนวทางในการวางแผนในการทำงานวิจัยนี้

#### 2.1 แป้ง

##### 2.1.1 ความรู้เบื้องต้นและความสำคัญของแป้ง

แป้งเป็นคาร์โบไฮเดรตเชิงซ้อนที่มีกลูโคสแต่ละหน่วยมาต่อกันเป็นสายยาว โครงสร้างพื้นฐานประกอบด้วยมอลโตส (Maltose) ของ  $4\text{-}\alpha\text{-D-}\text{กลูโคไพรा�โนซิล-}\text{d-}\text{กลูโคไพรा�โนส}$  ( $4\text{-}\alpha\text{-D-glucopyranosyl-d-glucopyranose}$ ) โดยหน่วยย่อยที่สุดของแป้งประกอบด้วย คาร์บอนไฮโดรเจน และออกซิเจนในอัตราส่วน 6:10:5 สูตรเอมพิริกัลปี คือ  $\text{C}_6\text{H}_{10}\text{O}_5$  แป้งจัดเป็นพอลิเมอร์แบบควบแน่นของกลูโคสที่ปราศจากน้ำ (Anhydroglucose unit) พันธะที่เชื่อมต่อ กันระหว่างกลูโคสแต่ละหน่วยในโมเลกุลของแป้ง เรียกว่า พันธะไกโลโคซิดิก (Glycosidic bond) [1]

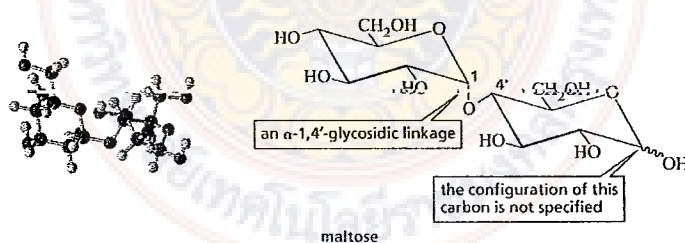
แป้งข้าวโพดจัดได้ว่าเป็นแป้งที่มีมากที่สุดในโลก ผลิตจากข้าวโพด (Corn หรือ Maize) ที่มีชื่อวิทยาศาสตร์ว่า *Zea mays L.* อุปวงศ์ *Gramineae* มีต้นกำเนิดในทวีปอเมริกาบรรเจ้ายไปในทวีปแอฟริกา อินเดีย ออสเตรเลีย และประเทศไทยในยุโรปที่มีอากาศอบอุ่น ข้าวโพดมีหลายพันธุ์ เช่น หัวแข็ง (Dent) หัวบุบ (Flint) ปอป (Pop) แป้ง (Flour) หวาน (Sweet) และข้าวเหนียว (Waxy) แป้งข้าวโพดเป็นแป้งที่มีการนำมาใช้ประโยชน์กันมากที่สุดในโลก เนื่องจากประเทศไทยเป็นผู้ผลิตรายใหญ่ และนำเทคนิคทางพันธุวิศวกรรมช่วยดัดแปลงคุณภาพ ทำให้เกิดความหลากหลายทางพันธุกรรมในข้าวโพด ส่งผลให้แป้งที่ผลิตได้มีสมบัติแตกต่างกัน นอกจากนี้ผลผลิตได้จากการสกัดแป้งส่วนใหญ่จะเป็นโปรตีน และน้ำมันซึ่งมีนูลด์ค่าทางการค้า เช่น กัน แต่ข้อเสียที่สำคัญคือ การสกัดแป้งและแยกโปรตีนออกทำได้ยาก และแป้งที่สกัดได้ยังมีไขมันเหลืออยู่ (ประมาณ 1%) ซึ่งจะส่งผลต่อสมบัติของผลิตภัณฑ์ ตารางที่ 2.1 แสดงสมบัติของแป้งข้าวโพด

ตารางที่ 2.1 สมบัติของแป้งข้าวโพด

สมบัติ	แป้งข้าวโพด
ขนาดเม็ดแป้ง (ไมครอน)	3-26
ปริมาณอะไนโอลส (%)	28
ขั้นการเกิดโพลิเมอร์ (Degree of polymerization)	800
อุณหภูมิเริ่มเปลี่ยนแปลงความหนืด (Pasting temperature, °C)	79.18
ความหนืดสูงสุด (Peak viscosity, RVU)	217.13
ความหนืดสุดท้าย (Final viscosity, RVU)	195.21
ความหนืดต่ำสุด (Trough viscosity, RVU)	145.67
อุณหภูมิเริ่มต้นเกิดเจลาทีนเซชัน (Onset temperature, $T_o$ °C)	49
อุณหภูมิสุดท้ายที่เกิดเจลาทีนเซชัน (Conclusion temperature, $T_c$ °C)	67

### 2.1.2 องค์ประกอบภายในเม็ดแป้ง

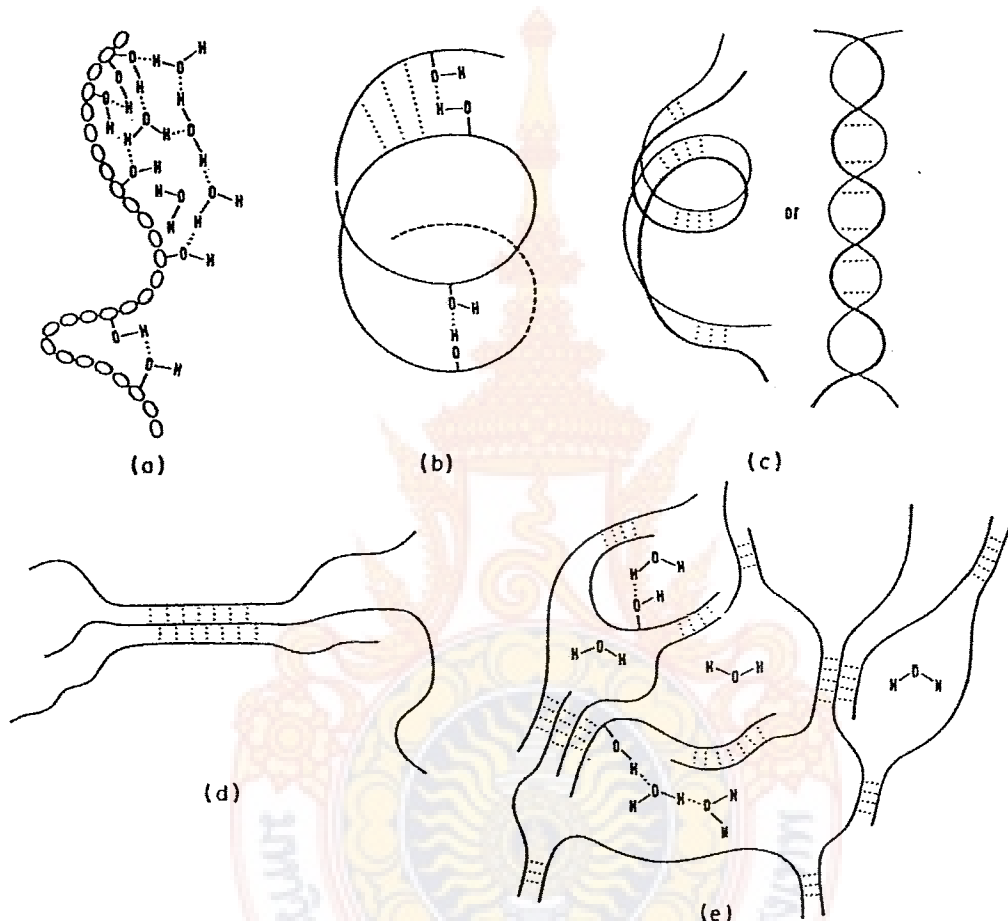
2.1.2.1 อะไนโอลส เมื่อพอลิเมอร์สายยาวของน้ำตาลกลูโคส ประกอบด้วยโมเลกุลของน้ำตาลกลูโคส หรือหน่วย  $\alpha$ -D-กลูโคไซด์ ประมาณ 250-2000 หน่วยเรียงต่อกันด้วยพันธะไกโลไฮเดรท์ที่ตำแหน่ง  $\alpha$ -D (1→4) ดังแสดงในรูปที่ 2.1



รูปที่ 2.1 โครงสร้างของอะไนโอลส

อะไนโอลสไม่ละลายน้ำ แต่มีอเดตินน้ำลงໄไป อะไนโอลสจะเก่าตัวกันเป็นตะกอนที่ไม่ละลาย เนื่องจากโมเลกุลของอะไนโอลสเป็นสายยาว จึงมีโอกาสที่จะจับคู่กันอะไนโอลสอีก

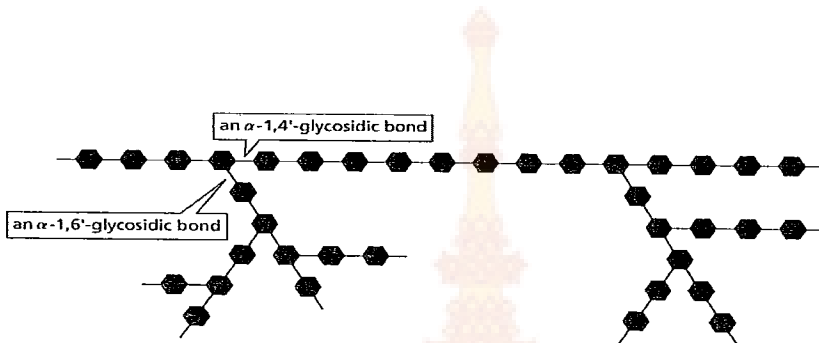
โนเมเลกุลหนึ่ง เป็นสายยาวคู่ขนานเกาะกันด้วยพันธะไฮโดรเจนกลาญเป็นตาข่ายมีขนาดใหญ่ขึ้น ดังแสดงในรูปที่ 2.2 ทำให้ความสามารถในการอุ้มน้ำลดลงและตกตะกอนได้ ปรากฏการณ์นี้ เรียกว่า รีโทรเกรเดชัน (Retrogradation) และตกตะกอนที่ได้เรียกว่า แบงรีโทรเกรด (Retrograded starch) แต่แบงเหนียว (Waxy starch) มีอะไรมोสันอยมากจึงไม่เกิดรีโทรเกรเดชัน [2]



รูปที่ 2.2 ลักษณะการเกิดพันธะไฮโดรเจนระหว่างโนเมเลกุลของพอลิแซ็คคาไรด์ และการจับกัน โนเมเลกุลของน้ำ

2.1.2.2 อะไรมอเลกติน เป็นส่วนของกลูโคสที่ต่อ กันเป็นสาย ซึ่งมีกิ่งก้านสาขาแตก แขนงออกໄไป โครงสร้างเป็นสายประกอบด้วยหน่วยของกลูโคสต่อ กันด้วยพันธะไกล โคลซิดิกแบบ  $\alpha$ -1, 4 ส่วนบริเวณรอยต่อระหว่างโซ่หลักกับกิ่งก้านจะต่อ กันด้วยพันธะไกล โคลซิดิกแบบ  $\alpha$ -1, 6 ( $\alpha$ -1, 6 Glycosidic) ประมาณร้อยละ 4-5 โดยทั่วไปอะไรมอเลกตินมีน้ำหนักโนเมเลกุลประมาณ 8,000,000 ดังแสดงในรูปที่ 2.3

แป้งแต่ละชนิดมีปริมาณของอะไนโอลสและอะไนโอลเพกตินไม่เท่ากัน ดังแสดงในตารางที่ 2.2 โดยโครงสร้างของอะไนโอลเป็นส่วนที่ทำให้เกิดความแข็งแรง เนื่องจากมีการขัดเรียงตัวของโมเลกุลที่แน่นกว่า เป็นระเบียบมากกว่า ส่วนอะไนโอลเพกตินจะขาดช่วงการสร้างพันธะระหว่างโมเลกุลในการเกิดเจล อะไนโอลเพกตินไม่ถูกย่อยแต่ดูดนำ้าได้ และเกิดการพองตัว



รูปที่ 2.3 โครงสร้างของอะไนโอลเพกติน

2.1.2.3 สารตัวกลาง และส่วนประกอบอื่นๆ สารตัวกลางมีโครงสร้างลักษณะเชิงกึ่ง เช่นเดียวกับอะไนโอลเพกติน แต่จะมีกึ่งที่ขาวกว่า โครงสร้างของสารตัวกลางขึ้นอยู่กับชนิดและการเก็บเกี่ยวของพืช ส่วนประกอบอื่นๆ ภายในเม็ดแป้งที่มีผลต่อลักษณะ และสมบัติของเม็ดแป้ง ได้แก่

1. ไขมัน แป้งมีองค์ประกอบของไขมันอยู่ต่ำกว่า 1% ในการทำจัดไขมันออก จากแป้ง ทำได้โดยการสกัดด้วยตัวทำละลาย หรือแตกสลายโดยใช้น้ำยาอ่อน ไขมันจะส่งผลกระทบต่อลักษณะของแป้งโดยลดความสามารถในการพองตัว การละลาย และการจับตัวของแป้งกับน้ำ นอกจากนี้คราดไขมันที่ไม่อิ่มตัวซึ่งอยู่บนพื้นผิวเม็ดแป้งจะทำให้เกิดกลิ่นที่ไม่พึงประสงค์ เนื่องจากเกิดปฏิกิริยาออกซิเดชัน แต่ถ้าเป็นไขมันที่รวมตัวเชิงช้อนกับอะไนโอลจะไม่ก่อให้เกิดกลิ่นเนื่องจากสามารถต้านทานการเกิดออกซิเดชันได้

2. โปรตีน แป้งมีส่วนประกอบของโปรตีนอยู่ต่ำกว่า 1% โดยโปรตีนจะเกาะที่พื้นผิวของเม็ดแป้ง เกิดผลกระทบต่อลักษณะของแป้ง โดยทำให้เกิดประจุบนพื้นผิวเม็ดแป้ง ทำให้มีผลต่อการกระจายตัวของเม็ดแป้ง ทำให้แป้งมีการดูดซับน้ำ การพองตัว และการเกิดเจลาทีนซึ่งเปลี่ยนแปลงไป

3. เต้า โดยทั่วไปแป้งมีองค์ประกอบของสารอนินทรีย์ เช่น โซเดียมโพแทสเซียม แมgnีเซียม และแคลเซียม ซึ่งวิเคราะห์ปริมาณได้จากส่วนที่เหลือหรือถ้าจากการเผาไหม้โดยสมบูรณ์

4. ฟอสฟอรัส แป้งมีส่วนประกอบของฟอสฟอรัสน้อยกว่า 0.1% แป้งจากธัญพืชมีฟอสฟอรัสในรูปฟอสฟอลิพิด (Phospholipid) ประมาณ 0.02% ถึง 0.06% แป้งจากหัวและรากมีองค์ประกอบของฟอสฟอรัสประมาณ 0.3% ถึง 0.4% ฟอสฟอรัสถูกนำไปเปลี่ยนรูปฟอสเฟตเชื่อมต่อกับหมู่ไฮดรอฟอฟิลที่คาร์บอนตำแหน่งที่ 3 และ 6 (C3 และ C6) ของหน่วยกลุ่มโคส

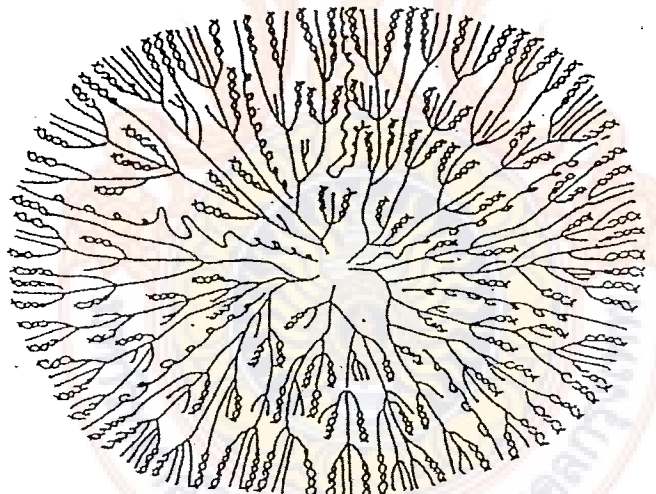
#### ตารางที่ 2.2 ปริมาณอะโภไนโลสและอะโภไนโลเพกตินของแป้งชนิดต่างๆ

ชนิดแป้ง	% อะโภไนโลส	% อะโภไนโลเพกติน
ข้าวโพด	28	72
มันฝรั่ง	21	79
ข้าวสาลี	28	72
มันสำปะหลัง	17	83
ข้าวโพดเหนียว (Waxy maize)	0	100
ข้าวฟ่าง	28	72
ข้าว	17	83
สาลู	27	73
หัวขามม่อน	20	80
ข้าวโพด (Amylo maize)	50-80	20-50

#### 2.1.3 ลักษณะของเม็ดสตาร์ชและโครงสร้างของเม็ดสตาร์ช

2.1.3.1 สตาร์ช กือ ผลิตภัณฑ์ที่ได้จากการนำแป้งมาเปลี่ยนสมบัติทางเคมี และ/หรือทางกายภาพจากเดิมด้วยความร้อน และ/หรือเอนไซม์ และ/หรือสารเคมีต่างๆ เพื่อให้เหมาะสมกับการนำไปใช้ในอุตสาหกรรมอาหารต่างๆ การจัดเรียงตัวของโมเลกุลอะโภไนโลสและอะโภไนโลเพกตินยังไม่เป็นที่แน่นชัด แต่มีการเสนอว่าอะโภไนโลเพกตินมีรูปร่างโมเลกุลแบบกึ่งไม้มีเป็นรัศมีทรงกลม ส่วนอะโภไนโลสจับอยู่ปลายส่วนที่เป็นเส้นตรง ดังแสดงในรูปที่ 2.4 ทำให้เกิดเป็น 2 ส่วน กือ ส่วนแรกเป็นส่วนที่เป็นอสัมฐาน (Amorphous area) โมเลกุลจับตัวกันหลวมๆ ประกอบด้วยส่วนที่เป็นกึ่งก้านมีพันธะ  $\alpha$ -1, 6-ไกලโคซิติก เป็นส่วนใหญ่ ดังนั้นบริเวณนี้จึงว่องไวต่อความร้อนและการดัดแปลงเป็นส่วนที่เป็นผลึก (Crystalline area) จับกันหนาแน่นด้วยพันธะไฮโดรเจน ทึ่นี่หน่วยของกลุ่มโคสต่อกันด้วยพันธะ  $\alpha$ -1, 4 ไกලโคซิติก เป็นส่วนใหญ่ [3]

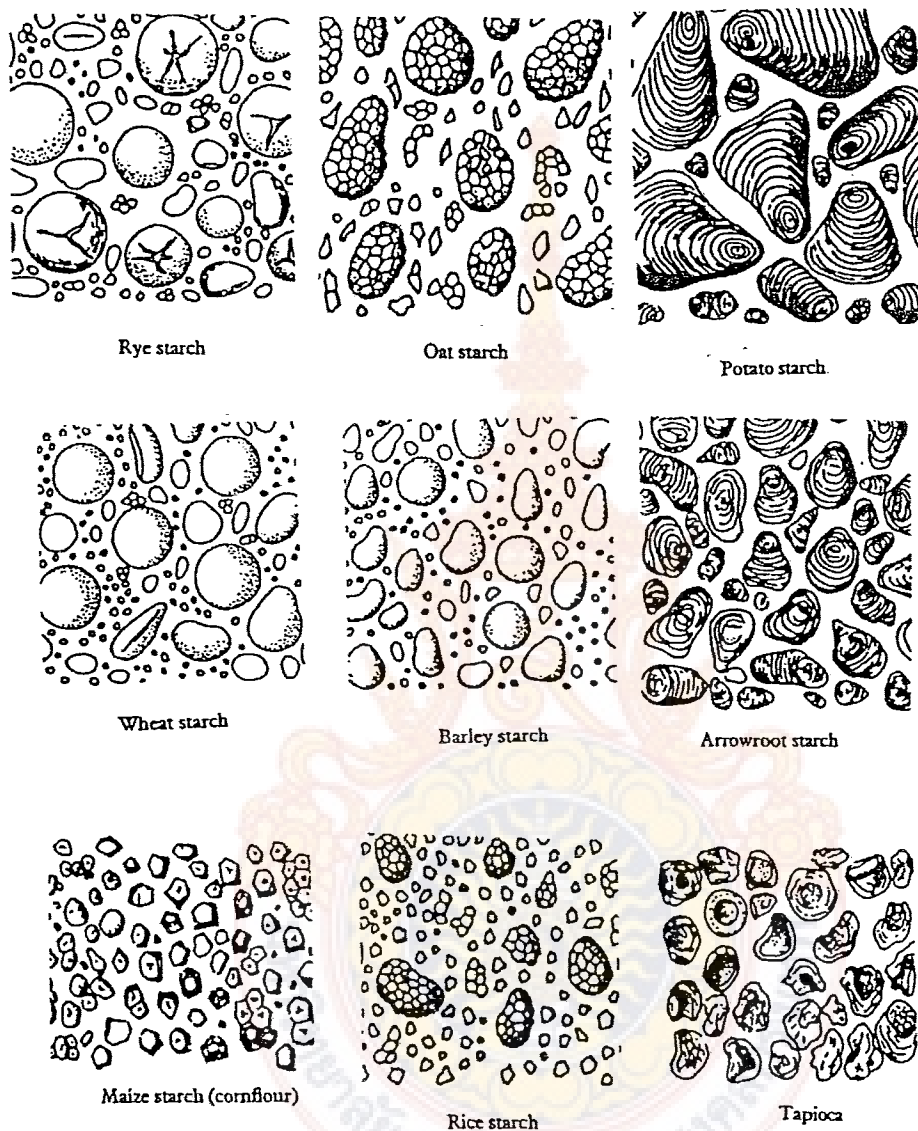
2.1.3.2 ลักษณะของเม็ดสตาร์ช รูปร่างของเม็ดสตาร์ชที่มาจากการพืชแต่ละชนิดจะแตกต่างกัน ซึ่งให้เป็นตัวชี้บ่งชนิดของสตาร์ชได้ เช่น เม็ดสตาร์ชมันฝรั่งมีรูปร่างเป็นวงรีคล้ายไข่มีน้ำดเส้นผ่านศูนย์กลางประมาณ  $15-100\text{ }\mu\text{m}$  เม็ดสตาร์ชมันฝรั่งมีฟอสฟอรัสเป็นองค์ประกอบประมาณ 0.06-0.1% เนื่องจากมีหนูฟอสเฟตออสเทอรอยู่บนโนเลกูลของอะไรมอลเพกติน จึงทำให้มีประจุลบทำให้คุณน้ำและพองตัวได้ง่าย สารละลายที่ได้มีลักษณะใส มีความหนืดสูง และเกิดริโตรเกรเดชันในอัตราต่ำ เม็ดสตาร์ชข้าวโพดมีน้ำดเล็ก รูปร่างทั้งกลมและเหลี่ยมปั้นกัน เม็ดสตาร์ชของข้าวโพดถึงจะมาจากแหล่งเดียวกัน แต่จะมีลักษณะรูปร่างหลายแบบผสมกันทั้งที่เป็นรูปกลมหรือหลายเหลี่ยม ส่วนเม็ดสตาร์ชข้าวสาลีรูปแบบกลมคล้ายแคนส์มีน้ำดต่างๆ กัน มีน้ำดเส้นผ่านศูนย์กลางระหว่าง  $2-35\text{ }\mu\text{m}$  ส่วนเม็ดสตาร์ชข้าวเจ้ามีน้ำดค่อนข้างเล็ก ซึ่งตรงกันข้ามกับเม็ดสตาร์ชของมันฝรั่งจะมีน้ำดใหญ่กว่ามาก มีความหนาแน่นน้อยกว่าการทำให้สุกได้ง่าย ภายในเม็ดสตาร์ชมีแร่ธาตุ ลิพิด และโปรตีนเป็นองค์ประกอบอยู่บ้างเล็กน้อย ดังนั้นมีอัตราการเปลี่ยนแปลงของเม็ดสตาร์ชที่สูงกว่าเม็ดสตาร์ชที่มีรูปร่างเป็นวงรี จึงทำให้เม็ดสตาร์ชที่มีรูปร่างเป็นวงรีสามารถคงทนกว่าเม็ดสตาร์ชที่มีรูปเหลี่ยมได้



รูปที่ 2.4 การจัดเรียงตัวของโนเลกูลอะไรมอลและอะไรมอลเพกตินในเม็ดแป้ง

เม็ดสตาร์ชของมันฝรั่งจะอยู่อย่างอิสระภายในแวดวง (Vacuoles) ทำให้แยกออกได้ง่ายโดยการสกัดด้วยน้ำ แล้วปล่อยให้เม็ดสตาร์ชตกตะกอนก่อนทำการหั่น เม็ดสตาร์ชที่มาจากการพืชส่วนใหญ่มีลิพิดเป็นองค์ประกอบเล็กน้อย อาจเป็นกรดไขมันอิสระและไลโซฟอสโฟลิพิด ซึ่งเม็ดสตาร์ชข้าวโพดจะเป็นไลโซฟอสฟอติดิลกوليสิน ประมาณ 89% ของฟอสโฟลิพิดที่เหลือ อัตราส่วนกรดไขมันอิสระต่อไลโซฟอสโฟลิพิดจะเปรียบเทียบกับเม็ดสตาร์ชที่มีรูปร่างเป็นวงรี คิดเป็นร้อยละ 2.5

ที่ได้จากหุบพืชจะแยกเม็ดสตาร์ซออกได้ยาก  
因为ส่วนที่เป็นสตาร์จะอยู่ในเอนโดสเปร์ม  
(Endosperm) ที่ห่อหุ่นไว้ด้วยลิโพโปรตีน (Lipoprotein coat)



รูปที่ 2.5 ลักษณะและรูปร่างของเม็ดสตาร์ที่ได้จากพืชบางชนิด

2.1.3.3 โครงสร้างของเม็ดสตาร์ ภายในเม็ดสตาร์ประกอบด้วยพอลิเมอร์กลูแคน 2 ชนิดผสมกัน คือ อะไนโอลสเป็นพอลิเมอร์สายยาวของ  $\alpha-(1 \rightarrow 4)$  กลูแคน และอะไนโอลเพกติน เป็นสายยาวที่ไม่เลกุลเมื่อนำมาให้ร้อนแล้วหักไม่เลกุลสูง ต่อ กันด้วยพันธะ  $\alpha-(1 \rightarrow 4)$  เป็นสายตรง และมีพันธะ  $\alpha-(1 \rightarrow 6)$  เป็นสายยาว อะไนโอลและองค์ประกอบของอะไนโอลเพกตินในเม็ดสตาร์แต่ละชนิดจะแตกต่างกันที่นำหักไม่เลกุล ขั้นการเกิดพอลิเมอร์ของแต่ละสายตำแหน่ง

ที่อยู่ในเม็ดสารซึ่ง และสัดส่วนของอะไรมีโลสต่ออะไมีโลเพกทิน ดังนั้นสมบัติของสารซึ่งที่ได้จากพืชแต่ละชนิดจะแตกต่างกัน การที่สารซึ่งแต่ละชนิดมีสมบัติแตกต่างกันจึงมีความสามารถต่อการทำหน้าที่ (Functionality) แตกต่างกัน เนื่องมาจากสัดส่วนและโครงสร้างขององค์ประกอบ

เม็ดสารซึ่งส่วนใหญ่มีอะไมีโลสเป็นองค์ประกอบประมาณ 20-39% และมีอะไมีโลเพกทินประมาณ 70-80% แต่สารซึ่งจากถั่ว (Peas) และข้าวโพดบางสายพันธุ์มีอะไมีโลสสูง 50-80% เรียกว่า ข้าวโพดอะไมีโล (Amylomaize) และเม็ดสารซึ่งของข้าวโพดบางสายพันธุ์ประกอบด้วยอะไมีโลเพกทิน 100% และไม่มีอะไมีโลสเลยเรียกว่า ข้าวโพดเหนียว (Waxy maize) ถ้าเป็นสารซึ่งจากข้าวฟ่าง (Millet) ที่ไม่มีอะไมีโลสเลยเรียกว่า ข้าวฟ่างเหนียว (Waxy millet)

#### 2.1.4 สมบัติของแป้ง

2.1.4.1 การดูดซึมน้ำ การพองตัวและการละลาย การเติมน้ำลงในแป้งและตั้งทิ้งไว้ที่อุณหภูมิห้อง เม็ดแป้งจะดูดซึมน้ำที่เติมลงไปภายในตัวบรรยายอาศัยห้อง จนเกิดสมดุลระหว่างความชื้นภายในเม็ดแป้งกับน้ำที่เติมและความชื้นในบรรยาย ปริมาณน้ำที่ถูกดูดซึมจะขึ้นอยู่กับอุณหภูมิและความชื้นสัมพัทธ์ แป้งส่วนใหญ่มีอัตราการดูดซึมน้ำที่ต่ำกว่า 10-17% จากการทดลอง พบว่าแป้งข้าวโพด แป้งมันสำปะหลัง แป้งนัมฟรั่ง และแป้งข้าวโพดเหนียว สามารถดูดซึมน้ำได้ในปริมาณ 39.9, 42.9, 50.9 และ 51.4 g ต่อน้ำหนักแป้งแห้ง 100 g ตามลำดับ น้ำในเม็ดแป้งมี 3 แบบ คือ น้ำผูกกัน น้ำไม่อิสระ (Bound water) และน้ำอิสระ (Free water) โดยมีการจับกับแป้งได้แน่นตามลำดับ แป้งที่มีความชื้น 8-10% สามารถจับกับน้ำได้สูงกว่าค่านี้ เนื่องจากเมื่อน้ำจับกับหมุ่ไซโตรอกซิลที่ควรบอนตำแหน่งที่ 6 ของกลูโคสแต่ละหน่วยของแป้ง จะได้สารซึ่งมีโนไซเดรต

น้ำหรือของเหลวชนิดอื่นสามารถแพร่ และผ่านเข้าไปในร่างกายของไนเซลล์ (Micelles) ในเม็ดแป้งได้อย่างอิสระ ซึ่งทดสอบได้จากการแพร่กระจายโดยเม็ดแป้งในสารละลายไออก็อคีนเจือจากจะเกิดสีในเม็ดแป้ง เมื่อใส่โซเดียมไทโอลซัลเฟต (Sodium thiosulfate) ลงไป พบว่า สีจะหายไปอย่างรวดเร็ว และเมื่อน้ำมาส่องด้วยกล้องจุลทรรศน์อิเล็กตรอน พบว่าเม็ดแป้งประกอบด้วยรูพรุนจำนวนมากซึ่งทำหน้าที่เป็นตะแกรงโมเลกุล (Molecular sieve) รูพรุนเหล่านี้อาจเกิดขึ้นในขั้นตอนการทำแห้งในกระบวนการผลิตแป้ง หรืออาจมีอยู่แล้วในแป้งธรรมชาติ แต่ถูกขยายขนาดให้ใหญ่ในขั้นตอนการทำแห้งในกระบวนการผลิตแป้ง

แป้งดินจะไม่ละลายในน้ำที่มีอุณหภูมิต่ำกว่าอุณหภูมิเจลาทีนซ์ เนื่องจากมีพันธะไออก็อคเจืองเกิดจากหมุ่ไซโตรอกซิลของโมเลกุลแป้งที่อยู่ใกล้ๆ กันเชื่อมต่อกันอยู่ แต่เมื่ออุณหภูมิของสารผสมน้ำแป้งเพิ่มสูงกว่าอุณหภูมิเจลาทีนซ์ พันธะไออก็อคจะถูกทำลาย โมเลกุล

ของน้ำจะเข้ามาจับกับหมู่ไฮดรอกซิลที่เป็นอิสระ เม็ดแป้งจะพองตัว ทำให้การละลาย ความหนืด และความใสเพิ่มขึ้น ปัจจัยที่มีผลต่อการพองตัวและความสามารถในการละลาย ได้แก่ ชนิดของแป้ง ความแข็งแรงและลักษณะของร่างกายภายในเม็ดแป้ง สิ่งเจือปนในเม็ดแป้งที่ไม่ใช่สาร์บไไซเดรต ปริมาณน้ำในสารละลายแป้ง และการดัดแปลงทางเคมี รูปแบบในการพองตัว และการละลายของเม็ดแป้งแต่ละชนิดจะมีรูปแบบที่แตกต่างกันไป

เมื่อให้ความร้อนแก่สารละลายน้ำแป้ง เม็ดแป้งจะพองตัว และแป้งบางส่วนจะละลายออกมานำ กำลังการพองตัวของแป้งแสดงเป็นปริมาตรหรือน้ำหนักของเม็ดแป้งที่เพิ่มขึ้นมากที่สุดเมื่อเม็ดแป้งพองตัวอย่างอิสระในน้ำ

ปัจจัยที่มีผลต่อการพองตัว และความสามารถในการละลายของแป้งมีหลายประการ ได้แก่

1. ชนิดของแป้ง แป้งแต่ละชนิดมีรูปแบบในการพองตัว และการละลายแตกต่างกัน ถ้าพิจารณาตามความสามารถในการพองตัวและการละลายของแป้ง จะแบ่งแป้งเป็น 3 ชนิด คือ แป้งจากธัญพืช แป้งจากส่วนราก และ แป้งจากส่วนหัว

(ก) แป้งจากธัญพืช มีรูปแบบการพองตัวและการละลายสองขั้น แสดงว่ามีพันธุกรรมในเม็ดแป้ง 2 ชนิด คือ พันธุบริเวณผลึก และบริเวณอสัณฐานของเม็ดแป้ง แป้งจำพวกนี้มีจำนวนพันธุสูงสุด แต่มีกำลังการพองตัวและการละลายต่ำสุด เนื่องจากมีปริมาณอะไรมोลสูงซึ่งอะไรมोลจะทำให้โครงสร้างร่างกายในเม็ดแป้งแข็งแรงขึ้น ทำให้พองตัวต่ำ

(ข) แป้งจากส่วนรากหรือส่วนกลางลำดัน (Pith) เช่น แป้งมันสำปะหลัง มีการพองตัวเพียงขั้นเดียว กำลังการพองตัวและการละลายมีค่าสูงกว่าแป้งจากธัญพืช เนื่องจากมีจำนวนพันธุน้อยกว่า แป้งจากส่วนรากจะเกิดเจลาทีนเซทที่อุณหภูมิต่ำกว่าแป้งจากธัญพืช

(ค) แป้งจากส่วนหัว เช่น แป้งมันฝรั่งมีการพองตัวสูง เนื่องจากพันธุกรรมในร่างกายอ่อนแอ นอกจานี้หมู่ฟอสเฟตภายนอกในแป้งมันฝรั่งทำให้เกิดการพองตัวสูงขึ้น เนื่องจากสามารถก่อให้เกิดแรงผลักดันทางไฟฟ้าได้ การพองตัวในแป้งจากส่วนหัวจะเกิดเพียงขั้นเดียวและเกิดขึ้นที่อุณหภูมิต่ำ การพองตัวแบบนี้เป็นลักษณะของแป้งที่เป็นโพลิอิเล็กโทรไลต์ (Polyelectrolyte)

2. ความแข็งแรงและลักษณะร่างกายในเม็ดแป้ง หรืออีกนัยหนึ่ง คือ จำนวนและชนิดของพันธุกรรมในเม็ดแป้ง อัตราส่วนของอะไรมोลต่ออะไรมोลเพกติน น้ำหนักโมเลกุล การกระจายตัวของโมเลกุล จำนวนกึ่งก้านสาขา การจัดเรียงตัว และความยาวของกึ่งก้านสาขาในอะไรมोลเพกติน

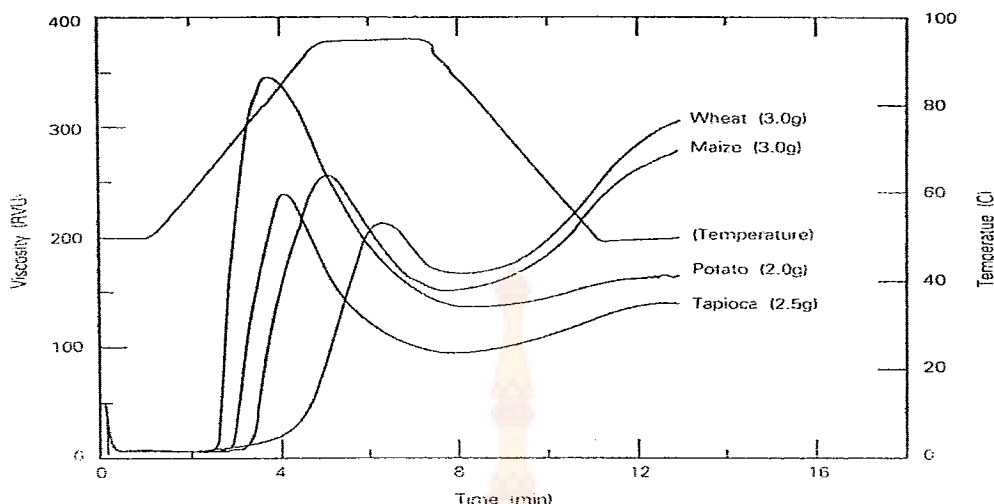
3. สิ่งเจือปนในเม็ดแป้งที่ไม่ใช่คาร์โบไฮเดรต สิ่งเจือปนเป็นปัจจัยสำคัญในการพองตัวของเม็ดแป้ง เช่น แป้งข้าวโพดที่สกัดไขมันออกจะพองตัวอย่างอิสระ และเป็นรูปแบบเดียวกันคือกว่าแป้งข้าวโพดปกติ เนื่องจากกรดไขมันธรรมชาติของแป้งข้าวโพดปกติจะขับยึดการพองตัวของเม็ดแป้ง โดยเกิดเป็นสารประกอบเชิงซ้อนกับอะไมโลส (Lipid-amylose complex) นอกจากนี้การเติมสารลดแรงตึงผิวในแป้งจะมีผลต่อการพองตัวของเม็ดแป้ง การเติมโพแทสเซียมปาล์มิเตท (Potassium palmitate) และสเตียเรต (Stearate) จะลดกำลังการพองตัวของแป้งมันสำปะหลัง ในขณะที่การเติมโซเดียมซัลเฟต (Sodium sulfate) และเซติลไตรเมทิลแอมโนเนียมบอร์ไนด์ (Cetyl trimethyl ammonium bromide) จะเพิ่มกำลังการพองตัวของเม็ดแป้ง

4. สมบัติหลังการดัดแปลงทางเคมี การพองตัวและการละลายของแป้งจะเปลี่ยนไปเมื่อมีการดัดแปลงทางเคมี การดัดแปลงครดหรือการเกิดออกซิเดชันด้วยเกลือไฮโปรคลอไรต์ (Hypochlorite) ทำให้พันธะภายในร่างแห้งแตกออก เม็ดแป้งจะกระจายออกเป็นชิ้นเล็กๆ ทำให้การละลายและการพองตัวสูงขึ้น การดัดแปลงด้วยปฏิกิริยาเอสเทอโรร์ฟิเคลชัน จะเกิดการแทนที่ของหมู่ทำหน้าที่อื่นๆ ภายในโมเลกุลของแป้ง ทำให้พันธะภายในเม็ดแป้งอ่อนแอลง อุณหภูมิการเกิดเจลาทีนซ์ต่ำลง การพองตัวเพิ่มขึ้น ขอบเขตในการลดลงของอุณหภูมิเจลาทีนซ์และการพองตัวที่เพิ่มขึ้นอยู่กับจำนวนและธรรมชาติของหมู่ทำหน้าที่ที่มาแทนที่ การทำครอสลิง (Crossed linking) ทำให้ความแข็งแรงของพันธะภายในเม็ดแป้งเพิ่มขึ้น ดังนั้นความสามารถในการพองตัวและการละลายจึงลดลง

5. ปริมาณน้ำที่มีในภาวะที่เกิดการพองตัว มีผลต่อการพองตัวและการละลาย สารละลายที่มีปริมาณแป้งต่ำกว่า 20% ค่าการละลายจะสูงกว่า 20% การพองตัวอิสระและการละลายที่สูงขึ้นจะถูกยับยั้งในสภาพที่สารละลายมีปริมาณน้ำน้อย สารประกอบอื่นๆ เช่น ซูโครัส กลูโคส และสารอเลิกโกรไอล์ต เช่น โซเดียมคลอไรด์ มีผลกระทบต่อการพองตัวของแป้ง พนว่าเมื่อเพิ่มความเข้มข้นของซูโครัสและลดปริมาณของแป้ง ทำให้การละลายของแป้งเพิ่มขึ้น

2.1.4.2 ความหนืด เป็นสมบัติเฉพาะตัวที่สำคัญของแป้ง เกิดจากการเปลี่ยนแปลงทางกายภาพ ปัจจัยสำคัญที่มีผลต่อความหนืดของแป้ง ได้แก่

1. ชนิดของแป้ง แป้งแต่ละชนิดมีความหนืดแตกต่างกัน ดังแสดงในรูปที่ 2.6 ความหนืดของน้ำแป้งที่เกิดขึ้นเมื่อให้ความร้อนและมีการวน หรือคนอย่างสม่ำเสมอจากอุณหภูมิ  $50^{\circ}\text{C}$  ถึง  $95^{\circ}\text{C}$  และให้คงที่ที่  $95^{\circ}\text{C}$  เป็นเวลา 2.5 นาที จากนั้นลดอุณหภูมิลงเป็น  $50^{\circ}\text{C}$  จะเห็นว่าแป้งแต่ละชนิดจะมีรูปแบบ (Profile) การเปลี่ยนแปลงของความหนืดแตกต่างกัน ซึ่งวัดค่าความหนืดจากเครื่องวิเคราะห์ความหนืดอย่างรวดเร็ว (Rapid Visco Analyzer, RVA)



**รูปที่ 2.6 การเปลี่ยนแปลงความหนืดของแป้งข้าวสาลี แป้งข้าวโพด แป้งมันฝรั่ง และแป้งมันสำปะหลัง**

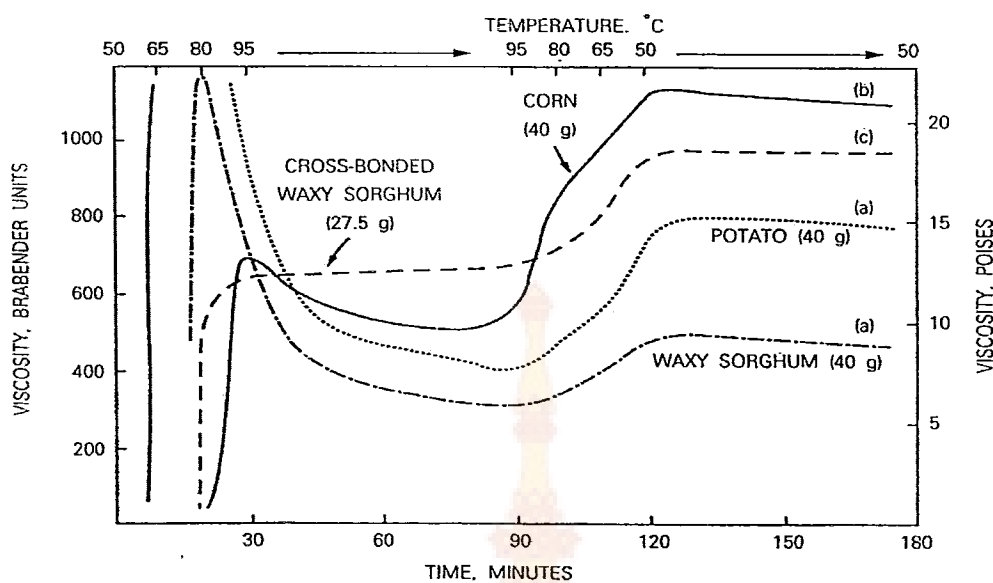
การแบ่งชนิดของแป้งจากกราฟ ซึ่งแสดงค่าความหนืดของแป้งสุกตามกำลังการพองตัวของแป้งที่วัดค่าด้วยเครื่องบรรเทนเดอร์วิสโภสไโนโลกราฟ (Brabender visco-amylograph) แบ่งเป็น 4 แบบ ดังแสดงในรูปที่ 2.7

แบบ (a) กราฟจากเม็ดแป้งที่มีกำลังการพองตัวสูง (High-swelling starches) เช่น แป้งมันฝรั่ง แป้งข้าวฟ่าง แป้งจากธัญพืช เมื่อให้ความร้อนแก่แป้ง เม็ดแป้งจะมีกำลังการพองตัวสูง ทำให้แรงที่ยึดกันภายในโมเลกุลอ่อนตัวลง เม็ดแป้งกระจายตัวออกเมื่อได้รับแรงเฉือนลักษณะกราฟความหนืดจึงสูงข้น และลดลงอย่างรวดเร็วระหว่างการต้มสุก

แบบ (b) กราฟจากเม็ดแป้งที่มีกำลังการพองตัวปานกลาง (Moderate-swelling starches) ได้แก่ แป้งจากธัญพืชต่างๆ เม็ดแป้งพองตัวไม่มากถึงขั้นกระจายตัวออก จึงได้กราฟความหนืดที่สูงข้นน้อยกว่า และเกิดการสลายตัวระหว่างการต้มสุกน้อยกว่า

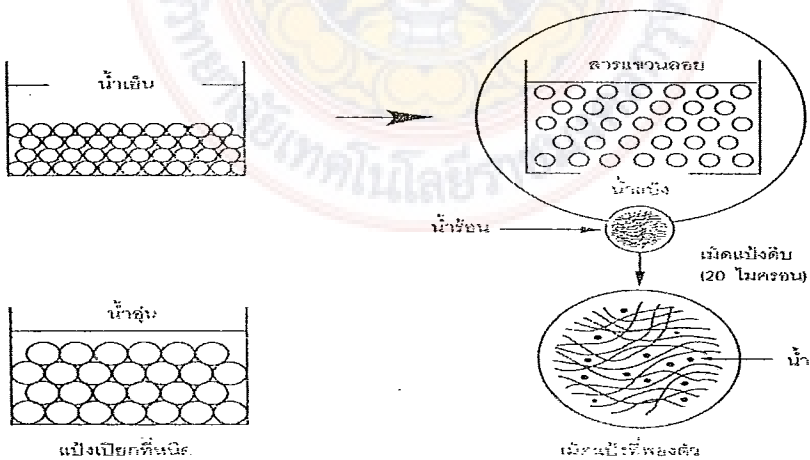
แบบ (c) กราฟจากเม็ดแป้งที่มีการพองตัวน้อย (Restricted-swelling starches) ได้แก่ ถั่วต่างๆ และแป้งครอสลิงหรือพันธะข้าม (Cross-linked หรือ Cross-bonded) วิธีครอสลิงทำให้การพองตัว และการละลายของเม็ดแป้งลดลง เม็ดแป้งที่พองตัวมีเสถียรภาพมากขึ้น ลักษณะกราฟความหนืดจึงไม่ปรากฏเป็นยอดสูงสุดมีค่าความหนืดสูงอาจคงที่หรือเพิ่มขึ้นระหว่างต้มสุก

แบบ (d) กราฟจากเม็ดแป้งที่มีการพองตัวน้อยมาก (Highly-restricted swelling starches) ได้แก่ แป้งที่มีปริมาณอะมิโนไซด์สูง เช่น แป้งข้าวโพดจะไม่โคลเมต ซึ่งมีอะมิโนไซด์ 50-80%



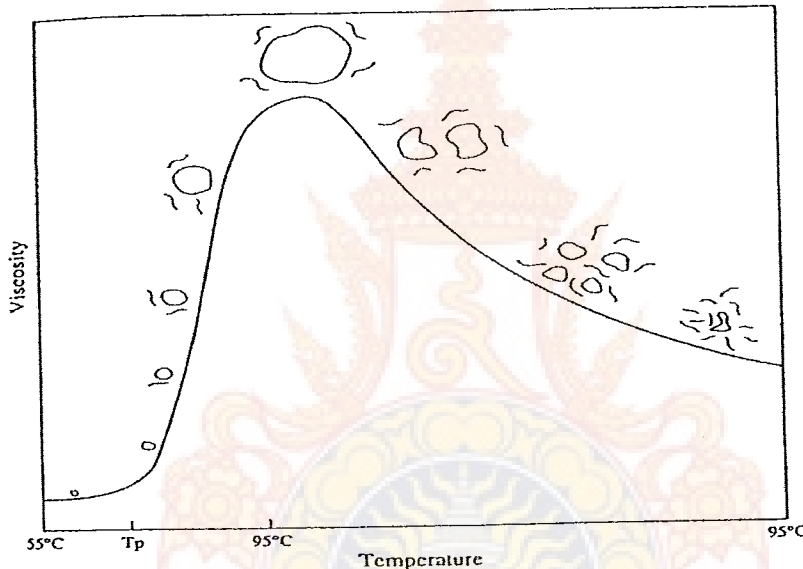
รูปที่ 2.7 รูปแบบความหนืดของแป้งสุกชนิดต่างๆ ที่แบ่งตามกำลังการพองตัว

2. การเกิดเจลาทีนเซชัน ไม่เลกูลของแป้งประกอบด้วยหมู่ไฮดรอกซิล จำนวนมาก ยึดเกาะกันด้วยพันธะไฮโดรเจน มีสมบัติชอบน้ำแต่เนื่องจากเม็ดแป้งอยู่ในรูปร่างแห้ง ซึ่งการจัดเรียงตัวลักษณะนี้ทำให้มีดีแป้งละลายในน้ำเย็นมาก ดังนั้นในขณะที่แป้งอยู่ในน้ำเย็น เม็ดแป้งจะดูดซึมน้ำและพองตัวเล็กน้อย แต่เมื่อให้ความร้อนกับสารละลายน้ำแป้ง พันธะไฮโดรเจน คลายตัวลง เม็ดแป้งจะดูดน้ำแล้วพองตัวออก ดังแสดงในรูปที่ 2.8 น้ำแป้งมีความหนืดมากขึ้นและใสขึ้น เนื่องจากไม่เลกูลของน้ำอิสระที่อยู่รอบๆ เม็ดแป้งเหลือน้อยลง เม็ดแป้งเคลื่อนไหวยากขึ้น ทำให้เกิดความหนืด ปรากฏการณ์นี้เรียกว่า การเกิดเจลาทีนเซชัน



รูปที่ 2.8 การเปลี่ยนแปลงของเม็ดแป้งในระหว่างการหุงต้ม

เม็ดสตาร์ชมีสมบัติหักเหแสงสองสองแนว (Optical birefringence) คือ จะปรากฏเป็นแสงเมื่อส่องดูด้วยกล้องจุลทรรศน์แบบโพลาไรส์ สมบัตินี้ชี้บ่งว่าสตาร์ชมีการเรียงตัวอย่างเป็นระเบียบ (Order orientation) หรือเป็นผลึก (Crystall) เม็ดสตาร์ชที่สมบูรณ์จะไม่ถูกทำลายขณะแปรรูป ไม่คล้ายในน้ำเย็น และดูดน้ำเย็นได้เพียงเล็กน้อย ความสามารถในการดูดน้ำของเม็ดสตาร์จะเพิ่มขึ้นเมื่ออุณหภูมิสูงขึ้น ดังนั้นเมื่อคลายในน้ำอุ่น เม็ดสตาร์จะค่อยๆ ดูดน้ำและพองตัวออก การพองตัวนี้สามารถเปลี่ยนกลับไปมาได้ เพราะเม็ดสตาร์จะหดตัวได้เมื่อบาโลก น้ำออกหรือทำให้แห้ง ถ้าเพิ่มอุณหภูมิของน้ำสูงขึ้นเรื่อยๆ เม็ดสตาร์จะพองตัวมากขึ้นจนมีขนาดใหญ่และแตกออกดังแสดงในรูปที่ 2.9



รูปที่ 2.9 ลักษณะการพองตัวของเม็ดสตาร์ชและการเปลี่ยนแปลงความหนืดของสารละลาย

สตาร์ชเมื่อได้รับความร้อนจนถึงอุณหภูมิสูงสุด คือ  $95^{\circ}\text{C}$  และให้หง่านที่อุณหภูมนี้ จะเกิดสารละลายขึ้นหนึ่ด (Starch paste) ซึ่งเป็นสารผสมของอะไมโลสและอะไมโลเพกติน กระบวนการนี้คืนกลับไม่ได้ ดังนั้นเม็ดสตาร์จะสูญเสียสมบัติการหักเหสองแนว (Birefringence) และโครงสร้างที่เป็นผลึก ไม่เกิดขึ้นใหม่ ไม่เด็กดูดออกมาก่อนหง่านของเม็ดสตาร์ชบางส่วน ช่วงอุณหภูมิที่เริ่มเกิดเจลาทีนเซ็นเซ่นสมบูรณ์จะแปรผันตามวิธีการที่ใช้วัด และอัตราส่วนของสตาร์ชต่อน้ำ ชนิดของเม็ดสตาร์ช และความไม่เป็นเนื้อเดียวกันภายในเม็ดสตาร์ชจะของ การเกิดเจลาทีนเซ็นเซ่นจะส่องดูด้วยกล้องจุลทรรศน์แบบโพลาไรส์ และอาจเห็นการหายไปของสมบัติการหักเหสองแนวในช่วงต้น ตารางที่ 2.3 แสดงสมบัติของเม็ดสตาร์ชของพืชบางชนิด

ตารางที่ 2.3 สมบัติเม็ดสตาร์ชของพืชบางชนิด

สมบัติ	สตาร์ชขาวโพด	สตาร์ชมันสำปะหลัง	สตาร์ชขาวสาลี
ขนาดของอนุภาค ( $\mu\text{m}$ )	2-30	4-35	2-55
% อะไนโอลส์	28	17	28
ช่วงอุณหภูมิที่เกิดเจลาทีไนเซชัน ( $^{\circ}\text{C}$ )	62-80	52-65	52-85
ความหนืดสัมพัทธ์	ปานกลาง	สูง	ต่ำ
ความยุ่นใสของสารละลาย	ยุ่น	ใส	ยุ่น
ลิพิด (% สตาร์ชแห้ง)	0.8	0.1	0.9
โปรตีน (% สตาร์ชแห้ง)	0.35	0.1	0.4

เม็ดสตาร์ชที่ได้รับความร้อนในภาวะที่มีน้ำปริมาณมาก จะพองตัวมากและมีอะไนโอลส์ส่วนที่ละลายน้ำได้หลุดออกมากด้วย หากมีความดันหรือแรงเฉือนที่ทำให้เม็ดสตาร์ชถูกทำลาย จะได้สารละลายที่มีลักษณะข้นหนืด ซึ่งประกอบด้วยส่วนที่ละลายได้ของอะไนโอลส์และบางส่วนของอะไนโอลเพกทิน ถ้าทึบให้สารละลายสตาร์ชเย็นลง อาจได้สารละลายที่มีหนืดหยุ่น (Viscoelastic) หรือเป็นเจล

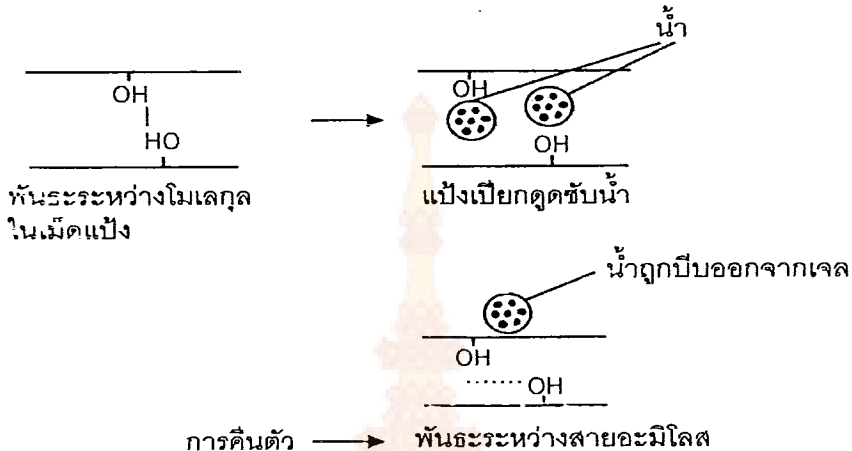
การศึกษาเจลาทีไนเซชันของเม็ดสตาร์ช จะใช้สารละลายสตาร์ชที่มีความเข้มข้น 5% กวนและให้ความร้อน เม็ดสตาร์ชจะดูดน้ำและพองตัวออก เป็นตัวซึ่งกันและกันภายในภาชนะ ทำให้ความหนืดเพิ่มขึ้น การกวนทำให้เม็ดสตาร์ชที่พองตัวเต็มที่แตกออกได้ง่าย ซึ่งมีผลทำให้ความหนืดลดลง เมื่อยื่อที่หุ่มเม็ดสตาร์ชแตกออก โนเลกูลของอะไนโอลจะหลุดออกและแพร่กระจายอยู่ในสารละลาย

เมื่อทึบให้สารละลายของเม็ดสตาร์ชที่เกิดเจลาทีไนเซชันเย็นลง โนเลกูลของสตาร์ชบางส่วน โดยเฉพาะโนเลกูลของอะไนโอลจะมาเกาะรวมตัวกันตกลงกัน หรือเกิดเป็นเจล เนยกกระบวนการนี้ว่า รีโทรเกรเดชัน ลักษณะของเจลที่เกิดขึ้นจะมีเนื้อสัมผัสแข็งหรืออ่อนขึ้นอยู่กับการเกิดโซนรอยต่อ (Junction zone) ซึ่งแปรผันตามองค์ประกอบอื่นๆ เช่น ไขมัน โปรตีน น้ำตาล กรด และปริมาณน้ำที่อยู่ในสารละลายนั้น

3. การเกิดรีโทรเกรเดชัน เมื่อแป้งได้รับความร้อนถึงอุณหภูมิเจลาทีไนเซชันแล้วให้ความร้อนต่อไป เม็ดแป้งจะพองตัวเต็มที่และแตกออกทำให้ความหนืดลดลง เนื่องจากโนเลกูลของอะไนโอลส์จะขาดเด็กและจะกระชากกระจายออกมานี้ เมื่อปล่อยให้เย็นลง โนเลกูลของ

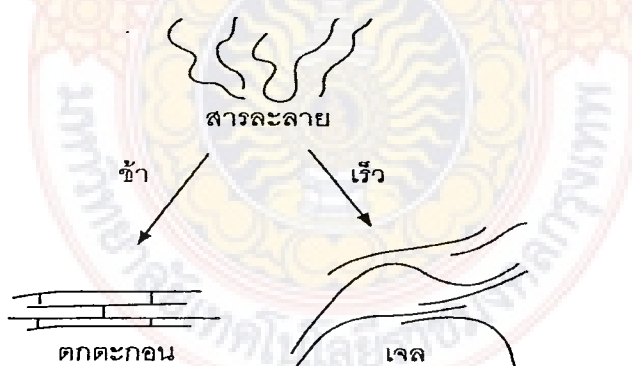
**สื่อการเรียนรู้การแพทย์แผนไทย ใน โลหิตชีววิทยา  
มหาวิทยาลัยเทคโนโลยีราชมงคลกรุงเทพ**

อะไมโลส จะเกิดการเรียงตัวใหม่ด้วยพันธะไฮโดรเจนระหว่างโมเลกุลเกิดเป็นร่างແຫສານมิติสามารถอุ้มน้ำและไม่คุณน้ำเข้ามาอีก ความหนืดคงตัวมากขึ้น เกิดลักษณะเจลเหนียว ปรากฏการณ์นี้เรียกว่า การเกิดรีໂගรเกรเดชัน ดังแสดงในรูปที่ 2.10 หรือ การคืนตัว ดังแสดงในรูปที่ 2.11



**รูปที่ 2.10 การเกิดรีໂගรเกรเดชัน**

การคืนตัวของแป้งถ้าเกิดขึ้นอย่างช้าๆ จะเกิดการตกตะกอน แต่ถ้าเกิดขึ้นอย่างรวดเร็วจะทำให้เจลขึ้น ทึ่นนี้ขึ้นอยู่กับปัจจัยหลายประการ เช่น ชนิดและความเข้มข้นของแป้ง กระบวนการให้ความร้อน อุณหภูมิ ระยะเวลา ความเป็นกรด-เบส ปริมาณและขนาดของโมเลกุลของอะไมโลสและอะไมโลเพกติน และองค์ประกอบทางเคมีอื่นๆ ในแป้ง



**รูปที่ 2.11 กลไกการคืนตัวของแป้ง**

### 2.1.5 การดัดแปลง

วิธีการดัดแปลงมีหลายวิธี ดังนี้

#### 2.1.5.1 การดัดแปลงทางเคมี (Chemical modification) ได้แก่

1. การเกิดอนุพันธ์ (Derivatives) ประกอบด้วย

(ก) การแทนที่สารในโมเลกุลเดี่ยวของแป้ง (Monostarch substitution) เกิดทั้งปฏิกิริยาเอสเทอร์ฟิล์เชชันและปฏิกิริยาอีเทอร์ฟิล์เชชัน เช่น แป้งไฮดรอกซิโอทิล

(ข) การแทนที่โมเลกุลที่มีหนูฟังก์ชันมากกว่า 1 หนู เช่น แป้งครอสลิงค์

2. การลดขนาดโมเลกุลแป้งด้วยกรด (Acid thinning) เช่น แป้งดัดแปรด้วยกรด (Acid modified starch)

3. เดกทร์ไนเซชัน (Dextrinization) เป็นการลดขนาด หรือเปลี่ยนการจับเกาะ (Depolymerization/transglycosylation) โดยใช้ความร้อน หรือความร้อนกับกรด

4. ออกซิเดชัน (Oxidation) ทำให้เกิดการฟอกสีและลดขนาดโมเลกุล เช่น แป้งออกซิไดซ์ (Oxidized starch)

5. การแยกสลายด้วยน้ำ (Hydrolysis) โดยใช้น้ำย่อยหรือกรด เพื่อแยกสลายให้เป็นน้ำตาลโมเลกุลเล็ก เช่น นอลโตเดกซ์ทริน (Maltodextrin)

#### 2.1.5.2 การดัดแปรแป้งทางกายภาพ (Physical modification) ได้แก่

1. เจลาทีไนเซชัน เป็นวิธีที่ให้ความร้อนแก่แป้งจนผ่านขั้นตอนของเจลาทีไนเซชันแล้วทำให้แห้งทันที เช่น แป้งพรีเจลาทีไนซ์ (Pre-gelatinized starch)

2. แป้งละลายน้ำเย็น (Granular-Cold-Water-Soluble-Starch, GCWSS) เป็นการแปรรูปแป้งให้สามารถละลายในน้ำเย็น โดยไม่ผ่านขั้นตอนการเกิดเจลาทีไนเซชัน

3. การลดขนาดเม็ดแป้ง โดยทางกล จะได้ลดขนาดเม็ดแป้งได้เร็ว

4. การอบอ่อน (Annealing) เป็นการให้ความร้อนในขณะที่เม็ดแป้งอยู่ในอุณหภูมิต่ำกว่าอุณหภูมิเจลาทีไนเซชัน

5. การแปรรูปด้วยความร้อนชื้น (Heat moisture treatment) เป็นการให้ความร้อนแก่แป้งสูงกว่าอุณหภูมิเจลาทีไนเซชันในขณะที่แป้งมีความชื้นต่ำ

#### 2.1.5.3 การดัดแปรทางเทคโนโลยีชีวภาพ (Biotechnological modification) ได้แก่

1. แป้งเหนียว (Waxy starch) คือ แป้งที่มีปริมาณอะไมโลสต่ำหรือไม่มีเลย

2. แป้งที่มีอะไมโลสสูง (High-amyllose starch)

## 2.2 พอลิเมอร์

พอลิเมอร์ คือ สารที่มีขนาดโมเลกุลใหญ่ประกอบด้วยหน่วยที่ซ้ำๆ กัน (Repeating unit) ที่เรียกว่า เมอร์ (Mer) หรือโมโนเมอร์ (Monomer) ซึ่งเป็นคำกริ๊ก พอลิ แปลว่า มากมาย และ เมอร์ แปลว่า หน่วยหรือส่วน ดังนั้นพอลิเมอร์จึงเป็นสารที่มีโมเลกุลยาวมาก บางกรณีเป็นสายตรง

(Linear) บางกรณีเป็นกิ่งสาขา (Branched) หน่วยที่ต่อๆ กันของพอลิเมอร์ ปกติแล้วจะเหมือนหรือเกือบเหมือนอนอมอนเมอร์ [4]

### 2.2.1 แรงระหว่างโมเลกุลและพันธะเคมีในพอลิเมอร์

โดยปกติโมเลกุลประกอบด้วยอะตอมซึ่งเชื่อกันไว้ด้วยพันธะ และอะตอมประกอบด้วยนิวเคลียส ซึ่งมีประจุบวกอยู่ตรงกลางและล้อมรอบด้วยกลุ่มอิเล็กตรอน อิเล็กตรอนรอบนอกที่เรียกว่า เวลเอนซ์อิเล็กตรอน (Valence electron) จะเกี่ยวข้องกับการเกิดปฏิกิริยาเคมี และการเกิดพันธะปฐมภูมิ (Primary bond)

#### 2.2.1.1 พันธะปฐมภูมิ ได้แก่

1. พันธะอิโอนิก (Ionic bond) เกิดจากอะตอมหนึ่งให้อิเล็กตรอนกับอีกอะตอมหนึ่ง ทำให้เกิดประจุบวกและลบกับอะตอมทั้งสอง ดังนี้อะตอมทั้งสองจึงเชื่อกัน ด้วยแรงทางไฟฟ้า การเรียงตัวของอิเล็กตรอนในลักษณะ เช่นนี้จะมีความเสถียรมากที่สุด และพบมากในผลึกเกลือในหลาย ๆ แต่พันธะเหล่านี้ปกติจะไม่ค่อยพบในสารพอลิเมอร์ จะมีอยู่บ้าง些ในพอลิเมอร์ที่เรียกว่า อิโโนเมอร์ (Ionomers) เป็นพอลิเมอร์ร่วมของแอดฟาร์โคเลฟินกับอนอมอร์กรดคาร์บอไซลิก เช่น กรดเมทาคริลิก (Methacrylic acid) และทำให้เป็นกลางด้วยอิโอนบวกของโลหะ ดังนี้การเกิดโครงร่างแบบเชื่อมขวาง จะเกิดผ่านโลหะกับหมุ่คาร์บอไซลิก พอลิเมอร์ชนิดนี้ใช้ในงานที่ต้องการความใส่มากๆ และยืดหยุ่น

2. พันธะโควาเลนซ์ (Covalence bond) พันธะประเภทนี้เกิดจากเวลเอนซ์ อิเล็กตรอน 1 คู่ หรือมากกว่า 1 คู่ มาใช้ร่วมกันระหว่างอะตอม 2 อะตอม ทำให้เกิดโมเลกุลที่เสถียร พันธะประเภทนี้เป็นพันธะที่สำคัญในการเกิดพอลิเมอร์

3. พันธะโคงอร์ดิเนต (Coordinate bond) ลักษณะของพันธะประเภทนี้ คล้ายกับพันธะโควาเลนซ์ที่อิเล็กตรอนเข้าร่วมกันเพื่อให้เกิดเสถียรภาพ เพียงแต่ว่าในพันธะโคงอร์ดิเนตนี้อิเล็กตรอนที่เข้าร่วมจะมาจากการหนึ่งอะตอมโดยทั้ง 2 อิเล็กตรอน

4. พันธะโลหะ (Metallic bond) พันธะประเภทนี้จะมีลักษณะที่ประจุบวกขัดแย้งกันอยู่ และมีอิเล็กตรอนเคลื่อนที่อย่างอิสระ ดังนี้จึงมีสภาพนำไฟฟ้าสูง เป็นลักษณะที่โลหะกับโลหะมาสร้างพันธะกัน พันธะประเภทนี้ยังไม่พบในพอลิเมอร์ แต่พันธะระหว่างโลหะกับสารอินทรีย์อยู่ในช่วงการศึกษา ซึ่งเป็นพอลิเมอร์ที่เรียกว่า เมทอลโลเซน (Metallocene)

2.2.1.2 พันธะทุติยภูมิ (Secondary bond) พันธะประเภทนี้เกิดจากแรงระหว่างโมเลกุล (Intermolecular forces) ซึ่งอาจเรียกว่า แรงวนเดอร์วัลส์ (Van der Waals) ก็ได้ ซึ่งแบ่งเป็นประเภทย่อย ดังนี้

1. แรงไดโอล (Dipole forces) เกิดจากแรงทางไฟฟ้าของอะตอมต่างชนิดกันในโมเลกุลหนึ่งๆ ทำให้เกิดความสมดุลซึ่งเรียกว่ามีสภาพขี้ว (Polar) หรือมีไดโอลโมเมนต์ (Dipole moment) เกิดขึ้น เมื่อโมเลกุลเหล่านี้มาอยู่ใกล้กัน ทำให้มีแรงกระทำต่อ กัน

2. แรงเหนี่ยวนำ (Induction forces) บางครั้งโมเลกุลที่มีสภาพขี้วจะมีอิทธิพลต่อโมเลกุลข้างเคียง และเกิดการเหนี่ยวนำทำให้เกิดไดโอลไดเอนเนกัน แม้ว่าจะไม่ถาวร และเมื่อเหนี่ยวนำได้จะทำให้เกิดแรงกระทำระหว่างโมเลกุลที่เป็นไดโอลถาวรกับโมเลกุลที่เป็นไดโอลไม่ถาวร ซึ่งถูกเหนี่ยวนำแรงที่เกิดขึ้นนี้เรียกว่า แรงเหนี่ยวนำ ซึ่งโดยปกติจะเป็นแรงอ่อนๆ และไม่ขึ้นกับอุณหภูมิ

3. พันธะไฮโดรเจน (Hydrogen bond) เป็นพันธะที่เกิดจากอะตอมไฮโดรเจน กับอะตอมอื่นๆ 2 อะตอม ซึ่งมีพบรามากในพอลิเมอร์ พันธะไฮโดรเจนนี้จะเกิดระหว่าง 2 หมู่ทำหน้าที่ในโมเลกุลเดียวกันหรือต่างโมเลกุลเดียวกัน โดยปกติพันธะประทეกนีส์เกิดจากอะตอมไฮโดรเจนbecause อยู่ระหว่างหมู่ที่ให้ประตอน (Proton donor) เช่น หมู่ไฮดรอกซิล หมู่คาร์บอคไซด์ หมู่อะมีน หรือหมู่ออกไซด์ กับหมู่ที่รับประตอน (Proton acceptor) เช่น ออกซิเจนในการบอนด์อีเทอร์ และไฮดรอกซิลในไฮโดรเจนไนโตรเจนในเอมีน เอไม์ หรืออาจเป็นชาโลเจนก็ได้ โมเลกุลที่มีสภาพขี้วที่เกี่ยวข้องกับพันธะชนิดนี้ เช่น น้ำ แอลกอฮอล์ กรดไฮโดรฟลูออริก เป็นต้น พวกพอลิเมอร์ที่มีสภาพขี้วจะทำให้มีผลต่อโครงสร้าง เช่น ในลอน เซลลูโลส และโปรตีน ซึ่งมีผลมาจากพันธะไฮโดรเจนด้วยเช่นกัน ความยาวพันธะไฮโดรเจนมีค่าประมาณ 2.4 ถึง 3.2 Å และมีพลังงานการถลายพันธะอยู่ระหว่าง 3-7 kcal/mole สำหรับอะตอมที่สามารถเกิดพันธะไฮโดรเจนได้มีเพียงฟลูออรีน ในไฮโดรเจน ออกซิเจน และคลอรีน เท่านั้นที่สภาพไฟฟ้าลบ (Electronegativity) เพียงพอ

## 2.2.2 การจำแนกประเภทของพอลิเมอร์

2.2.2.1 พอลิเมอร์อินทรีย์ (Organic polymer) หมายถึง พอลิเมอร์ที่เกิดจากสารอินทรีย์ ธรรมชาติ ได้แก่ พอลิแซ็กคาไรด์ โปรตีน ภาระธรรมชาติ เส้นใยธรรมชาติ ยางธรรมชาติ เป็นต้น ส่วนพอลิเมอร์อินทรีย์ที่สังเคราะห์มีมากนanya เช่น ยางสังเคราะห์ พลาสติก กาเส้นใย เป็นต้น

### 1. แบ่งตามลักษณะการใช้งาน เป็น 4 กลุ่ม ดังนี้

(ก) อิลัสตอยเมอร์ (Elastomer) หรือยาง (Rubber)

(ข) พลาสติก (Plastic)

(ค) เส้นใย (Fiber)

(ง) สีและสารชีดติด (Paint and adhesives) ซึ่งเป็นวัสดุเคลือบผิว

### 2. แบ่งตามสมบัติทางกายภาพ (Physical properties) เป็น 2 กลุ่ม คือ

(ก) พอลิเมอร์ประเภทเทอร์มoplastics (Thermoplastic polymer) พอลิเมอร์ชนิดนี้คล้ายได้ดีในตัวทำละลายบางชนิด เมื่อถูกความร้อนหลอมเหลวได้ และเมื่อยืดจะแข็งตัว สามารถทำให้หลอมและแข็งตัวได้หลายๆ ครั้ง โดยสมบัติทางเคมีไม่เปลี่ยนแปลง แบ่งเป็น 2 กลุ่ม ได้แก่

- กลุ่มเทอร์มoplastics ก็อกซ์ (Amorphous thermoplastics) กลุ่มนี้มีสมบัติแข็งแต่erasable เช่น พอลิสไตรีน (Polystyrene) พอลิเมทิลเมทาคริเลต (Polymethyl methacrylate) พอลิเมอร์อะคริโลไนไตรีล บิวตัล ไดอีน สไตรีน (Acrylonitrile-butadiene-styrene copolymer) เป็นต้น

- กลุ่มเทอร์มoplastics ก็อกซ์ที่เป็นผลึกบางส่วน (Partial crystalline thermo-plastics) กลุ่มนี้จะมีโครงสร้างของโซ่อิเล็กตรอนยังเป็นระเบียบทำให้เรียงตัวได้ดี จึงมีความเป็นผลึกปานอยู่ ประกอบกับการที่อุณหภูมิเปลี่ยนสถานะถ้ายังแก้ว (Glass transition temperature,  $T_g$ ) ถ้าอยู่ต่ำกว่าอุณหภูมิห้องจะทำให้พอลิเมอร์มีลักษณะยืดหยุ่นและเหนียวพอกสมควร เช่น พอลิเอทิลีน (Polyethylene) พอลิพรอพิลีน (Polypropylene) และพอลิอีมิด (Polyamide) เป็นต้น

ข. กลุ่มพอลิเมอร์ประเภทเทอร์โมเซต (Thermosetting polymer) พอลิเมอร์กลุ่มนี้จะมีรูปทรงดาว เมื่อผ่านกรรมวิธีการผลิตโดยใช้ความร้อนหรือความดัน ผลิตผลที่ได้ไม่สามารถหลอมละลายได้อีก ไม่ละลายในตัวทำละลาย คือ เกิดกระบวนการไม่ย้อนกลับ โดยเมื่อได้ผลิตผลแล้วไม่สามารถเปลี่ยนรูปร่างใหม่ สาเหตุที่เป็นเช่นนี้เนื่องจาก่อนผ่านกระบวนการผลิตโครงสร้างของพอลิเมอร์ยังไม่เป็นร่างแท้ แต่เมื่อผ่านกระบวนการโดยให้ความร้อนหรือความดันเข้าไป จะมีการเปลี่ยนแปลงทางเคมีในโครงสร้าง เกิดการเชื่อมโยงระหว่างสายโซ่อิเล็กตรอน ทำให้ผลิตผลที่ได้มีความคงทนไม่หลอม ไม่ละลาย ถ้าให้ความร้อนมากๆ จะใหม่มเกรียมและสมบัติเปลี่ยนไปจากเดิม ตัวอย่างที่เห็นชัดเจนคือ ยางธรรมชาติที่ผ่านกระบวนการวัลภาไนเซชัน ซึ่งจะเชื่อมโยงสายโซ่อิเล็กตรอนด้วยกำมะถันทำให้แข็งแกร่งมากขึ้น

### 3. แบ่งตามลักษณะการจัดเรียงตัวของอนองเมอร์ เป็น 2 กลุ่ม คือ

(ก) พอลิเมอร์เอกพันธุ์ (Homopolymers) สายโซ่อิเล็กตรอนประกอบด้วยอะทีลีนชนิดเดียว อนองเมอร์ชนิดเดียว เช่น ถ้าโนโนเมอร์เป็น A สายโซ่อิเล็กตรอนจะเป็นดังนี้

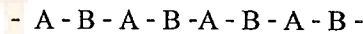


ตัวอย่าง เช่น พอลิเอทิลีน สายโซ่อิเล็กตรอนประกอบด้วยอะทีลีนชนิดเดียว หรือพอลิสไตรีนจะประกอบด้วยอนองเมอร์สไตรีนเพียงชนิดเดียว

(ข) พอลิเมอร์ร่วม สายโซ่อิเล็กตรอนประกอบด้วยอนองเมอร์ตั้งแต่สองชนิดขึ้นไป เช่น พอลิเมอร์ร่วมสไตรีน เป็นต้น พอลิเมอร์ร่วมที่ประกอบด้วยอนองเมอร์ 3 ชนิด เช่น

ABS (Acrylonitrile-butadiene-styrene) กรณีพอลิเมอร์ร่วมที่มาจากการอนอมอร์ 2 ชนิด แบ่งได้หลายแบบตามลักษณะการเรียงตัวของอนอมอร์ คือ

- พอลิเมอร์ร่วมแบบสลับ (Alternating copolymer) ถ้าพิจารณาในกรณีที่มีอนอมอร์ A และอนอมอร์ B ในสายโซ่ไม่เกลุกจะประกอบด้วย A และ B สลับกันไปอย่างเป็นระเบียบ คือ

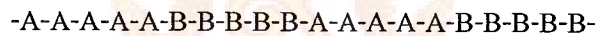


- พอลิเมอร์ร่วมแบบสุ่ม (Random copolymer) ในสายโซ่ไม่เกลุกจะพบรูปแบบอนอมอร์ทั้ง 2 ชนิด เช่น A และ B อยู่ปะปนกันอย่างไม่เป็นระบบ ดังนี้

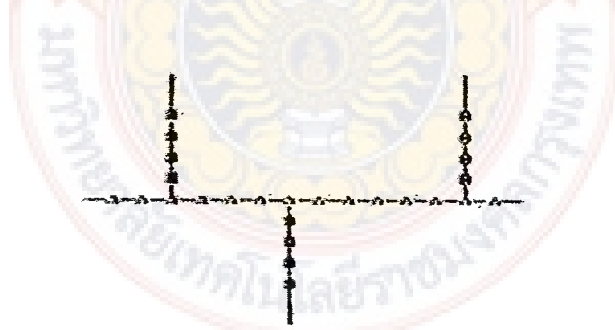


จะเห็นได้ว่าอาจพบ A 1 หน่วย หรือ 2 หน่วยก็ได้ B ก็ เช่นกันอาจพบ 1 หน่วยหรือ 2 หน่วยหรือมากกว่าก็ได้

- พอลิเมอร์ร่วมแบบบล็อก (Block copolymer) พอลิเมอร์ร่วมพวคนี้ประกอบด้วยอนอมอร์ 2 ชนิด แต่ละชนิดจะพบว่าอยู่กันเป็นกลุ่มๆ ในสายโซ่พอลิเมอร์ มีลักษณะดังนี้



- พอลิเมอร์ร่วมแบบต่อ กิ่ง (Graft copolymer) มีลักษณะเป็นสายโซ่ไม่เกลุกที่มีกิ่งแยกจากสายโซ่หลัก แต่หน่วยของไมโนเมอร์ในสายโซ่หลักจะมีชนิดเดียว เช่น A จะเป็น A ตลอด และมีหน่วยของไมโนเมอร์อีกชนิดหนึ่ง เช่น B และเป็นกิ่งออกไป มีลักษณะดังนี้



#### 4. แบ่งตามชนิดของโครงสร้างไมเลกุล ซึ่งแบ่งออกเป็น 3 ชนิด คือ

- (ก) พอลิเมอร์เชิงเส้น (Linear polymer or nonlinear polymer) พอลิเมอร์ชนิดนี้สายโซ่ไมเลกุลมีลักษณะเป็นเส้นยาวๆ ไม่มีกิ่งหรือสาขาแยกออกไป มีลักษณะดังนี้

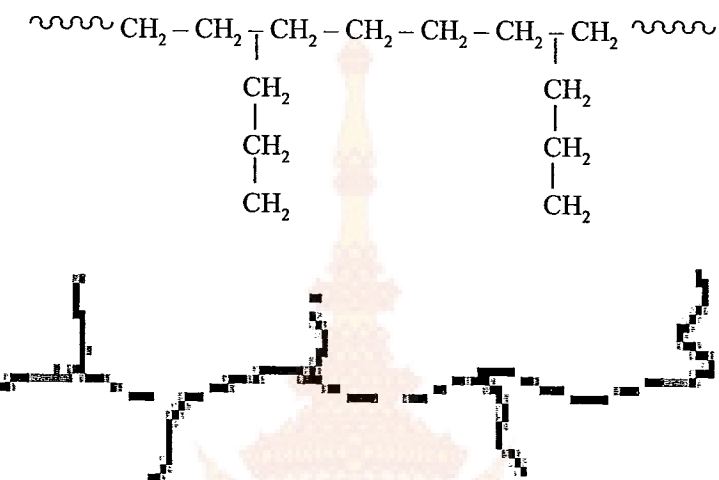


ตัวอย่างเช่น พอลิเอทธิลีนสายโซ่ตรง (Linear polymers)



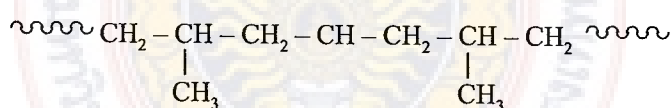
(ข) พอลิเมอร์ใช้กิ่ง (Branched polymer or Non linear polymer) พอลิเมอร์ชนิดนี้สายโซ่ไม่เดลกุจจะมีกิ่งก้านสาขาแยกออกไปจากสายโซ่หลัก มีลักษณะดังแสดงในรูปที่ 2.18

ตัวอย่างเช่น



รูปที่ 2.12 การเกิดพอลิเมอร์แบบใช้กิ่ง

กรณีนี้คือ พอลิเอทิลีนที่มีกิ่งก้านสาขาแยกออกจากโซ่หลัก สังเกตให้ดีว่ากิ่งที่แยกออกจากสายโซ่หลักนั้นต้องเป็นหน่วยที่ซ้ำๆ กัน หรือหน่วยของมอนومอร์ แต่ถ้ากิ่งที่เกาะอยู่เป็นส่วนประกอบของมอนอมอร์กรณีนี้ไม่ถือเป็นกิ่ง เช่น พอลิพรอพิลีน

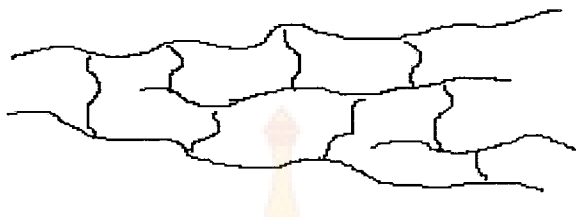


จะเห็นได้ว่าทั้งหมูฟินิล และหมูเมทิลเป็นส่วนประกอบในไมเดลกุล มอนอมอร์ คือ ไมเดลกุลสไตรีนและไมเดลกุลโพร์พิลีน กรณีที่เห็นนี้ถือว่าเป็นพอลิเมอร์สายโซ่ตรง

(ก) พอลิเมอร์ร่างแท (Network polymer) พอลิเมอร์กลุ่มนี้จะเป็นสายโซ่ไมเดลกุลเชื่อมโยงกันเป็นร่างแท หรืออาจเรียกว่าพอลิเมอร์แบบเชื่อมโยง มีลักษณะคล้ายตาข่าย ดังแสดงในรูปที่ 2.13

2.2.2.2 พอลิเมอร์อนินทรีย์ (Inorganic polymer) หมายถึง กลุ่มพอลิเมอร์ที่เกิดจากสารอนินทรีย์ ทั้งที่เกิดในธรรมชาติและที่สังเคราะห์ได้ พอลิเมอร์ที่เกิดในธรรมชาติ เช่น ทราย ดิน

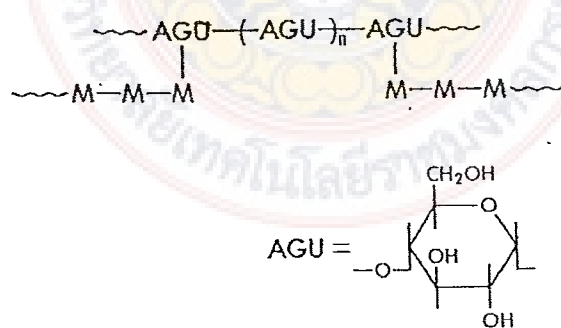
ที่ผ่านกระบวนการแล้วจะเปลี่ยนเป็นแก้ว อิฐ ซีเมนต์ เป็นต้น ส่วนพอลิเมอร์ที่สังเคราะห์ ได้แก่ เส้นใย เช่น เส้นใยcarbon เส้นไชลิกอน คาร์บอน เป็นต้น



รูปที่ 2.13 การเกิดพอลิเมอร์แบบร่างแท

### 2.3 พอลิเมอร์ร่วมจากแป้งกับพอลิเมอร์สังเคราะห์

การสังเคราะห์พอลิเมอร์ร่วมจากแป้งกับพอลิเมอร์สังเคราะห์ ถ้วนมากเป็นการสังเคราะห์พอลิเมอร์ร่วมแบบต่อ กิ่ง โดยต่อ กิ่งพอลิเมอร์สังเคราะห์ลงบนสายโซ่ไม่เลกุลของแป้งดังแสดงในรูปที่ 2.14 ถึงแม้ว่าขั้นตอนในการผลิตจะซับซ้อนกว่าการเตรียมพอลิเมอร์สม แต่ผลิตภัณฑ์ที่ได้จะไม่ประสบปัญหาความเข้ากันไม่ได้ ทั้งนี้เนื่องจากแป้งและพอลิเมอร์สังเคราะห์มีการเชื่อมกันด้วยพันธะ โคลเวลนซ์ซึ่งเป็นพันธะเคมีที่ถาวรสันบติของผลิตภัณฑ์ที่ได้เป็นการรวมตัวที่ดีของแป้งและพอลิเมอร์สังเคราะห์เข้าด้วยกัน จึงมีการใช้ประโยชน์จากต่อ กิ่งพอลิเมอร์ร่วมเหล่านี้มาก many เช่น ขึ้นรูปเป็นฟิล์มที่มีความสามารถในการยึด牢牢ทางชีวภาพ หรือนำไปใช้เป็นสารเสริมสภาพเข้ากันได้ (Compatibiliser) ในการเตรียมพอลิเมอร์ร่วมระหว่างแป้งกับพอลิเมอร์สังเคราะห์ [3]



รูปที่ 2.14 โครงสร้างไม่เลกุลจำลองของพอลิเมอร์ร่วมแบบต่อ กิ่งของแป้ง

ปฏิกริยาการสังเคราะห์ต่อ กิ่งพอลิเมอร์ร่วมที่ใช้กันโดยทั่วไป คือ ปฏิกริยาการต่อ กิ่งพอลิเมอไรซ์ชั้นร่วมแบบอนุญาลเสรี (Free radical graft copolymerization) ซึ่งเริ่มปฏิกริยาโดยการ

ฉายรังสี (Irradiation) หรือโดยการใช้สารเริ่มปฏิกิริยา การฉายรังสีทำให้เกิดอนุนुลเสรีจากการที่สายโซ่โมเลกุลของพอลิเมอร์ขาดออกจากกัน วิธีนี้เป็นวิธีที่ทำได้สะดวกและรวดเร็ว ให้ปริมาณการต่อ กิ่งสูง แต่วิธีนี้มีความยุ่งยากทางเทคนิค เครื่องมือราคาสูง ต้องใช้ประสานการณ์และความชำนาญอย่างมาก รวมทั้งอาจเกิดอันตรายจากรังสีได้ ส่วนการใช้สารเริ่มปฏิกิริยาเป็นวิธีที่ปลอดภัยกว่า และไม่ต้องใช้เครื่องมือที่มีราคาสูง สารเริ่มปฏิกิริยาที่ใช้มีหลายชนิด เช่น benzoyl peroxide (Benzoyl peroxide) ซีริกไอออน (Ceric ion) โพแทสเซียมเพอร์ซัลเฟต (Potassium persulfate) ไฮdroเจนเพอร์ออกไซด์ (Hydrogen peroxide) กับกรดแอสคอร์บิก (Ascorbic acid) และแมงกานิกไฟโรฟอสเฟต (Manganic pyrophosphate) เป็นต้น

#### 2.4 งานวิจัยที่ผ่านมา

เมอร์เซและคณะ [5] ได้นำอะคริโลไนโตรล์และเมทิลอะคริเลตต่อ กิ่งลงบนแป้งในตัวกล่องที่เป็นน้ำ พนว่าปริมาณการต่อ กิ่งขึ้นกับความเข้มข้นของสารเริ่มปฏิกิริยา ความเข้มข้นของมอนอเมอร์ เวลา และอุณหภูมิที่ใช้ในการทำปฏิกิริยา นอกจากนี้ยังพบว่าอะคริโลไนโตรล์มีความว่องไวต่อการเกิดปฏิกิริยามากกว่าเมทิลอะคริเลต และจากการเปรียบเทียบความว่องไวต่อปฏิกิริยาระหว่างเบนโซอิลเพอร์ออกไซด์ (BPO) และ 2,2'-อะโซ-บิส-ไอโซบิวิโตร์ไนโตรล์ (AIBN) ในการพอลิเมอไรเซชันร่วมแบบต่อ กิ่ง ไวนิลอะซิเตตลงบนแป้งมันฝรั่ง พนว่า BPO มีความว่องไวต่อปฏิกิริยามากกว่า

เกาและคณะ [6] ศึกษาการต่อ กิ่งเมทิลเมทาคริเลต (MMA) บนแป้งสาคูในน้ำ โดยใช้ซีริกเอมโนเนียมไนเตรต (CAN) และโพแทสเซียมเพอร์ซัลเฟต (PPS) เป็นสารเริ่มปฏิกิริยาภายใต้บรรดาภรณ์แก๊สในไนโตรเจน พนว่าเมื่อใช้ CAN เป็นสารเริ่มปฏิกิริยา ให้ปริมาณการต่อ กิ่งสูงสุดเท่ากับ 46% เมื่อใช้แป้งสาคู 1 กรัม CAN 2.0 mmol ครด. ในไนโตรเจน 0.4 mmol และ MMA 141 mmol ที่อุณหภูมิ 70°C เป็นเวลา 2 ชั่วโมง ส่วนกรณีที่ใช้ PPS เป็นสารเริ่มปฏิกิริยา ให้ปริมาณการต่อ กิ่งสูงสุดเท่ากับ 90% เมื่อใช้แป้งสาคู 1 กรัม PPS 1.82 mmol และ MMA 47 mmol ที่อุณหภูมิ 50°C เป็นเวลา 1 ชั่วโมง 30 นาที

ผลการศึกษาพบว่าปริมาณการต่อ กิ่ง ประสีทิชภาพการต่อ กิ่ง และอัตราการต่อ กิ่ง ขึ้นกับความเข้มข้นของสารเริ่มปฏิกิริยา มอนอเมอร์ และแป้ง รวมทั้งเวลาและอุณหภูมิที่ใช้ทำปฏิกิริยา

ฟาร์ครูไอราซีและคณะ [7] ศึกษาการต่อ กิ่งเมทิลเมทาคริเลตบนแป้งแคนนา โดยใช้แมงกานิกไฟโรฟอสเฟตเป็นสารเริ่มปฏิกิริยา ผลการศึกษาพบว่าปริมาณการต่อ กิ่ง ประสีทิชภาพการต่อ กิ่ง และอัตราการต่อ กิ่ง ขึ้นกับความเข้มข้นของสารเริ่มปฏิกิริยา มอนอเมอร์ และแป้ง

รวมทั้งเวลาและอุณหภูมิที่ใช้ทำปฏิกิริยา และยืนยันการสังเคราะห์โดยใช้ไฮอาร์สเปกตรัมของแป้งสาคู MMA และการต่อ กิ่งพอลิเมอร์ร่วม

ศรีวัสดาและคณะ [8] ศึกษาวิธีใหม่ในการคำนวณค่าปริมาณการต่อ กิ่งของพอลิเมอร์ร่วมแบบต่อ กิ่งของแป้งและพอลิอะคริโลไนโตรล์ โดยใช้สารริเริ่มปฏิกิริยาหลายชนิด ได้แก่ เบนโซไซคลิปอร์รอกไซด์ ซิริกแซลเฟต โพแทสเซียมเพอร์ซัลเฟต และสารเฟนตัน (Fenton's reagent) พร้อมทั้งคำนวณปริมาณการต่อ กิ่งระหว่างกลูโคสในไฮโดรไลส์ของพอลิเมอร์ร่วม โดยวิธีไฮเพอร์และวิเคราะห์ปริมาณในตระจอน

แพนตาและคณะ [9] ศึกษาการต่อ กิ่งสไตรีนบนแป้งข้าวโพดด้วยด้วยวิธีฉายแสง  $^{60}\text{Co}$  โดยผสมแป้งข้าวโพดและสไตรีนอย่างละ 4 กรัม น้ำ 1 mL และตัวทำละลายอินทรีย์ ได้แก่ เอทิลีนไกลคอล และเอทานอล 1.5 mL พนวาร์อี้ลดแอดดอน (% Add-on) มีค่าสูงสุดเท่ากับ 43% และร้อยละการเปลี่ยน (% Conversion) จากสไตรีนมอนเอมอร์เป็นต่อ กิ่งพอลิสไตรีน (Grafted polystyrene) สูงสุดเท่ากับ 76% เมื่อใช้น้ำเป็นตัวทำละลายเพียงอย่างเดียว

พิมพ์พรรณและคณะ [10] ได้ดัดแปลงแป้งข้าวเหนียวด้วยมาเลอิกแอนไฮไดรด์ โดยใช้ไฮเดอเจนไฮดรอกไซด์เป็นตัวเร่งปฏิกิริยาและน้ำเป็นตัวทำละลาย เมื่อปฏิกิริยาสิ้นสุด ทำผลิตภัณฑ์ให้เป็นกล่องด้วยสารละลายกรดไฮไดรคลอริก ตรวจสอบโครงสร้างทางเคมีของแป้งดัดแปลงด้วยเทคนิคฟูเรียร์สกานฟอร์มอินฟราเรดสเปกโตรสโคปี งานนี้นำแป้งดัดแปลงมาเข้ารูปเป็นแผ่นพลาสติกด้วยวิธีการหล่อ พร้อมทั้งขั้นเวลาที่แห้ง ทดสอบสมบัติความทนแรงดึง การดูดความชื้น และแผ่นพลาสติกที่เตรียมสามารถแตกสลายทางชีวภาพได้ พนว่าปริมาณของกรรมมาเลอิกแอนไฮไดรด์ และเวลาที่ใช้ในการทำปฏิกิริยามีผลต่อสมบัติของแผ่นพลาสติกที่เตรียมได้

พิมพ์พรรณและคณะ [11] ได้ดัดแปลงมันสำปะหลังด้วยมาเลอิกแอนไฮไดรด์ โดยใช้ไฮเดอเจนไฮดรอกไซด์เป็นตัวเร่งปฏิกิริยาและน้ำเป็นตัวทำละลาย เมื่อสิ้นสุดปฏิกิริยา ทำผลิตภัณฑ์ให้เป็นกล่องด้วยการเติมสารละลายกรดไฮไดรคลอริก ขึ้นรูปแป้งดัดแปลงที่เตรียมได้ด้วยวิธีการหล่อเป็นแผ่นพลาสติก ศึกษาลักษณะและสมบัติของแผ่นพลาสติกดังกล่าวโดยใช้เทคนิคการวิเคราะห์หลักวิธี พนว่าปริมาณของมาเลอิกแอนไฮไดรด์มีผลต่อโครงสร้างทางเคมีของแป้ง และลักษณะของแผ่นพลาสติกมีความแตกต่างกัน แผ่นพลาสติกดังกล่าวสามารถแตกสลายทางชีวภาพได้ทั้งหมด ไม่ละลายในตัวทำละลายทั่วไป เช่น คลอรอฟอร์ม หรือสารละลายกรดที่อุณหภูมิห้อง และอุณหภูมิสูง แต่ละลายในสารละลายด่างที่ร้อน นอกจากนี้ยังพบว่าแผ่นพลาสติกซึ่งเตรียมจากแป้งดัดแปลงมีสมบัติแตกต่างจากพลาสติกที่เตรียมจากแป้งที่ไม่ได้ดัดแปลง กล่าวคือ มีอุณหภูมิเปลี่ยนสภาพแก้ว ( $T_g$ ) และจุดหลอมเหลวต่ำกว่า ดูดซึมน้ำได้ก่อว่า และมีความแข็งมากกว่า

ต่อชงและพิมพ์พรม [12] และ หอเชิงวารกุลและคณะ [13] สังเคราะห์พอลิเมอร์ร่วมแบบต่อ กึ่งของแป้งมันสำปะหลังและเมทิลเมทาคริเลต โดยใช้เบนโซอิลเปอร์ออกไซด์เป็นสารเริ่มน้ำมันที่อุณหภูมิ  $80^{\circ}\text{C}$  ที่ภาวะต่างๆ กันภายในได้บรรยายแก่สีในโตรเจน จากการวิเคราะห์คุณลักษณะการต่อ กึ่ง ซึ่งได้แก่ ร้อยละแอดดอน (Add on) การดำเนินไปของปฏิกิริยาในการเกิดพอลิเมทธิลเมทาคริเลต ประสิทธิภาพการต่อ กึ่ง สัดส่วนการต่อ กึ่ง และปริมาณผลิตภัณฑ์ที่ได้ พบว่า ปริมาณของแป้งมันสำปะหลัง เมทิลเมทาคริเลตและเบนโซอิลเปอร์ออกไซด์ มีผลกระทบต่อลักษณะการต่อ กึ่งอย่างเห็นได้ชัด ในขณะที่เวลาที่ใช้ในการทำปฏิกิริยานี้ผลกระทบเล็กน้อย นอกจากนี้ถ้าเพิ่มปริมาณของการสังเคราะห์จากระดับห้องปฏิบัติการ และเปลี่ยนเป็นการสังเคราะห์ภายในได้รับผลกระทบต่อ กึ่ง โดยค่าที่ได้มีความใกล้เคียงกับค่าที่ได้จาก การสังเคราะห์ในระดับห้องปฏิบัติการ ทั้งนี้ได้ขึ้นชันการเกิดพอลิเมอร์ร่วมแบบต่อ กึ่ง โดยใช้เทคนิคฟูเรียร์รานส์ฟอร์มินฟาร์เคนสเปกโตรสโคปี เจลเพอร์เมอชันโคมากทографี และการวิเคราะห์ลักษณะทางสัณฐานวิทยาด้วยกล้องจุลทรรศน์อิเล็กตรอนแบบส่องกระด รวมทั้งวิเคราะห์สมบัติทางความร้อนด้วยเทอร์โมกราวิเมทริกอะโน ไลเซอร์

เอื้อ โสภณและคณะ [14] สังเคราะห์แป้งมันสำปะหลังดัดแยกจากปฏิกิริยาระหว่างแป้งมันสำปะหลังกับมาเลอิกแอนไฮไดรค์ โดยใช้โซเดียมไฮดรอกไซด์เป็นตัวเร่งปฏิกิริยา และน้ำเป็นตัวทำละลาย ทำผลิตภัณฑ์ให้เป็นกล้างด้วยการเติมสารละลายกรดไฮโดรคลอริก ผสมแป้งที่ผ่านการดัดแยกสารเสริมสภาพพลาสติก (Plasticizer) ปริมาณต่างๆ สารเสริมสภาพพลาสติกที่ใช้ 4 ชนิด คือ กัลเซอรอล ซอร์บิทอล กรดสเตียริก และน้ำมันปาล์ม ขึ้นรูปของผสมที่เตรียมได้ด้วยวิธีการหล่อเป็นฟิล์มแผ่นพลาสติก วิเคราะห์และทดสอบสมบัติต่างๆ พบว่า ชนิดและปริมาณของกับสารเสริมสภาพพลาสติก มีผลต่อสมบัติด้านแรงดึงและความสามารถในการดูดความชื้นเป็นอย่างมาก ฟิล์มเหล่านี้มีความทนทานต่อไขมันและน้ำมันดีมาก แต่ไม่ทนทานต่อน้ำ กรด และด่าง นอกจากนี้ยังมีความทนทานต่อบรรยากาศที่ต่ำกว่า และสามารถแตกสลายทางชีวภาพได้สูงกว่า ฟิล์มแป้งดัดแยกที่ไม่ผสมสารเสริมสภาพพลาสติก

## บทที่ 3

### วิธีการวิจัย

บทนี้จะกล่าวถึงวัสดุ อุปกรณ์ และวิธีการสังเคราะห์พอดิ(เมทิลเมทาคริเลต) ที่ต้องก่อขึ้น แข็งข้าวโพด ซึ่งเป็นผลิตภัณฑ์ร่วมที่แตกต่างจากทางชีวภาพได้ โดยใช้โพแทสเซียมบอร์ชัลเฟตเป็นสารริเริ่มปฏิกิริยารีดออกซ์ และวิเคราะห์ผลิตภัณฑ์ที่สังเคราะห์ได้ เพื่อศึกษาภาวะที่เหมาะสมในการสังเคราะห์

#### 3.1 วัสดุและอุปกรณ์

##### 3.1.1 อุปกรณ์ในการทดลอง ประกอบด้วย

- 3.1.1.1 ขวดรูป錐形 (Conical flask) ขนาด 250 และ 500 mL
- 3.1.1.2 รีฟลักซ์คอนเดนเซอร์ (Reflux condenser)
- 3.1.1.3 กรวยกรอง (Glass funnel)
- 3.1.1.4 ชุดสกัดแยก (Soxhlet)
- 3.1.1.5 บีกเกอร์ (Beaker) ขนาด 50, 100, 250, 400 และ 500 mL
- 3.1.1.6 หลอดหยด (Dropper)
- 3.1.1.7 ช้อนตักสาร (Spoon)
- 3.1.1.8 ปิเพตต์ (Pipette) ขนาด 10 และ 20 mL
- 3.1.1.9 เทอร์โมมิเตอร์ (Thermometer) 0- 100°C
- 3.1.1.10 จุกยาง (Rubber plug)
- 3.1.1.11 ชุดขาตั้ง (Stand and clamp)
- 3.1.1.12 ขวดสามคอ (Three-neck round bottom flask) ขนาด 1 L
- 3.1.1.13 สายยางซิลิโคน (Silicone tube)
- 3.1.1.14 ขวดน้ำกลั่น (Injection bottle)
- 3.1.1.15 ถ้วยอบสาร (Crucible)
- 3.1.1.16 เดซิคเกเตอร์ (Desiccator)
- 3.1.1.17 คอลัมน์สกัดตัวยับยั้งปฏิกิริยา (Column for extract inhibitor)
- 3.1.1.18 ทิมเบอร์ (Timber)

3.1.1.19 ที่กรองน้ำในตู้ปลา (Aquarium liquid filter, AP 1600)

3.1.2 วัสดุและสารเคมี ประกอบด้วย

3.1.2.1 กรดไฮโดรคลอริก (HCl, AR grade, 36%) Humburg Chemical Co. Ltd.

(Germany)

3.1.2.2 แก๊สไนโตรเจน ( $N_2$ , HP grade, 99.95%) บริษัทไทยอินดัสเตรียลแก๊ส จำกัด

3.1.2.3 ซิลิกาเจล (Silica gel) Merck Co., Ltd. (Germany)

3.1.2.4 น้ำกัดน้ำ (Distilled water)

3.1.2.5 แป้งข้าวโพด จากบริษัทยูนิลีเวอร์ เบสท์ฟู้ดส์ (ประเทศไทย) จำกัด

3.1.2.6 โพแทสเซียมเปอร์ซัลเฟต ( $KHSO_4$ , AR grade) Mallinckrodt Co. Ltd.

(Mexico)

3.1.2.7 นอนอเมอร์เมทิลเมทาคริเลต ( $CH_2C(CH_3)COOCH_3$ , MMA, 99.0%) Fluka

3.1.2.8 เมทานอล ( $CH_3COOH$ ) Merck Co., Ltd. (Germany)

3.1.2.9 แอซีตัน ( $CH_3COCH_3$ ) AR grade, 36% Humburg Chemical Co. Ltd.

(Germany)

3.1.2.10 ไบแก้ว (Fiber glass)

3.1.3 เครื่องมือทดลองและเครื่องมือวิเคราะห์

3.1.3.1 เครื่องชั่งละเอียด ทศนิยม 4 ตำแหน่ง

3.1.3.2 เครื่องแยกสารตัวแปรเหวี่ยงหนีศูนย์กลาง

3.1.3.3 อ่างน้ำควบคุมอุณหภูมิ

3.1.3.4 แผ่นให้ความร้อนพร้อมที่กวนตัวยแม่เหล็ก

3.1.3.5 ตู้อบลมร้อน (Hot air oven) Model: YCO-010 series

3.1.3.6 เครื่องฟูเรียร์ทرانส์ฟอร์มอินฟราเรดสเปกโตรสโคป (Fourier transform infrared (FT-IR) Spectroscope)

3.1.3.7 เครื่องวัดความหนืด (Ubbelohde viscometer)

## 3.2 วิธีการทดลอง

### 3.2.1 การสักด็ตัวบัญชีออกจากเมทิลเมทาคริเลตมอนอเมอร์

3.2.1.1 เตรียมคอลัมน์สำหรับสักด็ตั้งนี้

1. ใส่ไบแก้วในคอลัมน์เป็นชั้นที่ 1 สูงประมาณ 1/5 ของคอลัมน์

2. ใส่ซิลิกาเจลในคอลัมน์เป็นชั้นที่ 2 สูงประมาณ 2/5 ของคอลัมน์
3. ใส่ไยแก้วอีกครึ่งเป็นชั้นที่ 3 สูงประมาณ 1/5 ของคอลัมน์

3.2.1.2 รินมอนอเมอร์เมทิลเมทาคริเลตลงในคอลัมน์ที่เตรียมไว้ในข้อ 3.2.1.1

3.2.1.3 เก็บมอนอเมอร์ที่ผ่านการสกัดแล้วในตู้เย็นซึ่งควบคุมอุณหภูมิที่ประมาณ  $0^{\circ}\text{C}$

3.2.2 การเตรียมพอลิ(เมทิลเมทาคริเลต) ที่ต่อ กิ่งบนเป็นข้าวโพด

ตารางที่ 3.1 แสดงปริมาณของเมทิลเมทาคริเลต ปริมาณของโพแทสเซียมเบอร์ชัลเฟต และเวลาที่ใช้ในการทำปฏิกริยา นำหนักจริงของสารแต่ละชนิดแสดงในภาคผนวก ก วิธีการเตรียมพอลิ(เมทิลเมทาคริเลต) ที่ต่อ กิ่งบนเป็นข้าวโพด ดังนี้

3.2.2.1 ชั้นนำหนักเป็นประมาณ 5.5 กรัม ใส่ลงในขวดสามකอ แล้วเข้าที่ในชั้นที่ อุณหภูมิ  $70^{\circ}\text{C}$  บนแพ่นให้ความร้อนพร้อมที่กวนด้วยแม่เหล็กและผ่านแก๊สไนโตรเจนพร้อมกับ กวนแห่งแม่เหล็กตลอดเวลา เป็นเวลา 30 นาที จากนั้นลดอุณหภูมิลงจนถึง  $50^{\circ}\text{C}$  และควบคุม อุณหภูมิให้คงที่ที่  $50^{\circ}\text{C}$

ตารางที่ 3.1 ปริมาณของเมทิลเมทาคริเลต ปริมาณของโพแทสเซียมเบอร์ชัลเฟต และเวลาที่ใช้ใน การทำปฏิกริยา

การทดลองที่	เวลา (min)	ปริมาณเมทิลเมทาคริเลต (mmol)	ปริมาณโพแทสเซียมเบอร์ชัลเฟต (mmol)
1	30	20	1
2	60	20	1
3	90	20	1
4	120	20	1
5	T	30	1
6	T	40	1
7	T	50	1
8	T	M	2
9	T	M	3
10	T	M	4

หมายเหตุ T คือ เวลาที่เหมาะสมที่ได้จากการทดลองที่ 1-4

M คือ ปริมาณของเมทิลเมทาคริเลตที่เหมาะสมที่ได้จากการทดลองที่ 5-7

3.2..2.2 เติมโพแทสเซียมเปอร์ซัลเฟตประมาณ 1.35 กรัม (หรือ 1 mmol) ลงในขวดสารเคมีในข้อ (1) แล้วกวนต่ออีก 15 นาที

3.2.2.3 เติมน้ำมันเมอร์เมทิลเมทาคริเลตประมาณ 10.6 mL (หรือ 20 mmol) แล้วกวนตลอดเวลา อีก 30 นาที

3.2.2.4 เติมเมทานอลจำนวน 250 mL ลงในขวดสารเคมีในข้อ (1) เพื่อตักตะกอน

3.2.2.5 เหวี่ยงแยกและกรองตะกอนที่ได้จากข้อ (4) แล้วอบที่อุณหภูมิ 60°C จนน้ำหนักคงที่ ซึ่งจะบันทึกน้ำหนักสารที่อนแท้แล้ว สารที่ได้เป็นพอลิเมอร์ผสมที่ประกอบด้วยพอลิเมอร์ร่วมและพอลิเมอร์เอกพันธุ์

3.2.3 การสักดิ์พอลิเมอร์เอกพันธุ์ออกจากพอลิเมอร์ร่วมแบบต่อ กิ่งบนเป็นข้าวโพด

3.2.3.1 เตรียมอุปกรณ์ชุดสักดิ์ (soxhlet)

3.2.3.2 เติมแอ็ซิโตนในขวดก้นกลม แล้วให้ความร้อนจนถึง 70°C

3.2.3.3 ใส่พอลิเมอร์ผสมที่ได้จากข้อ 3.2.3 ลงในทิมเบอร์ แล้วสักดิ์เป็นเวลา 8 ชั่วโมง

3.2.3.4 ทำการสักดิ์ซ้ำจากข้อ (2) – (3) อีกครั้ง

3.2.3.5 อบพอลิเมอร์ร่วมที่สักดิ์ได้ที่ 50°C จนน้ำหนักคงที่ ซึ่งจะบันทึกน้ำหนักของพอลิเมอร์ร่วมที่สังเคราะห์ได้

3.2.4 การวัดความหนืดของพอลิเมอร์ร่วมแบบต่อ กิ่ง โดยมีขั้นตอนดังนี้

3.2.4.1 ให้พอลิเมอร์ร่วมแบบต่อ กิ่งบนเป็นข้าวโพดที่สังเคราะห์ได้ ทำปฏิกิริยาไฮโดรไลซิตด้วยกรด (Acid hydrolysis) กับสารละลายกรดไฮโดรคลอริก 0.5 M

ปฏิกิริยาไฮโดรไลซิตด้วยกรด เป็นกระบวนการทำลายโครงสร้างขององค์ประกอบของเป็นข้าวโพดในพอลิเมอร์ร่วม โดยนำพอลิเมอร์ร่วมแบบต่อ กิ่งบนเป็นข้าวโพดที่สักดิ์ได้จากข้อ 3.2.3 จำนวน 1.0 กรัม ให้ความร้อนที่อุณหภูมิ 70°C กับ 0.5 M กรดไฮโดรคลอริก 100 mL เป็นเวลา 6 ชั่วโมง จากนั้นกรองและล้างด้วยน้ำกลั่น แล้วอบการที่ได้ที่อุณหภูมิ 60°C จนน้ำหนักคงที่

3.2.4.2 วัดความหนืด และคำนวนน้ำหนักไมเลกุลเฉลี่ยของพอลิเมอร์ร่วมที่สังเคราะห์ได้

เตรียมสารละลายของพอลิเมอร์ร่วมที่สังเคราะห์ได้ โดยละลายพอลิเมอร์ร่วมที่สังเคราะห์ได้จากข้อ 3.2.3 ด้วยแอ็ซิโตนที่อุณหภูมิ 30°C แล้ววัดความหนืดด้วยเครื่องวัดความหนืด (Ubbelohde viscometer) วัดค่าความหนืดของสารละลายพอลิเมอร์ร่วมที่สังเคราะห์ได้และคำนวน

โดยใช้สมการของหักกิน (Huggin's equation) และคำนวณค่านำหนักโมเลกุลเฉลี่ยของพอลิเมอร์ร่วมที่สังเคราะห์โดยใช้สมการของมาร์ก ไฮวินค์ (Mark Houwink's equation) [7]

สมการของหักกิน:

$$\frac{\eta_{sp}}{C} = [\eta] + K'[\eta]^2 C \quad (3.1)$$

แตะ  $\eta_{sp} = \eta_{red} C$  (3.2)

เมื่อ  $\eta_{sp}$  คือ ค่าความหนืดเฉพาะของพอลิเมอร์

$\eta_{red}$  คือ ความหนืดที่คล่องของพอลิเมอร์

C คือ ความเข้มข้นของพอลิเมอร์

K' คือ ค่าคงที่ของหักกิน

$[\eta]$  คือ ความหนืดเฉพาะของพอลิเมอร์ต่อความเข้มข้น  
วิธีหาค่าความหนืดเป็นดังนี้

1. เตรียมสารละลายของพอลิเมอร์ร่วมที่สังเคราะห์ได้ในแอซีโตน ที่มีค่าความเข้มข้นที่แน่นอน 5 ค่า ซึ่งอยู่ระหว่าง 0.0005 ถึง 0.005 g polymer/mL solution

2. จับเวลาการให้浴ของแอซีโตน ด้วยเครื่องวัดความหนืด 3 ครั้ง เพื่อหาค่าเฉลี่ยให้ค่าเฉลี่ยที่ได้เท่ากับ  $T_0$

3. จับเวลาการให้浴ของสารละลายในข้อ (1) ด้วยเครื่องวัดความหนืด 3 ครั้ง เพื่อหาค่าเฉลี่ยให้ค่าเฉลี่ยที่ได้เท่ากับ  $T_1$

4. คำนวณความหนืดต้มพัทธ์,  $\eta_r$  ด้วยสมการที่ (3.3)

$$\eta_r = \frac{T_1}{T_0} \quad (3.3)$$

แล้วคำนวณความหนืดเฉพาะ,  $\eta_{sp}$  ด้วยสมการที่ (3.4)

$$\eta_{sp} = \eta_r - 1 \quad (3.4)$$

เขียนกราฟจากค่า  $\eta_{sp}$  ที่ได้จากสมการที่ (3.4) เพื่อคำนวณค่าความหนืดเฉพาะของพอลิเมอร์ต่อหน่วยความเข้มข้น โดยให้แทนค่าของ  $\frac{\eta_{sp}}{C}$  ลงในแกน y และแทนค่าความเข้มข้นของสารละลายของพอลิเมอร์ร่วมที่สังเคราะห์ได้ในแอซีโตน (C) ลงในแกน x จะได้กราฟเส้นตรงซึ่งจะได้ค่าจุดตัดบนแกน y (คือ  $C = 0$ ) เท่ากับ  $[\eta]$  และความชันของกราฟเท่ากับ  $K'[\eta]^2$

แทนค่า  $[\eta]$  ที่ได้ลงในสมการของมาร์ก ไฮวินค์ (สมการที่ 3.5) เพื่อคำนวณนำหนักโมเลกุลเฉลี่ยของพอลิเมอร์ร่วมที่สังเคราะห์ได้ ซึ่งพอลิเมอร์ร่วมที่สังเคราะห์ได้คือ PMMA

$$[\eta] = KM_v^a \quad (3.5)$$

เมื่อ K คือ ค่าคงที่ มีค่าเท่ากับ  $7.7 \times 10^{-3} \text{ g.mL}^{-1}$

a คือ ค่าคงที่ มีค่าเท่ากับ 0.70 สำหรับสารละลายของ PMMA ในแอซีตัน

$M_v$  คือ ค่าน้ำหนักโมเลกุลเฉลี่ย

### 3.2.5 การวิเคราะห์หมู่ทำน้ำที่ของพอลิเมอร์ร่วมที่สังเคราะห์ได้

การวิเคราะห์หมู่ทำน้ำที่ของพอลิเมอร์ร่วมที่เตรียมได้ ด้วยเครื่องฟูเรียร์ทرانสฟอร์ม อินฟราเรดสเปกโตรสโคป (Fourier transform infrared (FT-IR) Spectroscope) ซึ่งได้รับความ อนุเคราะห์ให้ใช้เครื่องจากภาควิชาวิศวกรรมเคมี คณะวิศวกรรมศาสตร์ จุฬาลงกรณ์มหาวิทยาลัย

## บทที่ 4

### ผลการทดลองและอภิปรายผล

บทนี้จะกล่าวถึงผลการทดลองการสังเคราะห์พอลิ(เมทิลเมทาคริเลต) ที่ต่อ กิ่งบันแป้งข้าวโพด ซึ่งเป็นพอลิเมอร์ที่แตกสลายทางชีวภาพได้ โดยใช้โพแทสเซียมเปอร์ซัลเฟตเป็นสารรีเริ่มปฏิกิริยารีดอกซ์ในบรรยายกาศแก๊สไนโตรเจน เพื่อศึกษาภาวะที่เหมาะสมในการสังเคราะห์โดยมีตัวแปรในการทดลองคือ ปริมาณของเมทิลเมทาคริเลตและโพแทสเซียมเปอร์ซัลเฟต และเวลาที่ใช้ในการทำปฏิกิริยา เพื่อยืนยันสารที่สังเคราะห์ได้โดยการตรวจสอบหมู่ทำหน้าที่ของเมทิลเมทาคริเลตที่ต่อ กิ่งบันแป้งข้าวโพดด้วยเครื่องฟูเรียร์ทรานส์ฟอร์มอินฟราเรดสเปกโตรสโคป พร้อมทั้งหาค่าความหนืดโดยใช้เครื่องวัดความหนืด และคำนวณค่าความหนืดสัมพัทธ์และน้ำหนักไม้เลกุลเฉลี่ยจากสมการของชักกินและมาร์ก ไฮวินค์ ตามลำดับ

#### 4.1 พอลิ(เมทิลเมทาคริเลต) ที่ต่อ กิ่งบันแป้งข้าวโพดที่สังเคราะห์ได้

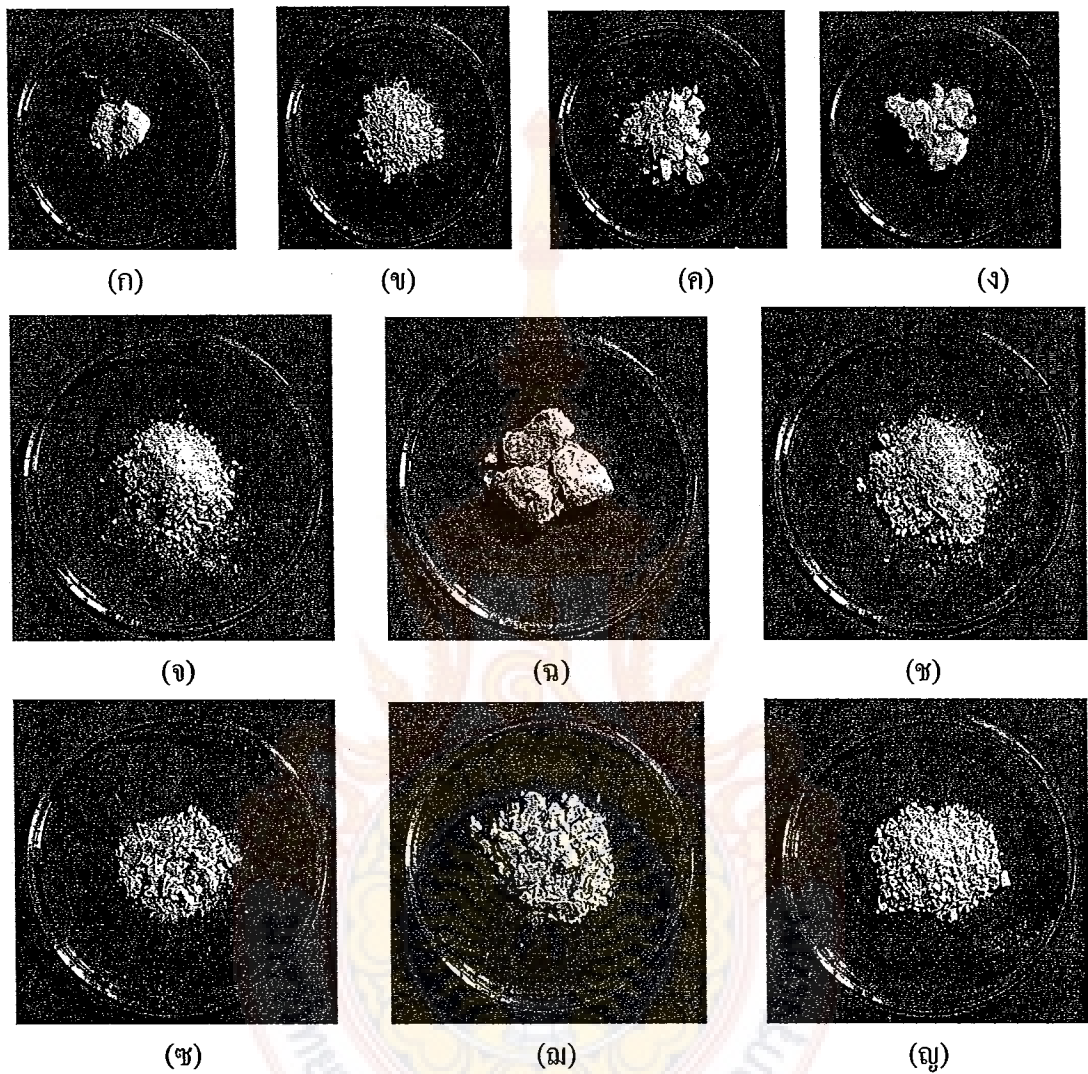
รูปที่ 4.1 (ก) ถึง (ญ) แสดงผลิตภัณฑ์ที่สังเคราะห์ได้ที่ภาวะต่างๆ จาก 10 การทดลอง พนวจผลิตภัณฑ์ที่ได้เป็นสารสีขาวทึบแสง โดยในบางภาวะการทดลองจะมีลักษณะเป็นผง แต่บางภาวะการทดลองจะเกากันเป็นก้อน

รูปที่ 4.1 (ก) ถึง 4.1 (ง) เป็นผลิตภัณฑ์ที่สังเคราะห์ได้มีอีศึกษาผลของเวลาในการทำปฏิกิริยา ที่มีต่อสมบัติของผลิตภัณฑ์ โดยให้ปริมาณของ MMA เท่ากับ 20 mmol และปริมาณของ PPS เท่ากับ 1 mmol จะเห็นว่าผลิตภัณฑ์ที่สังเคราะห์ในเวลา 30 นาที ในรูปที่ 4.1 (ก) และ 120 นาที ในรูปที่ 4.1 (ง) จะเกากันเป็นก้อน ในขณะที่ผลิตภัณฑ์ซึ่งสังเคราะห์ในเวลา 60 ในรูปที่ 4.1 (ข) และ 90 นาที ในรูปที่ 4.1 (ค) มีลักษณะเป็นผง

รูปที่ 4.1 (จ) ถึง 4.1 (ช) แสดงผลิตภัณฑ์ที่สังเคราะห์ได้มีอีศึกษาผลของปริมาณของ MMA ที่มีต่อสมบัติของผลิตภัณฑ์ โดยให้ปริมาณของ PPS เท่ากับ 1 mmol และเวลาในการทำปฏิกิริยา เท่ากับ 90 นาที่ จะเห็นว่าผลิตภัณฑ์ที่สังเคราะห์เมื่อใช้ MMA 40 mmol ในรูปที่ 4.1 (จ) จะเกากันเป็นก้อน ในขณะที่ผลิตภัณฑ์ซึ่งสังเคราะห์เมื่อใช้ MMA 30 mmol ในรูปที่ 4.1 (จ) และ 50 mmol ในรูปที่ 4.1 (ช) มีลักษณะเป็นผง

รูปที่ 4.1 (ช) ถึง 4.1 (ญ) แสดงผลิตภัณฑ์ที่สังเคราะห์ได้มีอีศึกษาผลของปริมาณของ PPS ที่มีต่อสมบัติของผลิตภัณฑ์ โดยให้ปริมาณของ MMA เท่ากับ 50 mmol และเวลาในการทำปฏิกิริยา เท่ากับ 90 นาที จะเห็นว่าผลิตภัณฑ์ที่สังเคราะห์เมื่อใช้ PPS 2 mmol ในรูปที่ 4.1 (ช) และ

3 mmol ในรูปที่ 4.1 (ณ) จะเกะกันเป็นก้อนเล็กๆ ในขณะที่ผลิตภัณฑ์ซึ่งสังเคราะห์เมื่อใช้ PPS 4 mmol ในรูปที่ 4.1 (ญ) มีลักษณะเป็นผง



**รูปที่ 4.1** ลักษณะของผลิตภัณฑ์ที่สังเคราะห์ที่ภาวะต่างๆ ใช้ PPS 1 mmol MMA 20 mmol (ก) 30 นาที (ข) 60 นาที (ค) 90 นาที และ (ง) 120 นาที ใช้ PPS 1 mmol ในเวลา 90 นาที (จ) MMA 30 mmol (ฉ) 40 mmol และ (ช) 50 mmol ใช้ MMA 50 mmol ในเวลา 90 นาที (ฉ) PPS 2 mmol (ณ) 3 mmol และ (ญ) 4 mmol

#### 4.2 ผลของเวลาในการเกิดปฏิกิริยาต่อสมบัติของพอลิ(เมทธิลเมทาคริเลต) ที่ต่อ กิ่ง บน แป้งข้าวโพด

การเลือกภาวะที่เหมาะสมในการสังเคราะห์พอลิเมอร์ร่วมแบบต่อ กิ่ง จะพิจารณาจาก ปริมาณการต่อ กิ่ง (Percentage grafting, %G) ประสิทธิภาพการต่อ กิ่ง (Grafting efficiency, %GE) ปริมาณพอลิเมอร์เอกพันธุ์ (Percentage homopolymer, %H) ค่าการเปลี่ยนทั้งหมด (Percentage total conversion, %TC) ค่าการเลือกเกิด (Percentage selectivity, % Selectivity) และผลได้ (Percentage yield, %Yield) ซึ่งสมการในการคำนวณค่าต่างๆ ดังนี้ คือ

$$\text{ปริมาณการต่อ กิ่ง} (\%G) = \frac{W_2 - W_1}{W_1} \times 100 \quad (4.1)$$

$$\text{ประสิทธิภาพการต่อ กิ่ง} (\%GE) = \frac{W_2 - W_1}{W_3} \times 100 \quad (4.2)$$

$$\text{ปริมาณพอลิเมอร์เอกพันธุ์} (\%H) = \frac{W_4 - W_1}{W_3} \times 100 \quad (4.3)$$

$$\text{ค่าการเปลี่ยนทั้งหมด} (\%TC) = \frac{W_4 - W_1}{W_3} \times 100 \quad (4.4)$$

$$\text{ค่าการเลือกเกิด} (\%Selectivity) = \frac{W_2 - W_1}{W_4 - W_1} \times 100 \quad (4.5)$$

$$\text{ผลได้} (\%Yield) = \frac{W_2}{W_1 + W_3 + W_{PPS}} \times 100 \quad (4.6)$$

เมื่อ  $W_1$  คือ น้ำหนักแป้งเริ่มต้นที่ไม่รวมความชื้น (g) ความชื้นของแป้งข้าวโพดเท่ากับ 8.76%

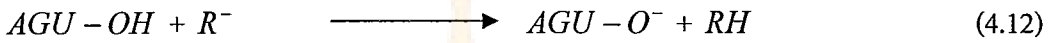
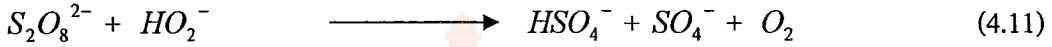
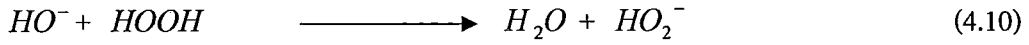
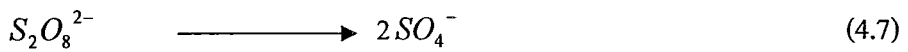
$W_2$  คือ น้ำหนักของเมทธิลเมทาคริเลตที่ต่อ กิ่ง ลงบนแป้ง (g)

$W_3$  คือ น้ำหนักของเมทธิลเมทาคริเลตเริ่มต้น (g)

$W_4$  คือ น้ำหนักของเมทธิลเมทาคริเลตที่ต่อ กิ่ง ลงบนแป้งและน้ำหนักของพอลิเมอร์เอกพันธุ์ (g)

$W_{PPS}$  คือ น้ำหนักของโพแทสเซียมเปอร์ซัลเฟต (g)

กลไกในการเกิดปฏิกิริยาการต่อ กิ่ง บน แป้งข้าวโพด โดยใช้โพแทสเซียมเปอร์ซัลเฟตเป็นสารริเริ่มปฏิกิริยาเริคอกซ์ เมื่อให้ความร้อนแก่สารละลาย จะทำให้ส่วนที่เป็นเปอร์ซัลเฟตแตกตัวเป็นอนุมูลเสรี และเกิดเป็นกลุ่มอนุมูลเสรีมากน้อยบนสายโซ่ของแป้งข้าวโพด โดยมีขั้นตอนการเกิดปฏิกิริยาการสังเคราะห์พอลิเมอร์ร่วมของพอลิ(เมทธิลเมทาคริเลต) บนสายโซ่ของแป้งข้าวโพดดังนี้

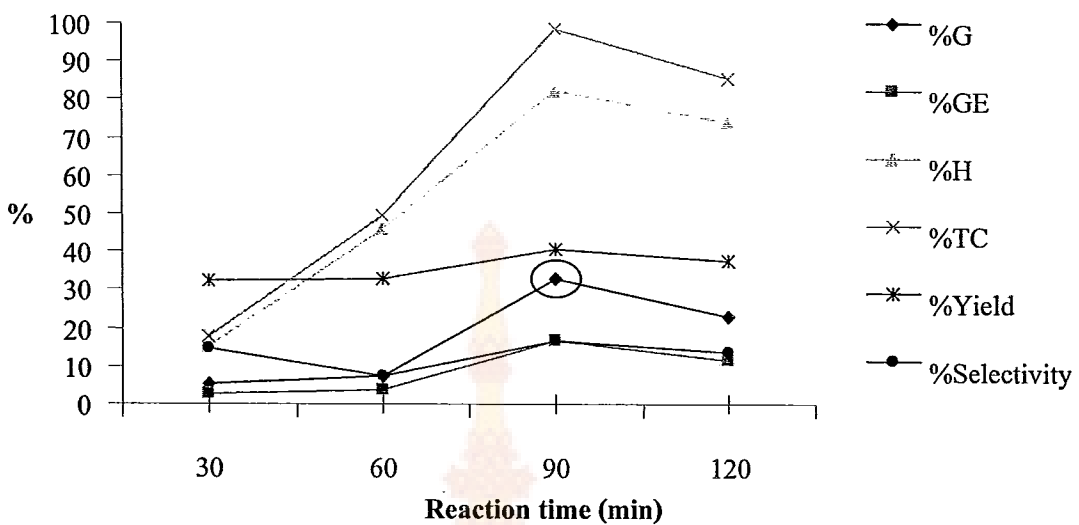


ชิ้ง AGU-OH คือ หน่วยของกลูโคสที่ได้จากเปลี่ยนข้าวโพด

R- คือ กลุ่มของอนุนูลสเตรี

รูปที่ 4.2 แสดงผลของเวลาที่ใช้ในการเกิดปฏิกิริยาที่มีต่อสมบัติในการต่อ กิ่ง คือ ปริมาณ การต่อ กิ่ง ประสิทธิภาพการต่อ กิ่ง ปริมาณพอลิเมอร์เอกพันธุ์ ค่าการเปลี่ยนทั้งหมด ค่าการเลือกเกิด และผลได้ พนว่าเมื่อเวลาที่ใช้ในการเกิดปฏิกิริยาเพิ่มขึ้น ปริมาณการต่อ กิ่งเพิ่มขึ้นจาก 30 นาที จนถึง เวลา 90 นาที แต่เมื่อเพิ่มเวลาเป็น 120 นาที ปริมาณการต่อ กิ่งลดลง เนื่องจากว่าเมื่อเวลาเพิ่มขึ้นใน ช่วงแรก ปริมาณนำ้าที่อยู่ในปฏิกิริยาจะระเหยมากขึ้น และทำให้จำนวนของเมทิลเมทาคริเลตถูกต่อ กิ่ง บนเปลี่ยนมากขึ้น จึงทำให้สารละลายมีความหนืดสูงขึ้น ชิ้งส่งผลให้โนเลกูลของเมทิลเมทาคริเลต เคลื่อนที่ได้ช้าลง และสายโซ่ของเปลี่ยนที่อยู่ติดกันเกิดการจับตัวกันเองในบริเวณที่เป็นอนุนูลสเตรี จึงทำ ให้ปริมาณการต่อ กิ่งลดลง นอกจักนี้ยังพบว่าค่าของประสิทธิภาพการต่อ กิ่ง ปริมาณพอลิเมอร์เอก พันธุ์ ค่าการเปลี่ยนทั้งหมด ค่าการเลือกเกิด และผลได้ให้แนวโน้มในการเปลี่ยนแปลงค่าดังกล่าวไป ในทิศทางเดียวกันกับค่าของปริมาณการต่อ กิ่ง ชิ้งเกิดจากเหตุผลดังกล่าวข้างต้น

จากผลการทดลอง พนว่าเวลาที่เหมาะสมในการทำปฏิกิริยาเพื่อให้ได้ปริมาณการต่อ กิ่ง สูงสุด เท่ากับ 90 นาที ดังนั้นในการศึกษาผลของปริมาณของเมทิลเมทาคริเลตและผลของปริมาณของ โพแทสเซียมเพอร์ซัลเฟตที่มีต่อสมบัติต่างๆ ได้แก่ ปริมาณการต่อ กิ่ง ประสิทธิภาพการต่อ กิ่ง ปริมาณ พอลิเมอร์เอกพันธุ์ ค่าการเปลี่ยนทั้งหมด ค่าการเลือกเกิด และผลได้ จึงเลือกใช้เวลาในการทำปฏิกิริยา เท่ากับ 90 นาทีเป็นเวลาที่เหมาะสมในการสังเคราะห์พอลิเมอร์ร่วมดังกล่าว

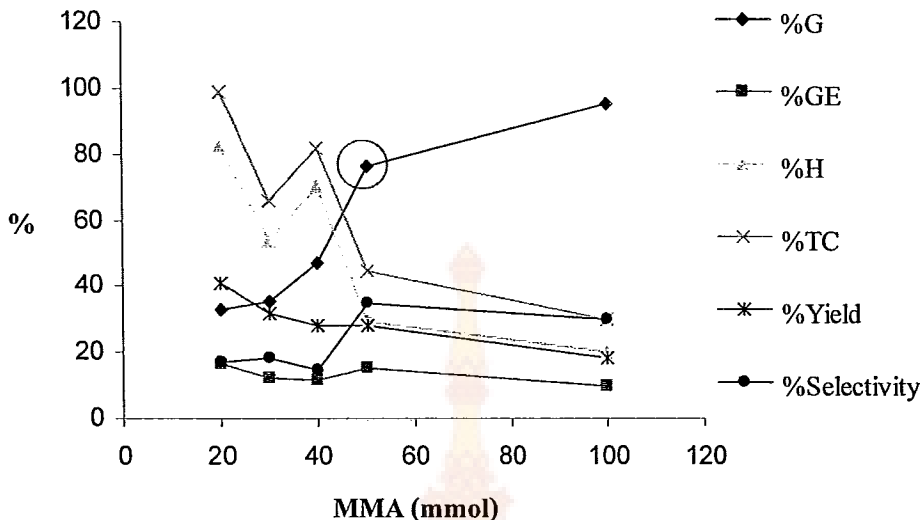


รูปที่ 4.2 ผลของเวลาในการเกิดปฏิกิริยาที่มีต่อสมบัติของพอลิ(เมทธิลเมทาคริเลต) ที่ต่อ กิ่งบันแป้งข้าวโพด เมื่อใช้ MMA 20 mmol และ PPS 1 mmol

#### 4.3 ผลของปริมาณของเมทธิลเมทาคริเลตที่มีต่อสมบัติของพอลิ(เมทธิลเมทาคริเลต) ที่ต่อ กิ่งบันแป้งข้าวโพด

ในการศึกษาผลของปริมาณของเมทธิลเมทาคริเลต ที่มีผลต่อปริมาณการต่อ กิ่ง โดยให้ปริมาณของเมทธิลเมทาคริเลตเท่ากับ 20, 30, 40 และ 50 mmol เวลาในการทำปฏิกิริยา 90 นาที และปริมาณของโพแทสเซียมเพอร์ซัลเฟตเท่ากับ 1 mmol จากรูปที่ 4.3 พนว่าเมื่อปริมาณของเมทธิลเมทาคริเลตเพิ่มขึ้น ทำให้ปริมาณการต่อ กิ่งเพิ่มขึ้น ซึ่งเกิดเนื่องจากแป้งมีปริมาณคงที่ และมีอนุญาตเสรีเกิดขึ้นในสายโซ่ของแป้ง ดังนั้นมีความเข้มข้นของเมทธิลเมทาคริเลตเพิ่มขึ้น โอกาสที่เมทธิลเมทาคริเลตที่ต่อ กิ่งแป้งจึงมากขึ้น และเมทธิลเมทาคริเลตจับกันเองน้อยลง ทำให้ปริมาณพอลิเมอร์ออกพันธุ์ลดลงอย่างเห็นได้ชัดเจน เมื่อปริมาณการต่อ กิ่งเพิ่มขึ้น ค่าการเปลี่ยนห้องหมุดลดลงในทิศทางเข่นเดียวทั้งการเปลี่ยนแปลงของปริมาณพอลิเมอร์ออกพันธุ์

ผลการทดลองข้างต้นพบว่า ปริมาณของเมทธิลเมทาคริเลตที่เหมาะสมที่จะได้ปริมาณการต่อ กิ่งสูงสุดเท่ากับ 50 mmol ดังนั้นในการศึกษาผลของปริมาณของโพแทสเซียมเพอร์ซัลเฟตที่มีต่อ สมบัติต่างๆ จึงเลือกใช้ปริมาณของเมทธิลเมทาคริเลตที่เป็นปริมาณของเมทธิลเมทาคริเลตที่เหมาะสมใน การสังเคราะห์พอลิเมอร์ร่วมดังกล่าว

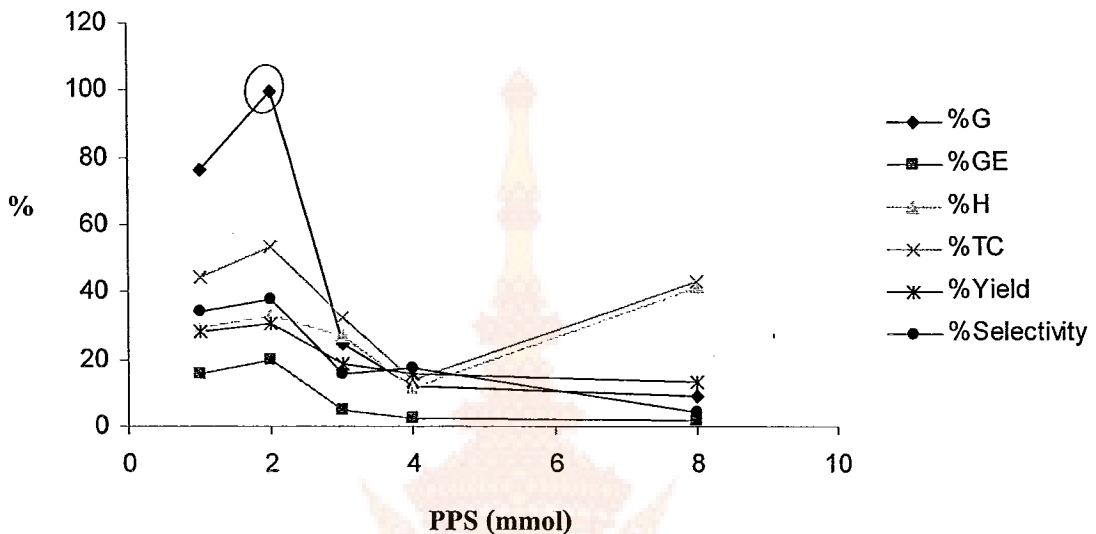


รูปที่ 4.3 ผลของปริมาณ MMA ที่มีต่อสัมบัติของพอลิ(เมทธิลเมทาคริเลต) ที่ต้องกึ่งบนแป้งข้าวโพด เมื่อใช้ PPS 1 mmol และเวลาในการเกิดปฏิกิริยา 90 นาที

#### 4.4 ผลของปริมาณของโพแทสเซียมแปอร์ชัลเฟตที่มีต่อสัมบัติของพอลิ(เมทธิลเมทาคริเลต) ที่ต้องกึ่งบนแป้งข้าวโพด

รูปที่ 4.4 แสดงผลของปริมาณของโพแทสเซียมแปอร์ชัลเฟตที่มีสัมบัติต่างๆ ในการต้องกึ่งโดยให้ปริมาณของโพแทสเซียมแปอร์ชัลเฟตดังนี้ เท่ากับ 1, 2, 3 และ 4 mmol เวลาในการทำปฏิกิริยาเท่ากับ 90 นาที และปริมาณของเมทธิลเมทาคริเลตเท่ากับ 50 mmol พบว่าเมื่อปริมาณของโพแทสเซียมแปอร์ชัลเฟตเพิ่มขึ้นจาก 1 mmol เป็น 2 mmol ปริมาณการต้องกึ่งสูงสุดเพิ่มขึ้นและเป็นค่าสูงสุดที่ปริมาณของโพแทสเซียมแปอร์ชัลเฟตเท่ากับ 2 mmol ซึ่งเกิดจากการที่ปริมาณของโพแทสเซียมแปอร์ชัลเฟตเพิ่มขึ้น ทำให้แป้งมีบริเวณที่ว่องไวต่อปฏิกิริยา (Active site) มากขึ้น เพราะโพแทสเซียมแปอร์ชัลเฟตเป็นสารที่ช่วยทำให้เกิดอนุญาตเสริบันสายโซ่ของแป้ง ทำให้เมทธิลเมทาคริเลตสามารถเข้าไปต่อ กึ่งบนบริเวณที่ว่องไวบนสายโซ่ของแป้งมากขึ้น ดังนั้นจึงทำให้ปริมาณการต้องกึ่งเพิ่มขึ้น แต่เมื่อปริมาณของโพแทสเซียมแปอร์ชัลเฟตเพิ่มสูงกว่า 2 mmol จะทำให้ออนญาตเสริในแป้งที่อยู่ติดกันมีมากขึ้น ทำให้โอกาสที่แป้งจับตัวกันเองเพิ่มสูงขึ้นและโอกาสในการต้องกึ่งน้อยลง ดังนั้นปริมาณการต้องกึ่งจะลดลง นอกจากนี้ยังพบว่าการเปลี่ยนแปลงของประสิทธิภาพการต้องกึ่ง ค่าการเลือกเกิด และผลได้มีทิศทางเดียวกับปริมาณการต้องกึ่ง แต่ปริมาณพอลิเมอร์ออกพันธุ์ และค่าการเปลี่ยนทั้งหมด มีค่าสูงขึ้น เมื่อปริมาณของโพแทสเซียมแปอร์ชัลเฟตสูงกว่า 4 mmol ซึ่งอาจเกิดเนื่องจากเมื่อแป้งจับตัวกันเองเพิ่มสูงขึ้น ทำให้ไม่เลกฤทธิ์ของเมทธิลเมทาคริเลตทำปฏิกิริยาพอลิเมอร์ เช่นกันเอง

เมื่อพิจารณาจากผลการทดลองในหัวข้อ 4.1 – 4.3 จึงสรุปได้ว่าภาวะที่เหมาะสมในการสังเคราะห์พอลิ(เมทิลเมทาคริเลต) ที่ต้องกึ่งบันแป้งข้าวโพด คือ ปริมาณของเมทิลเมทาคริเลตเท่ากับ 50 mmol ปริมาณของโพแทสเซียมเบอร์ซัลเฟต 2 mmol และเวลาที่ใช้ในการเกิดปฏิกิริยา 90 นาที

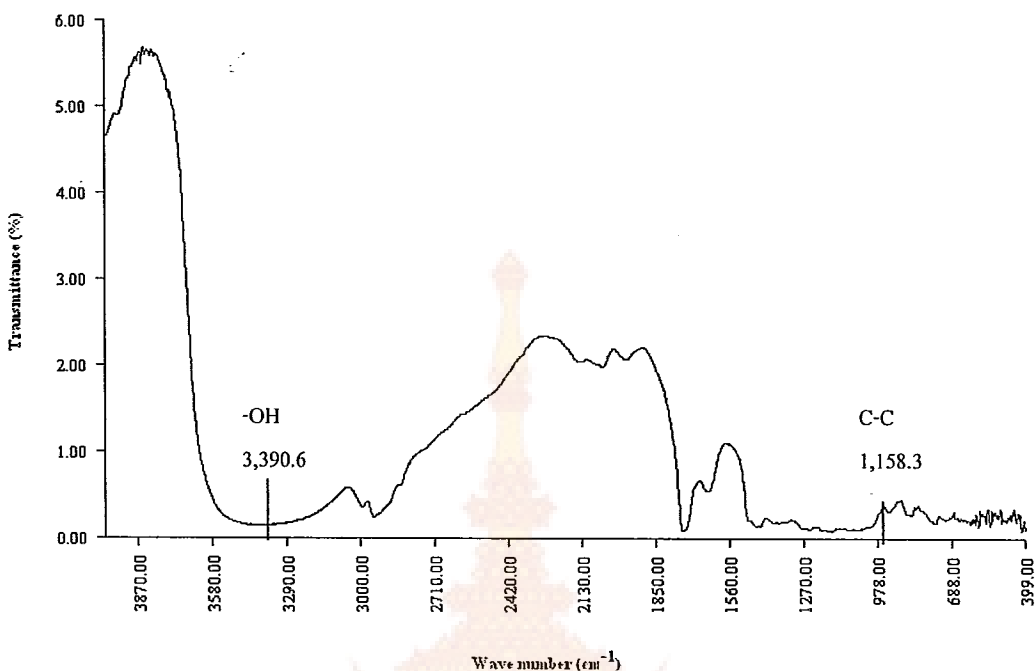


รูปที่ 4.4 ผลของปริมาณ PPS ที่มีต่อสมบัติของพอลิ(เมทิลเมทาคริเลต) ที่ต้องกึ่งบันแป้งข้าวโพด เมื่อใช้ MMA 50 mmol และเวลาในการเกิดปฏิกิริยา 90 นาที

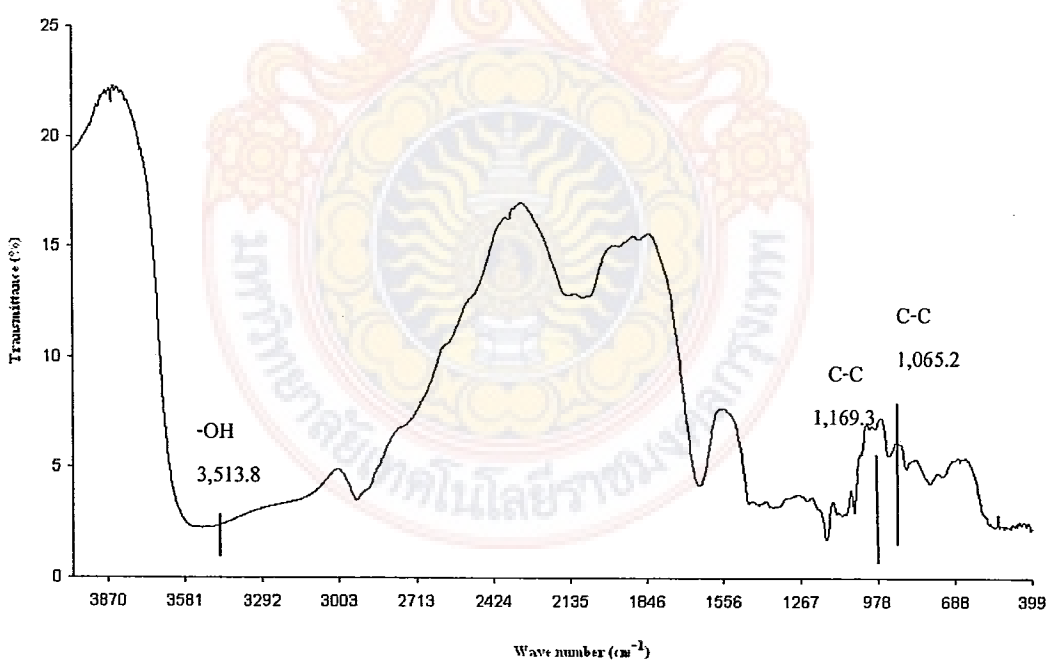
#### 4.5 การวิเคราะห์หมู่ทำหน้าที่ของพอลิ(เมทิลเมทาคริเลต) ที่ต้องกึ่งบันแป้งข้าวโพด

รูปที่ 4.5 ถึง 4.7 แสดงスペกตรัมของพอลิ(เมทิลเมทาคริเลต) ที่ต้องกึ่งบันแป้งข้าวโพด แป้งข้าวโพด และเมทิลเมทาคริเลต ซึ่งวิเคราะห์ด้วยเครื่องฟูเรียร์ทرانฟอร์મอนฟราเดสเปกโตรสโคป

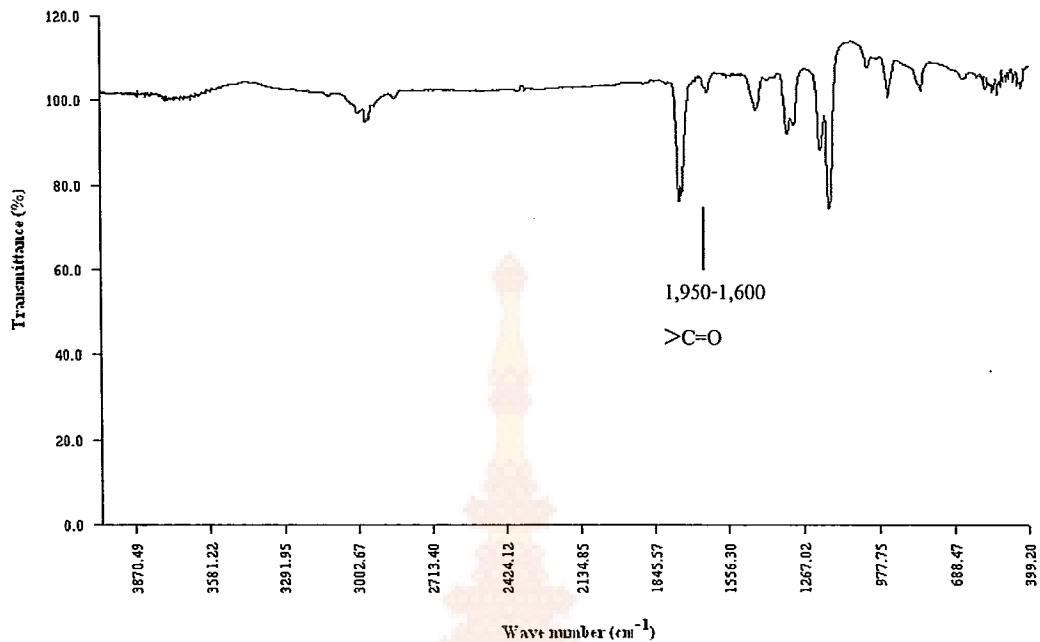
รูปที่ 4.5 แสดงスペกตรัมของพอลิ(เมทิลเมทาคริเลต) ที่ต้องกึ่งบันแป้งข้าวโพดซึ่งพบหมู่ไฮดรอกซิล ( $-OH$ ) ที่พีก  $3390.6\text{ cm}^{-1}$  และ  $1158.3\text{ cm}^{-1}$  และพบว่าスペกตรัมบางส่วนของแป้งข้าวโพดเมื่อเปรียบเทียบกับรูปที่ 4.6 ซึ่งเป็นスペกตรัมของแป้งข้าวโพด โดยพบร่องพีกที่  $1169.3\text{ cm}^{-1}$  และ  $1065.2\text{ cm}^{-1}$  รวมทั้งพบหมู่ไฮดรอกซิล ( $-OH$ ) ที่  $1513.3\text{ cm}^{-1}$  เช่นกัน รูปที่ 4.7 แสดงスペกตรัมของเมทิลเมทาคริเลต ซึ่งพบหมู่คาร์บอนิล ( $>C=O$ ) ในช่วงพีกที่  $1950-1600\text{ cm}^{-1}$  และสอดคล้องกับスペกตรัมของ(พอลิ)เมทิลเมทาคริเลตที่ต้องกึ่งบันแป้งข้าวโพดในรูปที่ 4.5 เช่นกัน จึงเป็นการยืนยันว่า งานวิจัยนี้สามารถต่อกริเมทิลเมทาคริเลตลงบนแป้งข้าวโพดได้ และได้ผลิตภัณฑ์พอลิ(เมทิลเมทาคริเลต) ที่ต้องกึ่งบันแป้งข้าวโพด



รูปที่ 4.5 สเปกตรัมของพอลิ(เมทิลเมทาคริเลต) ที่ต่อ กิจบนแป้งข้าวโพด



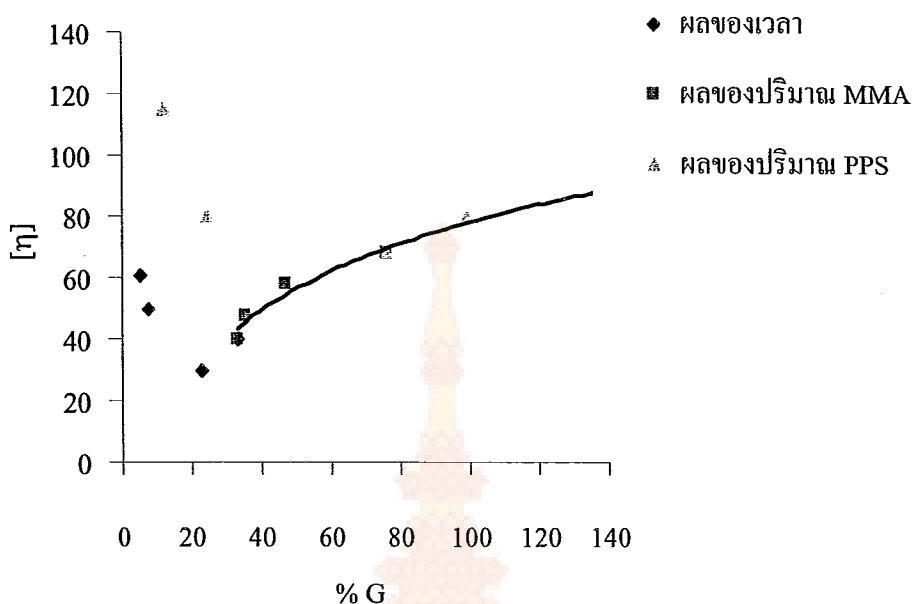
รูปที่ 4.6 สเปกตรัมของแป้งข้าวโพด



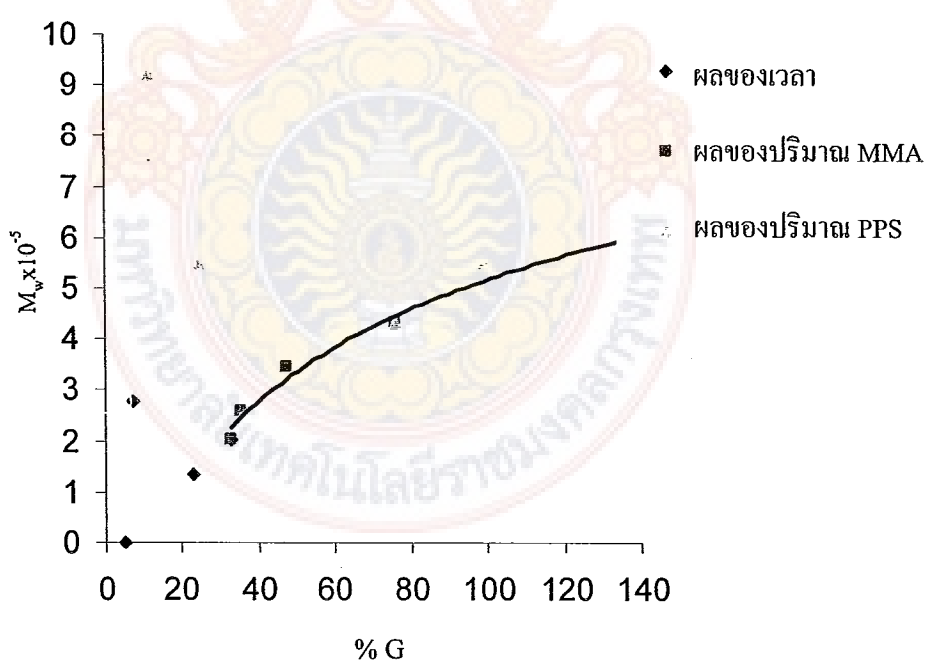
รูปที่ 4.7 สเปกตรัมของเมทิลเมทาคริเลต

#### 4.6 สมบัติทางกายภาพของพอลิ(เมทิลเมทาคริเลต) ที่ต่อ กิ่ง บน แป้ง ข้าว โพด

สมบัติทางกายภาพที่ศึกษา คือ ความหนืด โดยวัดค่าความหนืดของพอลิ(เมทธิล เมทาคริเลต) ที่ต่อ กิ่ง บน แป้ง ข้าว โพด โดยใช้โพแทสเซียมเบอร์ชัลเฟตเป็นสารริเริ่มปฏิกิริยา ride กับ ด้วยเครื่องวัดความหนืดที่  $30^{\circ}\text{C}$  โดยเปรียบเทียบกับความหนืดของเอธีโลนที่  $30^{\circ}\text{C}$  และคำนวณค่า ความหนืดเฉพาะของพอลิเมอร์ต่อความเข้มข้น โดยใช้สมการของหักกิน และคำนวณน้ำหนักไม่เสกุณ เหลี่ยมโดยใช้สมการของมาร์ก ไฮวินค์ ดังแสดงในรูปที่ 4.8 และ 4.9 พบว่า ความหนืดเฉพาะของพอลิ เมอร์ต่อความเข้มข้นและน้ำหนักไม่เสกุณเหลี่ยมเพรียบผันตามปริมาณการต่อ กิ่ง โดยความหนืดเฉพาะ ของพอลิเมอร์ต่อความเข้มข้น และน้ำหนักไม่เสกุณเหลี่ยมเพิ่มขึ้นเมื่อปริมาณการต่อ กิ่ง เพิ่มขึ้น เนื่องจาก ปริมาณการต่อ กิ่ง บ่งบอกถึงปริมาณของเมทิลเมทาคริเลตที่ต่อนบนสายโซ่ของแป้งข้าวโพด ถ้าปริมาณ การต่อ กิ่ง เพิ่มขึ้นแสดงว่ามีเมทิลเมทาคริเลตเพิ่มขึ้น จึงทำให้ความหนืดเฉพาะและน้ำหนักไม่เสกุณ เหลี่ยมเพิ่มขึ้นด้วย



รูปที่ 4.8 ความสัมพันธ์ระหว่างความหนืดเฉลี่าของพอลิเมอร์ต่อความเข้มข้น กับปริมาณการต่อคิ่ง



รูปที่ 4.9 ความสัมพันธ์ระหว่างน้ำหนักโมเลกุลเฉลี่ยกับปริมาณการต่อคิ่ง

## บทที่ 5

### สรุปผลการวิจัยและข้อเสนอแนะ

บทนี้เป็นการสรุปผลการวิจัยจากการศึกษาภาวะที่เหมาะสม ในการสังเคราะห์โพลิ(เมทิล เมทาคริเลต) ที่ต้องกึ่งบนแป้งข้าวโพด โดยใช้โพแทสเซียมເປົອຣ້ຊ້ລັເຟເປົ່ານສາຣີເຣີມປຸງກົງຮິຍາ รวมทั้งให้ข้อเสนอแนะจากประสบการณ์ที่ได้จากการทำโครงการวิจัยนี้

#### 5.1 สรุปผลการวิจัย

ในการศึกษาภาวะที่เหมาะสมในการสังเคราะห์โพลิ(เมทิลเมทาคริเลต) ที่ต้องกึ่งบนแป้งข้าวโพด โดยใช้โพแทสเซียมເປົອຣ້ຊ້ລັເຟເປົ່ານສາຣີເຣີມປຸງກົງຮິຍາ ซึ่งมีตัวแปรที่ศึกษา คือ ปริมาณ เมทิลเมทาคริเลตมอนอเมอร์ ปริมาณโพแทสเซียมເປົອຣ້ຊ້ລັເຟເປົ່ານ ระยะเวลาที่ใช้ในการทำປຸງກົງຮິຍາ ที่ อุณหภูมิ  $50^{\circ}\text{C}$  พบว่าภาวะที่เหมาะสม คือ ปริมาณเมทิลเมทาคริเลตมอนอเมอร์ เท่ากับ  $50 \text{ mmol}$  ปริมาณของโพแทสเซียมເປົອຣ້ຊ້ລັເຟເປົ່ານ  $2 \text{ mmol}$  และเวลาที่เหมาะสมในการทำປຸງກົງຮິຍາเท่ากับ 90 นาที เนื่องจากที่ภาวะนี้จะให้ปริมาณการต่อ กิ่งสูงสุด เท่ากับ  $99.4\%$

การศึกษาสมบัติทางเคมีเพื่อยืนยันผลการสังเคราะห์โพลิ(เมทิลเมทาคริเลต) ที่ต้องกึ่งบนแป้งข้าวโพด โดยใช้เครื่องฟูเรียร์ทรานส์ฟอร์ມอินฟราเรดสเปกโගراف พบว่า ผลิตภัณฑ์ที่สังเคราะห์ได้เป็นโพลิ(เมทิลเมทาคริเลต) ที่ต้องกึ่งบนแป้งข้าวโพด เนื่องจากพนหนู่ไฮดรอกซิด ( $-\text{OH}$ ) ซึ่งเป็นหนู่ทำหน้าที่ของแป้ง และพนหนู่คาร์บอนิล ( $>\text{C=O}$ ) ซึ่งเป็นหนู่ทำหน้าที่ของเมทิลเมทาคริเลต

ในการวัดค่าความหนืดซึ่งเป็นสมบัติทางกายภาพของโพลิ(เมทิลเมทาคริเลต) ที่ต้องกึ่งบนแป้งข้าวโพดด้วยเครื่องวัดความหนืด โดยวัดค่าความหนืดที่  $3^{\circ}\text{C}$  แล้วใช้สมการของชักกิน คำนวณความหนืดเฉพาะ และใช้สมการของมาร์ก ໂຂວິນค์ คำนวณน้ำหนักไม่เดกุดเนลี่ย พบว่าความหนืดเฉพาะ และน้ำหนักไม่เดกุดเนลี่ยมีค่ามากขึ้นเมื่อปริมาณการต่อ กิ่งเพิ่มขึ้น

#### 5.2 ข้อเสนอแนะ

5.2.1 ในขั้นตอนแยกตัวยับยั้งออกจากร่อนมอนอเมอร์เมทิลเมทาคริเลต ต้องควบคุมอุณหภูมิของ คลอดันน์โดยใช้น้ำแข็งหล่อเย็นตลอดเวลาที่สกัด เพื่อป้องกันเมทิลเมทาคริเลตแตกหักในคลอดันน์

5.2.2 หลังจากเจลาทีไนซ์ที่อุณหภูมิ  $70^{\circ}\text{C}$  แล้วลดอุณหภูมิลงเป็น  $50^{\circ}\text{C}$  ในระหว่างลด อุณหภูมิไม่ควรใช้น้ำแข็ง เนื่องจากจะเกิดการคลายตัวที่ไม่สมบูรณ์

5.2.3 ในการใช้แก๊สใน โตรเจน ไอล์ออกซิเจนอุกอาจากระบวนการ ควรให้อัตราไอลของแก๊ส ใน โตรเจน มีค่าต่ำ เพื่อให้ปฏิกริยาดำเนินไปอย่างต่อเนื่อง และลดการสูญเสียแก๊ส ใน โตรเจน

5.2.4 หลังจากขั้นตอนการต่อ กิ่ง เสร็จแล้ว ให้อบค้างคืนที่อุณหภูมิ  $70^{\circ}\text{C}$  (ประมาณ 12 ชั่วโมง) เพราะถ้าอบนานผลิตภัณฑ์อาจจะไหม้ได้ และครอบสารในงานเพาะเชื้อ (Petri dish) เพราะผลิตภัณฑ์ที่อบจะมีความชื้นสูงมาก

5.2.5 ควรศึกษาการสังเคราะห์พอลิเมอร์ร่วมแบบต่อ กิ่ง โดยทดลองใช้แป้งที่มีราคาถูก หรือเปลี่ยนชนิดของพอลิเมอร์สังเคราะห์ หรือใช้สารเริ่มปฏิกริยาอื่นๆ เนื่องจากพอลิเมอร์ร่วมที่สามารถแตกสลายทางชีวภาพได้จะช่วยลดปัญหาน้ำพิษในสิ่งแวดล้อม

## บรรณานุกรม

- 1 กิตติมรงค์ ศรีรอด และ เกื้อฤทธิ ปิยะจอมขวัญ. 2546. “ความรู้เบื้องต้นเกี่ยวกับแป้ง”. เทคโนโลยีแป้ง. พิมพ์ครั้งที่ 3. มหาวิทยาลัยเกษตรศาสตร์. กรุงเทพฯ: 1-72
- 2 นิติยา รัตนานันท์. 2545, เคมีอาหาร, พิมพ์ครั้งที่ 2, สำนักพิมพ์โอดีเยนสโตร์. หน้า 155-295
- 3 วินลวรรณ พิมพ์พันธุ์. 2548. การเตรียมผลิตภัณฑ์ที่ย่อยสลายทางชีวภาพจากแป้ง. จุฬาลงกรณ์มหาวิทยาลัย. กรุงเทพฯ.
- 4 ชัยวัฒน์ เจนวนิชย์. 2526. พอลิเมอร์เชิงพาณิชย์. กรุงเทพฯ: โอดีเยนสโตร์.
- 5 Misra, B. N., Dogra, R., Kaur, L. and Sood, D., Grafting onto Starch II, Graft Copolymerization of Vinyl Acetate onto Starch by Radical Initiator, Journal Of Polymer Science Polymer Chemistry, 18 (1980): 341-344.
- 6 Gao, J.P., Tian, R.C., Yu, J.G. and Duan, M.L., Graft Copolymers of Methyl Methacrylate onto Canna Starch Using Manganic Pyrophosphate as an Initiator, Journal of Applied Polymer Science, 53 (1994): 1091-1102.
- 7 Fakhrú I-Razi, A., Qudsieh, I.Y.M., Wan Yunus, W.M.Z., Ahmad, M.B. and AbRahman, M.Z., Graft Copolymerization of Methyl Methacrylate onto Sago Starch Using Ceric Ammonium Nitrate and Potassium Persulfate as Redox Initiator Systems, Journal of Applied Polymer Science, 82 (2001): 1375-1381.
- 8 Srivastava, B.K., Pande, C.S. and Misra, B.N., A New Method for Determination of Percentage Grafting in Starch-Polyacrylonitrile Graft Copolymer, Indian Journal Chemistry, 14A (1976): 274-275.
- 9 Fanta, G.F., Burr, R.C., Doane, W.M. and Russell, C.R., Graft Polymerization of Styrene onto Starch by Simultaneous Cobalt-60 Irradiation, Journal of Applied Polymer Science, 21 (1977): 425-433.
- 10 Pimpan, V., Sirisk, R., Rungsumpunkul, S. and Cheunchon, S., Preliminary Study on Preparation of Environmental Friendly Materials from Modified Glutinous Starch, Journal of Metals, Materials and Minerals, 12 (2) (2003): 59.
- 11 Pimpan, V., Ratanarat, K. and Pongchawanakul M., “Preliminary Study on Preparation of Biodegradable Plastic from Modified Cassava Starch”, Journal of Science Research Chulalongkorn, 26 (2) (2001): 117.

- 12 Thothong, P. and Pimpan, V., Synthesis of Grafted Copolymers of Cassava Starch and Methyl Methacrylate Using Benzoyl Peroxide as an Initiator, Abstract to the 12<sup>th</sup> Academic Symposium of Faculty of Science, Chulalongkorn University, March 18-19, 2004, Bangkok, Thailand.
- 13 Horthimaworarakun, R., Pornsintorntawee, O. and Pimpan, V., Abstract to the 13<sup>th</sup> Academic Symposium of Faculty of Science, Chulalongkorn University, March 16-17, 2005, Bangkok, Thailand.
- 14 Uasopon, S., Sirisook, R. and Pimpan, V., Effects of Plasticizers on Properties of Modified Cassava Starch Films, Abstract to the 12<sup>th</sup> Academic Symposium of Faculty of Science, Chulalongkorn University, March 18-19, 2004, Bangkok, Thailand.

## ภาคผนวก



## ภาคผนวก ก

### ข้อมูลการวิจัย

ภาคผนวนนี้เป็นการรวมรวมข้อมูลที่ได้จากการทดลอง และการคำนวณปริมาณการกราฟต์ ประสิทธิภาพการกราฟต์ ปริมาณ ไฮโนพอลิเมอร์ ค่าการเปลี่ยน ค่าการเดือกเกิด และผลได้

#### ก.1 ข้อมูลการทดลอง

ตารางที่ ก.1 ข้อมูลการสังเคราะห์พอลิ(เมทิลเมทาคริเลต) ที่ต่อ กิ่งบนเป็นข้าวโพด

การทดลองที่	แป้ง (g)	PPS (g)	MMA (mL)	เวลาที่ใช้ (min)	น้ำหนักก่อนสักด (g)	น้ำหนักหลังสักด(g)
1	5.4745	1.3507	10.6	30	6.7470	5.2584
2	5.4817	1.3515	10.6	60	9.9050	5.3654
3	5.4800	1.3509	10.6	90	14.7897	6.6485
4	5.4798	1.3501	10.6	120	13.4838	6.1362
5	5.4800	1.3501	15.9	90	14.7801	6.7719
6	5.4808	1.3495	21.2	90	21.2137	7.3573
7	5.4816	1.3515	26.5	90	16.0368	8.7995
8	5.4809	2.7012	26.5	90	18.1786	9.9711
9	5.4845	4.0598	26.5	90	12.9663	6.2417
10	5.4803	5.4005	26.5	90	8.4347	5.5970

#### ก.2 ตัวอย่างการคำนวณ

ตัวอย่างการคำนวณผลการทดลองต่างๆ ในการทดลองเพื่อศึกษาภาวะที่เหมาะสมจากการต่อ กิ่งเมทิลเมทาคริเลตบนเป็นข้าวโพด เป็นดังนี้

##### ตัวอย่างจากการทดลองที่ 8

ปริมาณแป้งข้าวโพด (หักความชื้นแล้ว) 5.0008 g

ปริมาณโพแทสเซียมเปอร์ซัลเฟต 2.7012 g

ปริมาณแม่ทิลเมทาคริเลต น้ำหนักก่อนสกัด น้ำหนักหลังสกัด	24.8040 g 18.1786 g 9.9711 g
ปริมาณการต่อ กิ่ง (%G)	$= \frac{W_2 - W_1}{W_1} \times 100 \quad (4.1)$ $= \frac{9.9711 - 5.0008}{5.0008} \times 100$ $= 99.39$
ประสิทธิภาพการต่อ กิ่ง (%GE)	$= \frac{W_2 - W_1}{W_3} \times 100 \quad (4.2)$ $= \frac{9.9711 - 5.0008}{24.8040} \times 100$ $= 20.04$
ปริมาณโซโนโพลีเมอร์ (%H)	$= \frac{W_4 - W_2}{W_3} \times 100 \quad (4.3)$ $= \frac{18.1786 - 9.9711}{24.8040} \times 100$ $= 33.09$
ค่าการเปลี่ยน (%TC)	$= \frac{W_4 - W_1}{W_3} \times 100 \quad (4.4)$ $= \frac{18.1786 - 5.0008}{24.8040} \times 100$ $= 53.13$
ค่าการเดือดเกิด (%Selectivity)	$= \frac{W_2 - W_1}{W_4 - W_1} \times 100 \quad (4.5)$ $= \frac{9.9711 - 5.0008}{18.1786 - 5.0008} \times 100$ $= 37.72$
ผลได้ (%Yield)	$= \frac{W_2}{W_1 + W_3 + W_{PPS}} \times 100 \quad (4.6)$ $= \frac{9.9711}{5.0008 + 24.8040 + 2.7012} \times 100$ $= 30.67$

**ตารางที่ ก.2 ปริมาณการต่อคิ่ง ประสิทธิภาพการต่อคิ่ง ปริมาณโซโนคลิเมอร์ ค่าการเปลี่ยนค่าการเลือกเกิด และผลได้**

การทดลองที่	เวลา (min)	MMA (mmol)	PPS (mmol)	%G	%GE	% H	%TC	%Selectivity	%Yield
1	30	20	1	5.11	2.58	15.00	17.58	14.66	32.31
2	60	20	1	7.28	3.67	45.75	49.42	7.42	32.97
3	90	20	1	32.97	16.62	82.06	98.67	16.84	40.86
4	120	20	1	22.73	11.45	74.06	85.51	13.39	37.71
5	90	30	1	35.44	11.91	53.81	65.72	18.12	31.89
6	90	40	1	47.13	11.88	69.83	81.71	14.53	28.09
7	90	50	1	75.94	15.31	29.18	44.49	34.42	28.24
8	90	50	2	99.39	20.04	33.09	53.13	37.72	30.67
9	90	50	3	24.73	4.99	27.11	32.10	15.54	18.43
10	90	50	4	11.94	2.41	11.44	13.85	17.38	15.90

## ภาคผนวก ข

### การทดสอบสมบัติทางกายภาพของพอลิ(เมทิลเมทاكրิเลต) ที่ต่อกิ่งบนแป้งข้าวโพด

ภาคผนวกนี้กล่าวถึงข้อมูลการวัดความหนืดของพอลิ(เมทิลเมทاكրิเลต) ที่ต่อกิ่งบนแป้งข้าวโพดที่สังเคราะห์ได้ด้วยเครื่องวัดความหนืด (Ubbelohde viscometer) ตัวอย่างการคำนวณหาความหนืด โดยใช้สมการของหักกิน (Huggin's equation) และการคำนวณนำหนักไม้เลกุลของพอลิเมอร์ร่วมที่สังเคราะห์ได้โดยใช้สมการของมาร์ก โฮวินค์ (Mark Houwink's equation)

**ข.1 การวัดความหนืดของพอลิ(เมทิลเมทاكրิเลต) ที่ต่อกิ่งบนแป้งข้าวโพดด้วยเครื่องวัดความหนืด**  
 เวลาในการเคลื่อนที่ของแอซีโตน ครั้งที่ 1 44.97 s  
 ครั้งที่ 2 44.18 s  
 ครั้งที่ 3 44.64 s  
 เวลาเฉลี่ยในการเคลื่อนที่ของแอซีโตน 44.60 s

ตารางที่ ข.1 ความหนืดเฉพาะและน้ำหนักไม้เลกุลเฉลี่ยของสารละลายพอลิเมอร์

การทดลองที่	ความหนืดเฉพาะ [η]	น้ำหนักไม้เลกุลเฉลี่ย	%G
1	60.35	365,698.9	5.11
2	50.00	279,511.0	7.28
3	40.00	203,215.2	32.97
4	30.00	134,732.4	22.73
5	47.30	258,200.9	35.44
6	58.00	345,526.9	47.13
7	68.00	433,679.4	75.94
8	80.00	547,014.6	99.39
9	80.00	547,014.6	24.73
10	115.00	918,656.2	11.94

## บ.2 ตัวอย่างการคำนวณ

ตัวอย่างการคำนวณความหนืด โดยใช้สมการของหักกิน และนำหนักโมเลกุลของพอลิ(เมทิลเอมากรีเดต) ที่ต่อ กิ่งบนเปลี่ยนเป็นข้าวโพดที่สังเคราะห์ได้โดยใช้สมการของมาร์ก ไฮวินค์

### ตัวอย่างจากการทดลองที่ 8

เวลาในการเคลื่อนที่เฉลี่ยของแอซีโตน เท่ากับ 44.60 s

ความหนืดเฉพาะ  $\eta_{sp}$ ;

$$\eta_{sp} = \eta_r - 1 \quad (3.4)$$

$$\begin{aligned}\eta_{sp} &= 1.2245 - 1 \\ &= 0.2245\end{aligned}$$

ความเข้มข้นของสารละลายพอลิเมอร์เท่ากับ  $1.45 \times 10^{-3}$  g/mL และ  $0.49 \times 10^{-3}$  g/mL เมื่อคำนวณในทำงานองเดียวกัน จะได้  $\eta_{sp}$  เท่ากับ 0.0907 และ 0.0410 ตามลำดับ ซึ่ง  $\eta_{sp} = \frac{\eta_{red} - 1}{C}$

$$\begin{aligned}\text{แทนค่าจะได้} \quad \eta_{sp} &= \frac{1.2245 - 1}{4.02 \times 10^{-3}} \\ &= 55.8349\end{aligned}$$

ถ้าความเข้มข้นเท่ากับ  $1.45 \times 10^{-3}$  g/mL และ  $0.49 \times 10^{-3}$  g/mL เมื่อคำนวณในทำงานองเดียวกัน จะได้  $\eta_{sp}$  เท่ากับ 62.5272 และ 83.5913 ตามลำดับ นำค่า  $\eta_{sp}$  ที่ได้ไปเขียนกราฟเพื่อหาค่าความหนืดเฉพาะของพอลิเมอร์ต่อหน่วยความเข้มข้น  $[\eta]$  จากความสัมพันธ์ของสมการของหักกิน สามารถสร้างกราฟໄດ้ดังนี้ แทนค่าในสูตร

ความหนืดเริดวิช ( $\eta_{red}$ ) ที่ความเข้มข้น  $4.02 \times 10^{-3}$  g/mL

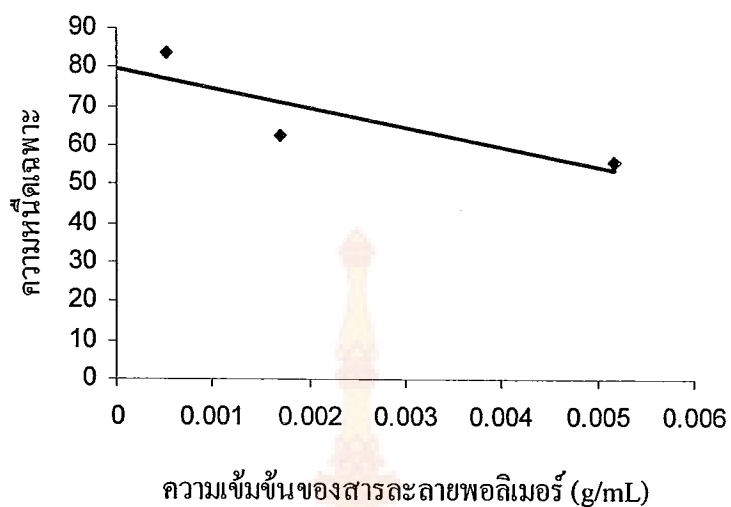
$$\begin{aligned}\eta_{red} &= \frac{54.61 \text{ s}}{44.60 \text{ s}} \\ &= 1.2245\end{aligned}$$

หมายเหตุ ถ้าความเข้มข้นเท่ากับ  $1.45 \times 10^{-3}$  g/mL และ  $0.49 \times 10^{-3}$  g/mL คำนวณในทำงานองเดียวกัน จะได้ค่า  $\eta_{red}$  1.0907 และ 1.0410 ตามลำดับ

จากกราฟจะได้ชุดตัดแกน y คือ  $[\eta]$  เท่ากับ 80 นำค่า  $[\eta]$  ที่ได้ไปคำนวณหาค่าน้ำหนักโมเลกุลเฉลี่ยในสมการของมาร์ก ไฮวินค์

$$80 = 7.7 \times 10^{-3} \text{ g.mL}^{-1} M_v^{0.70}$$

$$M_v = 547,014$$



**รูปที่ ๑.๑** ความสัมพันธ์ระหว่างความหนืดเนื้าของพอลิเมอร์กับความเข้มข้นของสารละลายพอลิเมอร์

## ภาคผนวก ค

### ฟูเรียร์ทรายฟอร์มอินฟราเรดสเปกโถร์โคป (Fourier Transform Infrared Spectroscopy)

ภาคผนวกนี้กล่าวถึงหลักการของฟูเรียร์ทรายฟอร์มอินฟราเรดสเปกโถร์โคป ซึ่งใช้ วิเคราะห์โครงสร้างทางเคมีของพอลิ(เมทิลเมทาคริเลต) ที่ต้องกึ่งบนแบ่งข้าวโพดที่สังเคราะห์ได้ เพื่อเป็นแนวทางในการใช้เทคนิค และเครื่องฟูเรียร์ทรายฟอร์มอินฟราเรดสเปกโถร์โคป

#### ค.1 หลักการของเครื่อง

ฟูเรียร์ทรายฟอร์มอินฟราเรดสเปกโถร์โคป มีวิธีวัดที่ต่างไปจากเครื่องมือสเปกโถร์โคปทั่วไปคือ ใช้วัดความเข้มของแสงต่อความยาวคลื่นหรือกำลังขยายที่ความยาวคลื่นต่างๆ อย่าง ต่อเนื่องเทียบกับเวลา เรียกว่า เวลา-โดเมนสเปกโถร์โคป (Time-domain spectroscopy) จากนั้น เวลา-โดเมนสเปกตรัม (Time-domain spectrum) จะถูกเปลี่ยนเป็นความถี่-โดเมนสเปกตรัม (Frequency-domain spectrum) ด้วยฟูเรียร์ทรายฟอร์ม (Fourier Transform) จากการใช้ดิจิตอล คอมพิวเตอร์ ถึงที่สเปกตรัมทั้งสองแตกต่างกันจริงๆ คือ ความถี่-โดเมนสเปกตรัมเป็นสเปกตรัมที่ ได้จากการวัดการคูณคลื่นแสงที่ความถี่ต่างๆ กัน ที่ละครั้งในช่วงระยะเวลาหนึ่ง แต่ฟูเรียร์ทรายฟอร์มสเปกตรัม (Fourier Transform spectrum) ได้จากการวัดการคูณคลื่นแสงที่ความถี่ต่างๆ พร้อม กันหมด ดังนั้นฟูเรียร์ทรายฟอร์มจึงช่วยให้การวิเคราะห์รวดเร็วขึ้น การแยก (Resolution) จะดีขึ้น หรือเป็นการทำให้อัตราส่วนระหว่างสัญญาณต่อสัญญาณรบกวน (Signal-to-noise ratio) ดีกว่าวิธี ธรรมด้า เพราะการวัดด้วยเครื่องธรรมดاجาจะเป็นแบบวัดทีละความถี่ (Sequentially) แต่ FT-IR วัดที่ ความถี่ต่างๆ อย่างต่อเนื่อง (Simultaneously) เรียกว่า ข้อดีเฟลเก็ทท์ (Fellgett's advantage) สามารถใช้ช่องทางเข้าแบบวงกลม (Circular entrance aperture) แทนทางเข้าแบบช่องเล็กๆ (Entrance slit) ทำให้กำลังแสงสูงขึ้น การแยกดีขึ้น การวิเคราะห์ง่ายและสะดวกด้วยการใช้ คอมพิวเตอร์ควบคุมการทำงาน อย่างไรก็ได้เครื่องฟูเรียร์ทรายฟอร์มอินฟราเรดสเปกโถร์โคปมี ราคาสูง และต้องเสียค่าใช้จ่ายในการบำรุงรักษาสูง เนื่องจากต้องเก็บในห้องควบคุมความชื้น ตลอดเวลา

### ค.2 คุณสมบัติทั่วไป

เป็นเครื่องวิเคราะห์โครงสร้างของสารประกอบอินทรีย์ โดยใช้หลักการการดูดกลืนรังสีอินฟราเรด เมื่อรังสีอินฟราเรดถูกดูดกลืนพลังงานจะถูกเปลี่ยนเป็นพลังงานการหันและการสั่นของโมเลกุล โมเลกุลของสารแต่ละชนิดจะให้สเปกตรัมที่เป็นเอกลักษณ์ของพื้นฐานในโมเลกุlnนั้น ซึ่งเป็นประโยชน์อย่างยิ่งต่อการพิสูจน์โครงสร้างของสารประกอบ

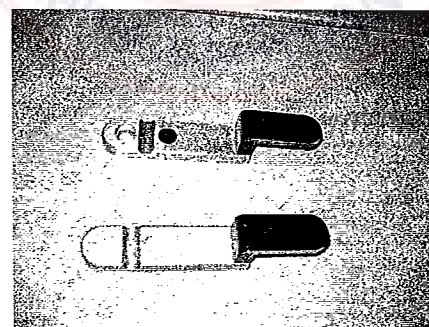
### ค.3 คุณลักษณะเฉพาะ

ความไวในการวิเคราะห์ (High Sensitivity)

1. มีค่า S/N > 40000:1 ซึ่งนับว่าเป็นหนึ่งใน FT-IR ที่มี Sensitivity ที่ดีที่สุด
2. ตัวตรวจวัดเป็นชนิด DLATGS ซึ่งเป็น DTGS ที่มีส่วนของ L-Alamine ทำให้ตัวตรวจวัดมีความคงตัวสูงขึ้น
3. ในระบบทางเดินแสง ใช้กระจกที่เคลือบด้วยทองที่ให้ค่า Reflectance สูงถึง 98% ทำให้ลดการสูญเสียความเข้มแสงในการสะท้อนของระบบ



รูปที่ ค.1 เครื่องฟูเรียร์ทรายฟอร์มอินฟราเรดสเปกโตรสโคป



รูปที่ ค.2 ส่วนประกอบของเครื่องฟูเรียร์ทรายฟอร์มอินฟราเรดสเปกโตรสโคป เป็นกระจกที่เคลือบด้วยทอง

# ประวัตินักวิจัย



## หัวหน้าโครงการ

1. ชื่อ นางสาววรารณ์ ธนากรุณรงค์  
MISS WARAPORN TANAKULRUNGSANK
2. ตำแหน่งปัจจุบัน ข้าราชการตำแหน่งผู้ช่วยศาสตราจารย์
3. หน่วยงานที่อยู่ที่สามารถติดต่อได้สะดวก พร้อมหมายเลขโทรศัพท์ โทรสาร และ e-mail  
 สาขาวิชาวิศวกรรมเคมี คณะวิศวกรรมศาสตร์  
 มหาวิทยาลัยเทคโนโลยีราชมงคลรังสิต  
 2 ถนนนang ลีนจี เขตสาทร กรุงเทพฯ 10120  
 โทรศัพท์ 0 2287 9734  
 โทรสาร 0 2287 9734  
 e-mail: warapornt@rmut.ac.th

## 4. ประวัติการศึกษา

ปีที่จบ การศึกษา	ระดับ ปริญญา	อักษรย่อปริญญา และชื่อเต็ม	สาขาวิชา	วิชาเอก	ชื่อสถาบัน การศึกษา	ประเทศ
2536	เอก	D. Eng. Doctor of Engineering	Catalyst Engineering	Catalyst Engineering	Kyoto University	ญี่ปุ่น
2530	โท	วศ.ม. วิศวกรรมศาสตร์	วิศวกรรมเคมี	วิศวกรรมเคมี	จุฬาลงกรณ์ มหาวิทยาลัย	ไทย
2521	ตรี	วท.บ. วิทยาศาสตร์ บัณฑิต	เคมีวิศวกรรม	เคมีวิศวกรรม	จุฬาลงกรณ์ มหาวิทยาลัย	ไทย

5. สาขาวิชาการที่มีความชำนาญพิเศษ (แตกต่างจากภูมิการศึกษา) ระบุสาขาวิชาการ  
วิศวกรรมเคมี วิศวกรรมด้วยเร่งปฏิกิริยา
6. ประสบการณ์ที่เกี่ยวข้องกับการบริหารงานวิจัยทั้งภายในและภายนอกประเทศ

## 6.1 หัวหน้าโครงการวิจัย: ชื่อโครงการวิจัย

1. การศึกษาการบำบัดผลพิษที่เกิดจาก/toxic ของสารประกอบชั้ลเฟอร์โดยใช้เทคนิค XPS และ DRIFT ด้วยปฏิกิริยาการใช้แสง ร่วมกับตัวเร่งปฏิกิริยาไทเทเนียมนาโนเมตรที่สังเคราะห์ด้วยเทคนิคการเผาแบบเพลนสเปรย์
2. การควบคุมโครงสร้างพูนขนาดเมมโซของตัวเร่งปฏิกิริยานิกีโลออกไซด์
3. การสังเคราะห์โพลิ(เมทธิลเมทาคริเลต) ที่กราฟต์บนแป้งข้าวโพด โดยใช้โพแทสเซียมเปลอร์ชัลเฟตเป็นสารเริ่มปฏิกิริยา

## 6.3 งานวิจัยที่ทำเสร็จแล้ว

1. การสังเคราะห์อนุภาคไทเทเนียมนาโนเมตรด้วยเทคนิคการเผาแบบเพลนสเปรย์ การประชุม มหาวิทยาลัยเทคโนโลยีราชมงคลวิชาการ ครั้งที่ 1 ระหว่างวันที่ 27 – 23 สิงหาคม 2551 ณ โรงแรมธรรมรินทร์ ธนา จำกัด เมือง จังหวัดตรัง งบประมาณประจำปี 2550
2. การสังเคราะห์โพลิ(เมทธิลเมทาคริเลต) กราฟต์บนแป้งข้าวโพด โดยใช้โพแทสเซียมเปลอร์ชัลเฟตเป็นสารเริ่มปฏิกิริยา การประชุมวิชาการวิศวกรรมเคมีและเคมีประยุกต์แห่งประเทศไทย ครั้งที่ 17 ระหว่างวันที่ 29 – 30 ตุลาคม 2550 ณ โรงแรม ดิโอมเพรส จำกัด เมือง จังหวัดเชียงใหม่ งบประมาณประจำปี 2550
3. อิทธิพลของสารกระตุนที่มีต่อมนุษย์ที่และประสิทธิภาพในการดูดซับของถ่านกัมมันต์ที่ผลิตจากกาแฟ งบประมาณผลประโยชน์ประจำปี 2550 ผู้ร่วมวิจัย
4. การผลิตไบโอดีเซลในเครื่องปฏิกรณ์แบบกึ่งกระแส โดยการใช้ตัวเร่งปฏิกิริยาแบบวิธพันธุ์ งบประมาณผลประโยชน์ประจำปี 2550 ผู้ร่วมวิจัย
5. การควบคุมโครงสร้างพูนขนาดเมมโซของตัวเร่งปฏิกิริยานิกีโลออกไซด์ ประจำปี 2549 หัวหน้าโครงการ
6. การแยกโลหะหนักออกจากสารละลายด้วยถ่านกัมมันต์จากกลามมะพร้าว โดยใช้หอดูดซับแบบชั้นตึง งบประมาณประจำปี 2549
7. การสังเคราะห์ตัวเร่งปฏิกิริยาโลหะออกไซด์ด้วยวิธีโซล-เจลเพื่อเคลือบบนเยื่อแผ่นอะลูมินาสำหรับสังเคราะห์สารประกอบไฮเดฟิน งบประมาณผลประโยชน์ประจำปี 2548 หัวหน้าโครงการ
8. การสังเคราะห์เส้นใยซิลิกาด้วยวิธีโซล-เจล โดยใช้เทคนิคอิเล็กโทรสปินนิ่ง งบประมาณผลประโยชน์ประจำปี 2548 ผู้ร่วมวิจัย
9. การผลิตถ่านกัมมันต์จากการกาแฟโดยใช้ฟลูอิไดเซชันไอน้ำ งบประมาณผลประโยชน์ประจำปี 2548 ผู้ร่วมวิจัย
10. การสร้างอัญมณีโอโมนิเตอร์วัดปริมาณแอลกอฮอล์ความเข้มข้นสูง งบประมาณผลประโยชน์ประจำปี 2548 ผู้ร่วมวิจัย

11. กระบวนการต้นไม้จากวัสดุเหลือใช้ทางการเกษตร งบประมาณผลประโยชน์ประจำปี 2548 ผู้ร่วมวิจัย
12. การนำบดค่าน้ำเสียจากโรงงานอุตสาหกรรมสิ่งทอด้วยปฏิกิริยาไฟฟ์โซเดียมอลูมิเนียม โดยใช้ไทด์ เนี่ย การประชุมสัมมนาทางวิชาการ สถาบันเทคโนโลยีราชมงคล ครั้งที่ 21 ระหว่างวันที่ 28 – 30 มีนาคม 2548 ณ โรงแรมเชียงใหม่ภูคำ อําเภอเมือง จังหวัดเชียงใหม่ งบประมาณประจำปี 2546 (งบวัสดุฝึก) สถาบันเทคโนโลยีราชมงคล วิทยาเขตเทคนิค กรุงเทพฯ
13. การปรับปรุงน้ำมันปาล์มดิบเป็นเชื้อเพลิงสำหรับเครื่องยนต์ดีเซลหมุนซ้าย การประชุมสัมมนาทางวิชาการ สถาบันเทคโนโลยีราชมงคล ครั้งที่ 20 ระหว่างวันที่ 11 – 13 กุมภาพันธ์ 2547 ณ โรงแรมอมรินทร์ลากูน อําเภอเมือง จังหวัดพิษณุโลก งบประมาณประจำปี 2545 สถาบันเทคโนโลยีราชมงคล วิทยาเขตเทคนิคกรุงเทพฯ
14. การผลิตถ่านอัดก้อนจากผงถ่านแอนตราไซต์และวัสดุเหลือทิ้งทางเกษตร การประชุมสัมมนาทางวิชาการ สถาบันเทคโนโลยีราชมงคล ครั้งที่ 20 ระหว่างวันที่ 11 – 13 กุมภาพันธ์ 2547 ณ โรงแรมอมรินทร์ลากูน อําเภอเมือง จังหวัดพิษณุโลก งบประมาณประจำปี 2545 (งบวัสดุฝึก) สถาบันเทคโนโลยีราชมงคล วิทยาเขตเทคนิคกรุงเทพฯ
15. การศึกษาสมบัติการดูดซับของถ่านกัมมันต์ 2543 รายงานการประชุมสัมมนาทางวิชาการ สถาบันเทคโนโลยีราชมงคล ครั้งที่ 17, 3, 740-752 โครงการวิจัยและพัฒนาหน้ากากป้องกันสารพิษทางทหาร งบประมาณประจำปี 2541 กองทัพอากาศ กระทรวงกลาโหม
16. The influence of base type on the characterization of a nickel oxide catalyst formed by a sol-gel technique, 2005, Proceeding of the International Conference on Recent Advances in Mechanical & Materials Engineering (ICRAMME 05), May 30-31, 2005, Kuala Lumpur, Malaysia, Paper No. 57.
17. Modification of Crude Palm Oil to Diesel Engine Fuel, 29<sup>th</sup> Congress on Science and Technology of Thailand, October 20-22, 2003, Khon Kean, Thailand, SI-3 งบประมาณประจำปี 2545 สถาบันเทคโนโลยีราชมงคล
18. The effect of silica added on large surface area of nanocrystalline titania”, Proceeding of the 10<sup>th</sup> International Ceramics Congress: Part B, Section D Sintering Science and Technology, Florence, Italy, July 2002, p.101-108 ทุนมหาวิจัยอาชูโส สำนักงานกองทุนสนับสนุนการวิจัย (สกอ.)
19. Phase transformation behavior of nanocrystalline  $\chi$ -alumina powder obtained by thermal decomposition of AIP in inert organic solvent, 2004, *Journal of Materials*

*Science* 39 (10): 2417-2421 ทุนกาญจนากิเมก สำนักงานกองทุนสนับสนุนการวิจัย (สกอ.)

20. Synthesis of thermally stable micro spherical  $\chi$ -alumina by thermal decomposition of aluminum isopropoxide in mineral oil, 2003, *Inorganic Chemistry Communication* 6: 930-934 ทุนกาญจนากิเมก สำนักงานกองทุนสนับสนุนการวิจัย (สกอ.)
21. The influence of Si-O-Zr bonds on the crystal-growth inhibition of zirconia prepared by the glycothermal method, 2003, *Journal of Material processing Technology* 136: 186-189 ทุนกาญจนากิเมก สำนักงานกองทุนสนับสนุนการวิจัย (สกอ.)
22. Critical nanoparticle size for thermal stability, 2003, *Journal of Materials Science Letters*, 22: 1587-1589 ทุนแม่ชีวิจัยอาวุโส สำนักงานกองทุนสนับสนุนการวิจัย (สกอ.)
23. Synthesis of thermally stable micro spherical chi-alumina by thermal decomposition of aluminum isopropoxide in mineral oil, 2003, *Inor. Chem. Comm.*, 6 930-934, ทุนกาญจนากิเมก สำนักงานกองทุนสนับสนุนการวิจัย (สกอ.)
24. Effect of crystallite size and calcination temperature on the thermal stability of single nanocrystalline chromium oxide: expressed by novel correlation, 2003, *Materials Research Innovation*, 7, 118-123 ทุนแม่ชีวิจัยอาวุโส สำนักงานกองทุนสนับสนุนการวิจัย (สกอ.)
25. New correlation for the effects of the crystallite size and calcination temperature on the single iron oxide nano-crystallites, 2003, *Crystal Growth & Design*, 2 (3), 215-210 ทุนแม่ชีวิจัยอาวุโส สำนักงานกองทุนสนับสนุนการวิจัย (สกอ.)
26. Synthesis of large-surface area silica-modified zirconia by the glycothermal method, 2002, *Journal of Materials Science Letters*, 21 (18), 1461-1464 ทุนกาญจนากิเมก สำนักงานกองทุนสนับสนุนการวิจัย (สกอ.)
27. Thermal Stability of Silica-Modified Titania Ultrafine Particles Synthesized by the Glycothermal Method, 2000, *Ceramic Transactions*, 115, 643-654 ทุนแม่ชีวิจัยอาวุโส สำนักงานกองทุนสนับสนุนการวิจัย (สกอ.)
28. One pot solvothermal synthesis of thermal stable, porous silica-modified alumina powders by supercritical removal of organic solvents, 2000, *Journal of Metals, Materials and Minerals*, 9 (2), 35-54 ทุนแม่ชีวิจัยอาวุโส สำนักงานกองทุนสนับสนุนการวิจัย (สกอ.)
29. Effect of organic solvents on the thermal stability of porous silica-modified alumina powders prepared via one pot solvothermal synthesis, 2000 *Inorganic Chemistry*

- Communication*, 3, 671-676, 2000. ทุนแม่ชีวิจัยอาชูโส สำนักงานกองทุนสนับสนุนการวิจัย (สกอ.)
30. Synthesis of large-surface area silica-modified titania ultrafine particles by the glycothermal method, 2000, *J. Material Science Letters*, 19, 1439-1443 ทุนแม่ชีวิจัยอาชูโส สำนักงานกองทุนสนับสนุนการวิจัย (สกอ.)
  31. Mechanism of Diesel Exhaust Gas Abatement by Synthetic Zeolite ZSM-5, 1998, *Journal of Metals, Materials and Minerals*, 7 (2), 32-38 ทุนวิจัยบัณฑิตศึกษา จุฬาลงกรณ์มหาวิทยาลัย
  32. Selective Aromatization of Propane on Metallosilicate Catalysts , 1996, Journal of Science Faculty, Chiangmai University, 23 (2), 42-49 งบประมาณประจำปี 2537 สถาบันเทคโนโลยีราชมงคล
  33. Inui, T., K. Fujioka, Y. Fujii, T. Takeguchi, H. Nishiyama and W. Tanakulrungsank, "Highly Active Catalysts for Syngas Production to Methanol and More Valuable Hydrocarbons", *Study of Surface Science and Catalysis*, 1993. ผู้ร่วมวิจัย
  34. Inui, T., K. Fujioka, W. Tanakulrungsank and T. Takeguchi, "Spillover Effect in Methane Reforming Reactions in Ni-based Composite Catalysts Modified with Precious Metals", *Study of Surface Science and Catalysis*, 1993. ผู้ร่วมวิจัย
  35. Takeguchi, T., W. Tanakulrungsank and T. Inui, "Separation and/or Concentration of CO<sub>2</sub>-N<sub>2</sub> Gaseous Mixture by Pressure-Swing Adsorption using Metal-incorporated Microporous Crystals with High Surface Area", *Gas Separation and Purification*, 7, 3, 1993. ผู้วิจัย
  36. Inui, T., S. Shibata and W. Tanakulrungsank, "Purification of O<sub>2</sub>-N<sub>2</sub> Gaseous Mixture by Pressure-Swing Adsorption using Na-A Zeolites", *Gas Separation and Purification*, 6, 185, 1992. ผู้ร่วมวิจัย

## ผู้ร่วมวิจัย

### 1. ชื่อ

นางสาวกนกวรรณ จำสุวรรณ

MISS KANOKWAN NGAOSUWAN

### 2. ตำแหน่งปัจจุบัน

ข้าราชการตำแหน่งอาจารย์

### 3. หน่วยงานที่อยู่ที่สามารถติดต่อได้สะดวก พร้อมหมายเลขโทรศัพท์ โทรสาร และ e-mail

ภาควิชาวิศวกรรมเคมี คณะวิศวกรรมศาสตร์

มหาวิทยาลัยเทคโนโลยีราชมงคลกรุงเทพ

2 ถนนนาคนิจ เขตสาทร กรุงเทพฯ 10120

โทรศัพท์ 0 2287 9734

โทรสาร 0 2287 9734

e-mail: pren@meetingmall.com

## 4. ประวัติการศึกษา

ปีที่จบ การศึกษา	ระดับ ปริญญา	อักษรย่อปริญญา และชื่อเต็ม	สาขาวิชา	วิชาเอก	ชื่อสถาบัน การศึกษา	ประเทศ
2544	โท	วิศวกรรมศาสตร์ มหาบัณฑิต	วิศวกรรมเคมี	วิศวกรรมเคมี	มหาวิทยาลัย เกษตรศาสตร์ บางเขน	ไทย
2541	ตรี	วิศวกรรมศาสตร์ บัณฑิต	วิศวกรรมเคมี	วิศวกรรมเคมี	มหาวิทยาลัย เทคโนโลยี สุรนารี	ไทย

### 5. สาขาวิชาการที่มีความชำนาญพิเศษ (แตกต่างจากวุฒิการศึกษา) ระบุสาขาวิชาการ

การสร้างแบบจำลองทางเคมีตศาสตร์ การถ่ายเทนวัลสาร

### 6. งานวิจัยที่ทำเสร็จแล้ว

- Mathematical modeling and simulation for gas-liquid reactors, 2005, Computers and Chemical Engineering, in press, 2005
- การสร้างแบบจำลองทางเคมีตศาสตร์สำหรับปฏิกิริยาเก๊าซ-ลิฟต์ การประชุมสัมมนาทางวิชาการมหาวิทยาลัยเกษตรศาสตร์ บางเขน ครั้งที่ 39 ระหว่างวันที่ 5 – 7 กุมภาพันธ์ 2545 ณ มหาวิทยาลัยเกษตรศาสตร์ บางเขน

**ผู้ร่วมวิจัย**

1. ชื่อ นายชัชวาลย์ สุขมั่น  
MR. CHATCHAWAN SOOKMAN

2. ตำแหน่งปัจจุบัน ข้าราชการตำแหน่งอาจารย์

3. หน่วยงานที่อยู่ที่สามารถติดต่อได้สะดวก พร้อมหมายเลขอร์ดพีท์ โทรสาร และ e-mail

สาขาวิชากรรมเคมี คณะวิศวกรรมศาสตร์

มหาวิทยาลัยเทคโนโลยีราชมงคลกรุงเทพ

2 ถนนนาคนิจ เขตสาทร กรุงเทพฯ 10120

โทรศัพท์ 0 2287 9600 ต่อ 1210

โทรสาร 0 2287-9734

e-mail: csookman@yahoo.com

**4. ประวัติการศึกษา**

ปีที่จบ การศึกษา	ระดับ ปริญญา	อักษรย่อปริญญา และชื่อเต็ม	สาขาวิช 1	วิชาเอก	ชื่อสถาบัน การศึกษา	ประเทศ
2543	โท	วิศวกรรมศาสตร์ มหาบัณฑิต	วิศวกรรมเคมี	วิศวกรรมเคมี	มหาวิทยาลัย เทคโนโลยี พระจอมเกล้า ธนบุรี	ไทย
2540	ตรี	วท.บ. วิทยาศาสตรบัณฑิต	เคมี	เคมี	มหาวิทยาลัย นเรศวร	ไทย

5. สาขาวิชาการที่มีความชำนาญพิเศษ (แตกต่างจากผู้กิจกรรม) ระบุสาขาวิชาการ  
เทคโนโลยีเยื่อแผ่น การสังเคราะห์ตัวเร่งปฏิกิริยา

6. ประสบการณ์ที่เกี่ยวข้องกับการบริหารงานวิจัยทั้งภายในและภายนอกประเทศ

**6.1 หัวหน้าโครงการวิจัย: ชื่อโครงการวิจัย .**

- ผลของอุณหภูมิต่อปฏิกิริยาการสะเทินน้ำเสียงครดด้วยเปลือกหอยในฟลูอิดไดซ์เบด  
แบบท่อสองชั้น

2. ผลของอุณหภูมิต่อปฏิกิริยาการสะเทินน้ำเสียกรดด้วยเปลือกไชในฟลูอิดไดซ์เบดแบบท่อสองชั้น

## 6.2 งานวิจัยที่ทำเสร็จแล้ว

- Samart C., A. Cherngvanich and C Sookman, 2005, Synthesis of mesoporous silica from rice husk ash. 3<sup>rd</sup> international conference on materials for advance technology. 3-8 July, Singapore.
- C. Sookman, P. Kongkachuiychay, 2005, Base Type on Properties of NiO Synthesized by Sol-Gel Method. The 3<sup>rd</sup> workshop on regional network formation for enhancing research and education. 7-10 August, Penang, Malaysia ( งบประโภชน์ปี 2548)
- C. Samart and C. Sookman, 2005, Synthesis of Nanoporous Silica from Natural Resources. The 3<sup>rd</sup> workshop on regional network formation for enhancing research and education. 7-10 August, Penang, Malaysia
- C. Sookman, W. Tanakulrungsank and P. Kongkachuiychay, 2005, The Influence of Base Type on the Characterization of a Nickel Oxide Catalyst Formed by a Sol-Gel Technique. ICRAMME 05. 30-31 May, Kuala Lumpur, Malaysia. (งบประโภชน์ปี 2548)
- ผลของอุณหภูมิต่อปฏิกิริยาการสะเทินน้ำเสียกรดด้วยเปลือกหอยในฟลูอิดไดซ์เบดแบบท่อสองชั้น. 2547 รายงานการประชุมสัมมนาทางวิชาการสถาบันเทคโนโลยีราชมงคล ครั้งที่ 20. ระหว่างวันที่ 11 – 13 กุมภาพันธ์ 2547 ณ โรงแรมอมรินทร์กาญจน์ อำเภอเมือง จังหวัดพิษณุโลก งบประมาณประจำปี 2546 สถาบันเทคโนโลยีราชมงคล
- Modification of Crude Palm Oil Diesel Engine Fuel, 2546, 29<sup>th</sup> Congress on Science and Technology of Thailand. (งบประมาณปี 2546)
- ผลของอุณหภูมิต่อปฏิกิริยาการสะเทินน้ำเสียกรดด้วยเปลือกไชในฟลูอิดไดซ์เบดแบบท่อสองชั้น. 2546 รายงานการประชุมสัมมนาทางวิชาการสถาบันเทคโนโลยีราชมงคล ครั้งที่ 19.